



TUGAS AKHIR - CF234824

**IDENTIFIKASI STRUKTUR GEOLOGI DAN KONTRAS
DENSITAS LERENG TIMUR GUNUNG API LAMONGAN,
PROBOLINGGO, JAWA TIMUR MENGGUNAKAN METODE
GAYABERAT**

JHON CHRIST RIVAND SIJABAT

NRP 5017211024

Dosen Pembimbing

Dr.Ir.Dwa Desa Warnana, S.Si.,M.Si

NIP 19760123 2000031 001

Dr.Ir.M.Haris Miftakhul Fajar, S.T.,M.Eng

NIP. 19890208 2018031 001

DEPARTEMEN TEKNIK GEOFISIKA

Fakultas Teknik Sipil Perencanaan dan Kebumian

Institut Teknologi Sepuluh Nopember

Surabaya

202



TUGAS AKHIR - CF234824

IDENTIFIKASI STRUKTUR GEOLOGI DAN KONTRAS DENSITAS LERENG TIMUR GUNUNG API LAMONGAN, PROBOLINGGO, JAWA TIMUR MENGGUNAKAN METODE GAYABERAT

JHON CHRIST RIVAND SIJABAT

NRP 5017211024

Dosen Pembimbing

Dr.Ir.Dwa Desa Warnana, S.Si.,M.Si

NIP 19760123 2000031 001

Dr.Ir.M.Haris Miftakhul Fajar, S.T.,M.Eng

NIP. 19890208 2018031 001

DEPARTEMEN TEKNIK GEOFISIKA

Fakultas Teknik Sipil Perencanaan dan Kebumian

Institut Teknologi Sepuluh Nopember

Surabaya

2025



FINAL PROJECT - CF234824

**IDENTIFICATION OF GEOLOGICAL STRUCTURES AND
DENSITY CONTRAST ON THE EASTERN SLOPE OF
MOUNT LAMONGAN VOLCANO, PROBOLINGGO, EAST
JAVA USING THE GRAVITY METHOD**

JHON CHRIST RIVAND SIJABAT

NRP 5017211024

Advisor

Dr.Ir.Dwa Desa Warnana, S.Si.,M.Si

NIP 19760123 2000031 001

Dr.Ir.M.Haris Miftakhul Fajar, S.T.,M.Eng

NIP. 19890208 2018031 001

DEPARTMENT OF GEOPHYSICAL ENGINEERING

Faculty of Civil, Planning, and Geo Engineering

Institut Teknologi Sepuluh Nopember

Surabaya

2025

LEMBAR PENGESAHAN

IDENTIFIKASI STRUKTUR GEOLOGI DAN KONTRAS DENSITAS LERENG TIMUR GUNUNG API LAMONGAN, PROBOLINGGO, JAWA TIMUR MENGGUNAKAN METODE GAYABERAT

TUGAS AKHIR

Diajukan untuk memenuhi salah satu syarat
memperoleh gelar Sarjana Teknik pada
Program Studi S-1 Departemen Teknik Geofisika
Departemen Teknik Geofisika
Fakultas Teknik Sipil Perencanaan dan Kebumian
Institut Teknologi Sepuluh Nopember

Oleh : **JHON CHRIST RIVAND SIJABAT**

NRP. 5017211024

Disetujui oleh Tim Penguji Tugas Akhir :

- | | | |
|--|--------------|--|
| 1. Dr.Ir.Dwa Desa Warnana, S.Si.,M.Si NIP. 19760123 200003 1 001 | Pembimbing (| |
| 2. Dr.Ir.M.Haris Miftakhul Fajar, S.T.,M.Eng NIP. 19890208 201803 1 001 | Pembimbing (| |
| 3. Ir. Juan Pandu Gya Nur Rochman, S.Si.,M.T NIP.19890612 201504 1 003 | Penguji (| |
| 4. Alutsyah Luthfian, S.Si., M.Sc NPP. 1993 2025 11006 | Penguji (| |

SURABAYA

Juli, 2025

APPROVAL SHEET

IDENTIFICATION OF GEOLOGICAL STRUCTURES AND DENSITY CONTRAST ON THE EASTERN SLOPE OF MOUNT LAMONGAN VOLCANO, PROBOLINGGO, EAST JAVA USING THE GRAVITY METHOD

FINAL PROJECT

Submitted to fulfil one of the requirements

For obtaining a bachelor degree at

Undergraduate Study Program of Geophysical Engineering

Geophysical Engineering Department

Faculty of Civil, Planning, and Geo Engineering

Institut Teknologi Sepuluh Nopember

By : **JHON CHRIST RIVAND SIJABAT**

NRP. 5017211024

Approved by Final Project Advisor and Examiner Team :

- | | | |
|--|----------|---|
| 1. Dr.Ir.Dwa Desa Warnana, S.Si.,M.Si NIP. 19760123 200003 1 001 | Advisor | () |
| 2. Dr.Ir.M.Haris Miftakhul Fajar, S.T.,M.Eng NIP. 19890208 201803 1 001 | Advisor | () |
| 3. Ir. Juan Pandu Gya Nur Rochman, S.Si.,M.T NIP.19890612 201504 1 003 | Examiner | () |
| 4. Alutsyah Luthfian, S.Si., M.Sc NPP. 1993 2025 11006 | Examiner | () |

SURABAYA

July, 2025

PERNYATAAN ORISINALITAS

Yang bertanda tangan di bawah ini:

Nama mahasiswa/NRP : Jhon Christ Rivand Sijabat/5017211024
Departemen : Teknik Geofisika
Dosen Pembimbing/NIP : Dr.Ir.Dwa Desa Warnana, S.Si.,M.Si / 19760123 2000031 001
Dr.Ir.M.Haris Miftakhul Fajar, S.T.,M.Eng/19890208 2018031 001

dengan ini menyatakan bahwa Tugas Akhir dengan judul “Identifikasi Struktur Geologi dan Kontras Densitas Lereng Timur Gunung Api Lamongan, Probolinggo, Jawa Timur Menggunakan Metode Gayaberat” adalah hasil karya sendiri, bersifat orisinal, dan ditulis dengan mengikuti kaidah penulisan ilmiah.

Bilamana di kemudian hari ditemukan ketidaksesuaian dengan pernyataan ini, maka saya bersedia menerima sanksi sesuai dengan ketentuan yang berlaku di Institut Teknologi Sepuluh Nopember.

Surabaya, 23 Juli 2025

Mengetahui

Dosen Pembimbing I

Mahasiswa

Dr.Ir.Dwa Desa Warnana, S.Si.,M.Si

Jhon Christ Rivand Sijabat

NIP. 19760123 2000031 001

NRP. 5017211024

Dosen Pembimbing II


Dr.Ir.M.Haris Miftakhul Fajar, S.T.,M.Eng
NIP. 19890208 2018031 001

STATEMENT OF ORIGINALITY

The undersigned below:

Name of student/NRP : Jhon Christ Rivand Sijabat/5017211024
Department : Geophysical Engineering
Advisor/NIP : Dr.Ir.Dwa Desa Warnana, S.Si.,M.Si / 19760123 2000031 001
Dr.Ir.M.Haris Miftakhul Fajar, S.T.,M.Eng/19890208 2018031 001

Hereby declared that the Final Project with the title of "Identification of Geological Structures and Density Contrast on the Eastern Slope of Mount Lamongan Volcano, Probolinggo, East Java Using the Gravity Method" is the result of my own work, is original, and is written by following the rules of scientific writing.

If in the future there is a discrepancy with this statement, then I am willing to accept sanctions in accordance with provisions that apply at Sepuluh Nopember Institute of Technology

Surabaya, 23 July 2025

Acknowledged

Advisor I

Student

Dr.Ir.Dwa Desa Warnana, S.Si.,M.Si

Jhon Christ Rivand Sijabat

NIP. 19760123 2000031 001

NRP. 5017211024

Advisor II


Dr.Ir.M.Haris Miftakhul Fajar, S.T.,M.Eng
NIP. 19890208 2018031 001

ABSTRAK

IDENTIFIKASI STRUKTUR GEOLOGI DAN KONTRAS DENSITAS LERENG TIMUR GUNUNG API LAMONGAN, PROBOLINGGO, JAWA TIMUR MENGGUNAKAN METODE GAYABERAT

Nama Mahasiswa / NRP : Jhon Christ Rivand Sijabat / 5017211024

Departemen : Teknik Geofisika FTSPK - ITS

Dosen Pembimbing : Dr.Ir.Dwa Desa Warnana, S.Si.,M.Si

Dr.Ir.M.Haris Miftakhul Fajar, S.T.,M.Eng

Abstrak

Lereng timur Gunung Lamongan adalah salah satu area yang memiliki potensi panas bumi, dimana dijumpai adanya manifestasi fumarole dan mata air panas dengan suhu antara 35°C hingga 45°C .Sistem panas bumi umumnya memiliki hubungan erat dengan pengaturan tektonik dan aktivitas vulkanik. Struktur geologi di sekitar sistem mata air panas dapat berfungsi sebagai jalur aliran fluida panas dari bawah permukaan. Namun, penelitian terkait identifikasi struktur pada di area ini masih sedikit. Penelitian menggunakan metode gayaberat satelit di area ini dilakukan dengan tujuan mengetahui struktur geologi serta kontras densitas bawah permukaan melalui pemodelan 3 dimensi. Data yang dipakai dalam hal ini meliputi data satelit (data GGMPlus). Pengambilan data difokuskan pada area timur lereng Gunung Lamongan, menggunakan gayaberat satelit GGMPlus dengan spasi grid 200 meter. Dari hasil pengukuran satelit, kemudian dikoreksi meliputi koreksi lintang, koreksi udara bebas, koreksi bouguer, dan koreksi medan untuk mendapatkan nilai anomali bouguer lengkap. Penggunaan filter kontinuasi dilakukan untuk mendapatkan anomali residual area penelitian. Anomali residual kemudian digunakan untuk analisa secara kualitatif menggunakan filter deteksi turunan horizontal (*Horizontal Derivative*) dan turunan vertikal kedua (*Second Vertical Derivative*). Proses inversi data gayaberat diperlukan untuk mendapatkan nilai sebaran densitas bawah permukaan serta untuk memvalidasi keberadaan struktur area timur lereng Gunung Lamongan. Analisis gayaberat satelit di timur Gunung Lamongan mengungkap dua struktur sesar bawah permukaan berupa sesar normal di barat laut dan sesar naik di timur area studi, dengan orientasi dominan barat laut–tenggara. Konfirmasi diperoleh dari peta residual, analisis turunan, dan kelurusian. Pemodelan 3D menunjukkan pola anomali konsisten yang mengindikasikan keberadaan tiga jenis batuan bawah permukaan: *tuff lapilli*, *tuffaceous breccia*, dan intrusi basalt.

Kata kunci: *Densitas, Metode gayaberat, Struktur geologi*

ABSTRACT

IDENTIFICATION OF GEOLOGICAL STRUCTURES AND DENSITY CONTRAST ON THE EASTERN SLOPE OF MOUNT LAMONGAN VOLCANO, PROBOLINGGO, EAST JAVA USING THE GRAVITY METHOD

Student Name / NRP : **Jhon Christ Rivand Sijabat / 5017211024**

Department : **Geophysical Engineering FTSPK - ITS**

Advisor : **Dr.Ir.Dwa Desa Warnana, S.Si.,M.Si**

Dr.Ir.M.Haris Miftakhul Fajar, S.T.,M.Eng

Abstract

The eastern slope of Mount Lamongan is one of the areas with geothermal potential, where fumarole manifestations and hot springs with temperatures ranging from 35°C to 45°C are found. Geothermal systems are generally closely related to tectonic settings and volcanic activity. Geological structures around hot spring systems can act as pathways for the flow of hot fluids from below the surface. However, studies related to the identification of structures in this area are still limited. This research utilizes satellite gravity methods in this area to identify geological structures and subsurface density contrasts through three-dimensional modeling. The data used includes satellite data (GGMPlus data). Data acquisition was focused on the eastern slope of Mount Lamongan, using GGMPlus satellite gravity data with a 200-meter grid spacing. The satellite measurements were corrected by applying latitude correction, free-air correction, Bouguer correction, and terrain correction to obtain complete Bouguer anomaly values. Continuation filtering was applied to extract the residual anomaly in the study area. The residual anomalies were then analyzed qualitatively using horizontal derivative and second vertical derivative filters. Gravity data inversion was conducted to obtain the subsurface density distribution and to validate the existence of geological structures in the eastern slope area of Mount Lamongan. The satellite gravity analysis in the eastern part of Mount Lamongan revealed two subsurface fault structures, including a normal fault in the northwest and a thrust fault in the eastern part of the study area, with a dominant northwest–southeast orientation. These findings were confirmed through residual maps, derivative analyses, and lineament analysis. The 3D modeling shows consistent anomaly patterns that indicate the presence of three types of subsurface rocks: lapilli tuff, tuffaceous breccia, and basaltic intrusion.

Keywords: *Density, Gravity method, Geological structure*

KATA PENGANTAR

Puji dan syukur penulis panjatkan ke hadirat Tuhan Yang Maha Esa oleh karena berkat dan rahmat-Nya, penulis dapat menyelesaikan tugas akhir dengan judul “Identifikasi Struktur Geologi dan Kontras Densitas Lereng Timur Gunung Api Lamongan, Probolinggo, Jawa Timur Menggunakan Metode Gayaberat”, yang membahas mengenai metode gayaberat untuk mengidentifikasi struktur geologi dan perbedaan densitas bawah permukaan pada area timur lereng Gunung Lamongan. Tugas akhir ini disusun sebagai salah satu syarat kelulusan dalam memperoleh gelar Sarjana Teknik pada Program Studi Teknik Geofisika, Fakultas Teknik Sipil, Perencanaan dan Kebumian, Institut Teknologi Sepuluh Nopember. Dalam penyusunan tugas akhir ini, penulis mendapatkan banyak bantuan, bimbingan dan dukungan dari berbagai pihak. Oleh karena itu, penulis mengucapkan rasa terimakasih sebesar-besarnya kepada :

1. Orang tua dan keluarga yang selalu memberi dukungan baik dukungan moral, kasih sayang, serta doa yang tiada henti
2. Bapak Dr.Ir.Dwa Desa Warnana, S.Si.,M.Si dan Bapak Dr.Ir.M.Haris Miftakhul Fajar, S.T.,M.Eng selaku dosen pembimbing yang memberikan arahan, masukan dan saran selama penyusunan tugas akhir ini
3. Bapak Ir. Juan Pandu Gya Nur Rochman, S.Si.,M.T dan Bapak Alutsyah Luthfian, S.Si., M.Sc selaku dosen Pengaji yang telah memberikan masukan dan saran untuk penyusunan tugas akhir ini
4. Seluruh dosen dan staf Departemen Teknik Geofisika atas ilmu dan pelayanan akademik yang diberikan selama ini kepada penulis
5. Rekan-rekan mahasiswa Teknik Geofisika Angkatan 2021 (TG10) yang membantu dalam pengambilan data gayaberat serta yang memberikan semangat dan dukungan menjalani kuliah

Penulis menyadari bahwa tugas akhir ini masih jauh dari kata sempurna. Oleh karena itu, penulis mengharapkan kritik dan saran yang membangun untuk perbaikan yang lebih baik kedepannya. Semoga tugas akhir ini dapat memberikan kontribusi positif bagi perkembangan ilmu pengetahuan, khususnya dalam bidang Teknik Geofisika serta bermanfaat bagi pihak-pihak yang membutuhkan.

Surabaya, 23 Juli 2025

Jhon Christ Rivand Sijabat

DAFTAR ISI

| | |
|--|-------------|
| LEMBAR PENGESAHAN | iii |
| APPROVAL SHEET | iv |
| PERNYATAAN ORISINALITAS | v |
| STATEMENT OF ORIGINALITY | v |
| ABSTRAK | vii |
| ABSTRACT | viii |
| KATA PENGANTAR..... | ix |
| DAFTAR ISI..... | x |
| DAFTAR GAMBAR..... | xii |
| DAFTAR TABEL | xiv |
| BAB 1 PENDAHULUAN | 15 |
| 1.1 Latar Belakang..... | 15 |
| 1.2 Rumusan Masalah | 16 |
| 1.3 Batasan Masalah..... | 16 |
| 1.4 Tujuan..... | 16 |
| 1.5 Manfaat | 16 |
| BAB 2 TINJAUAN PUSTAKA | 17 |
| 2.1 Penelitian Terdahulu..... | 17 |
| 2.1.1 Kondisi Permukaan | 17 |
| 2.1.2 Kondisi Bawah Permukaan | 19 |
| 2.2 Teori Dasar | 21 |
| 2.2.1 Teori dasar gayaberat..... | 21 |
| 2.2.2 Densitas batuan..... | 22 |
| 2.2.3 Geoid dan Elipsoid Referensi | 23 |
| 2.2.4 Global Gravity Model plus (GGMPlus) | 23 |
| 2.2.5 Koreksi Data Gayeberat Satelit | 24 |
| 2.2.6 Analisa Spektrum (<i>Power Spectrum</i>) | 26 |
| 2.2.7 Pemisahan Anomali | 27 |
| 2.2.8 Analisis Struktural | 28 |
| 2.2.9 Pemodelan 3 Dimensi | 30 |
| BAB 3 METODOLOGI | 32 |
| 3.1 Lokasi dan Data Penelitian | 32 |
| 3.2 Peralatan Penelitian | 32 |
| 3.3 Alur Penelitian..... | 33 |

| | | |
|--------------|---|-----------|
| 3.4 | Diagram Penelitian | 35 |
| BAB 4 | HASIL DAN PEMBAHASAN..... | 36 |
| 4.1 | Hasil Penelitian..... | 36 |
| 4.1.1 | Estimasi Densitas..... | 36 |
| 4.1.2 | Kelurusan (<i>Lineament</i>) | 36 |
| 4.1.3 | Anomali Bouguer | 37 |
| 4.1.4 | Model Bawah Permukaan Hasil Inversi | 41 |
| 4.2 | Pembahasan | 43 |
| BAB 5 | PENUTUP | 49 |
| 5.1 | Kesimpulan..... | 49 |
| 5.2 | Saran | 49 |
| | DAFTAR PUSTAKA..... | 50 |
| | LAMPIRAN..... | 53 |
| | BIODATA PENULIS..... | 64 |

DAFTAR GAMBAR

| | |
|--|----|
| Gambar 2. 1 Peta Geologi Lembar Probolinggo (Suharsono & Suwarti, 1992)..... | 17 |
| Gambar 2. 2 Analisis kelurusan (<i>lineament</i>) dan plot hasil kelurusan pada diagram..... | 18 |
| Gambar 2. 3 Analisis kelurusan (<i>lineament</i>) lembah (garis merah) dan punggungan bukit (garis kuning) di Kompleks Gunung Lamongan (Nugroho <i>et al.</i> , 2020)..... | 19 |
| Gambar 2. 4 a) Hasil inversi 3 dimensi anomali gayaberat pada anomali residual gayaberat lapangan b) Sayatan melintang A-A' dan B-B' pada model inversi 3 dimensi ... | 20 |
| Gambar 2. 5 Analisis <i>second vertical derivative</i> dan sayatan melintang berpotongan besar pada data a) magnetik dan b) gayaberat satelit | 20 |
| Gambar 2. 6 Model bawah permukaan pada data a) suseptibilitas dan b) densitas hasil <i>cross- gradient sequential joint inversion</i> | 21 |
| Gambar 2. 7 <i>Infinite Slab</i> pada koreksi Bouguer Bullard A (Lafer, 1991b)..... | 25 |
| Gambar 2. 8 <i>Spherical cap</i> pada koreksi Bullard B (Lafer, 1991b) | 25 |
| Gambar 2. 9 Ilustrasi <i>upward continuation</i> (Blakely, 1996) | 27 |
| Gambar 2. 10 Ilustrasi profil anomali gayaberat (g), <i>First Horizontal Derivative (FHD)</i> , dan <i>Second Vertical Derivative (SVD)</i> pada anomali patahan vertikal (Blakely, 1996) | 28 |
| Gambar 2. 11 Analisis struktur menggunakan pada a) peta anomali turunan horizontal, b) peta anomali turunan vertikal kedua dalam bentuk c) kurva 1 dimensi turunan horizontal dan turunan vertikal kedua (Rosid and Siregar, 2017)..... | 29 |
| Gambar 2. 12 Analisis jenis sesar pada a) peta turunan vertikal kedua dalam bentuk b) kurva 1 dimensi peta turunan vertikal kedua pada sayatan A-B (Fitriani <i>et al.</i> , 2020).30 | |
| Gambar 2. 13 Analisis kondisi bawah permukaan menggunakan a) model 3 dimensi dan b) sayatan melintang utara-selatan berdasarkan model 3 dimensi (Sudrajad <i>et al.</i> , 2024)..... | 31 |
| Gambar 3. 1 Peta desain akusisi gayaberat satelit (GGMPlus) pada | 32 |
| Gambar 3. 2 Alur pengolahan data gayaberat..... | 34 |
| Gambar 3. 3 Diagram Alir Penelitian | 35 |
| Gambar 4. 1 Estimasi nilai densitas menggunakan metode Parasnus | 36 |
| Gambar 4. 2 Penarikan kelurusan dan plot kelurusan pada diagram <i>roset</i> | 37 |
| Gambar 4. 3 Peta anomali bouguer lengkap | 38 |
| Gambar 4. 4 Analisis Spektrum pada gayaberat Satelit..... | 39 |
| Gambar 4. 5 Peta anomali Bouguer regional | 40 |
| Gambar 4. 6 Peta anomali bouguer residual satelit..... | 41 |
| Gambar 4. 7 Model awal inversi gayaberat satelit a) sayatan tegak lurus sumbu x yang mewakili 25 sayatan b) sayatan tegak lurus sumbu y yang mewakili 25 sayatan c) sayatan tegak lurus sumbu z yang mewakili 5 sayatan d) tampilan 3 dimensi model awal | 42 |
| Gambar 4. 8 Hasil komputasi dasar a) data pengukuran b) data perhitungan c) perbedaan data hasil perhitungan dengan data hasil pengukuran dan d) kurva perbandingan.... | 43 |
| Gambar 4. 9 Peta turunan horizontal dengan sayatan melintang barat timur AA', BB' | 44 |
| Gambar 4. 10 Peta turunan vertikal kedua dengan sayatan melintang barat timur AA', BB' 45 | |
| Gambar 4. 11 Kurva sayatan A-A' dan B-B' pada data gayaberat satelit | 46 |

| | |
|---|----|
| Gambar 4. 12 Model bawah permukaan dari sayatan A-A' | 47 |
| Gambar 4. 13 Model bawah permukaan dari sayatan B-B' | 48 |

DAFTAR TABEL

| | |
|---|----|
| Tabel 2. 1 Nilai densitas batuan yang ada di wilayah penelitian (Telford, Geldart and Sheriff, 2004; Deer, Howie and Zussman, 2013)..... | 23 |
| Tabel 2. 2 Tabel operator Elkins (1945) sebagai filter SVD | 29 |
| Tabel 3. 1 Peralatan dalam pengolahan data gayaberat | 32 |

BAB 1 PENDAHULUAN

1.1 Latar Belakang

Area timur lereng Gunung Lamongan adalah salah satu wilayah yang memiliki potensi panas bumi. Wilayah ini memiliki potensi panas bumi dengan luas 299 km², yang ditandai dengan adanya manifestasi fumarole dan mata air panas dengan suhu antara 35°C hingga 45°C (Deon *et al.*, 2015). Sistem panas bumi umumnya memiliki hubungan erat dengan pengaturan tektonik dan aktivitas vulkanik. Struktur geologi di sekitar sistem mata air panas dapat berfungsi sebagai jalur aliran fluida panas dari bawah permukaan (White and Brannock, 1950; Nahli *et al.*, 2016). Manifestasi panas bumi yang ditemukan di area timur lereng Gunung Lamongan dapat dikategorikan sebagai tipe panas bumi yang terkait dengan aktivitas vulkanik (*volcano-hosted type*) (Purnomo and Pichler, 2014). Struktur regional yang terbentuk di area timur lereng Gunung Lamongan diduga menjadi faktor utama yang mempengaruhi distribusi aktivitas vulkanik di kawasan tersebut, namun struktur tektonik di bawah gunung api ini masih belum banyak diketahui secara rinci (Carn, 1999; Puswanto *et al.*, 2022). Berdasarkan Peta Geologi Lembar Probolinggo, terdapat beberapa struktur regional di Kompleks Gunung Lamongan, salah satunya melintas di dekat mata air panas Segaran dengan orientasi barat laut–tenggara, dan diduga mengontrol wilayah panas bumi pada area timur lereng Gunung Lamongan (Siombone, Susilo and Maryanto, 2022).

Berdasarkan penelitian yang dilakukan oleh Nugroho *et al.* (2020) menggunakan analisis morfometri pada data model elevasi digital *Shuttle Radar Topography Mission (SRTM)*, menginterpretasi keberadaan kelurusan punggungan dan lembah di Kompleks Gunung Api Lamongan dengan arah dominan barat laut-tenggara dan barat daya-timur laut. Penelitian yang dilakukan oleh Ulumuddin *et al.* (2024) menggunakan metode magnetik, menginterpretasi keberadaan sesar di sekitar Mata Air Panas Segaran yang berorientasi barat laut – tenggara hingga kedalaman 100 meter. Penelitian yang dilakukan oleh Siombone *et al.* (2021) menggunakan analisis turunan vertikal kedua (*second vertical derivative*), mengidentifikasi keberadaan sesar yang melewati tiga lapisan diatas intrusi basalt hingga kedalaman sekitar 150 m. Selain itu menggunakan inversi data gayaberat lapangan, berhasil memodelkan kondisi bawah permukaan di sekitar Mata Air Panas Segaran. Hasil pemodelan menunjukkan adanya empat lapisan batuan yang diinterpretasikan sebagai tuf lapili, *tuffaceous breccia*, breksi vulkanik, dan intrusi basalt. Struktur geologi yang berhasil diidentifikasi pada area timur Gunung Lamongan, kebanyakan berfokus pada sesar di sekitar Mata Air Panas Segaran, namun terbatas dalam mengidentifikasi sesar lain yang berada di area Timur Gunung Lamongan. Berdasarkan keterbatasan tersebut, dapat dilakukan penelitian lebih lanjut untuk melihat keberadaan struktur geologi lainnya yang berada di area timur Gunung Lamongan.

Salah satu metode yang dapat digunakan untuk mengidentifikasi struktur bawah permukaan adalah metode gayaberat satelit. Penelitian yang dilakukan oleh Aziz, Hartantyo and Niasari, (2018) menggunakan analisis turunan vertikal kedua pada data gayaberat satelit GGMPlus, berhasil menginterpretasi adanya sesar normal di sekitar Mata Air Panas Segaran dengan arah dominan barat laut-tenggara. Penelitian menggunakan gayaberat satelit GGMPlus juga dilakukan oleh Fabio *et al.* (2023) untuk mengidentifikasi sesar menggunakan analisis turunan horizontal (*first horizontal derivative*) dan turunan vertikal kedua untuk menentukan karakteristik sesar. Pemodelan bawah permukaan dapat menggunakan proses inversi. Penelitian yang dilakukan Indrarini and Setiawan, (2015) menggunakan inversi occam untuk memodelkan 3 dimensi struktur bawah permukaan melalui proses optimasi meliputi *base*, *density*, dan *occam*. Penelitian ini dilakukan untuk mendukung penelitian sebelumnya terkait aktivitas panas bumi di Kompleks Gunung Api

Lamongan, dengan mengidentifikasi struktur geologi dan kontras densitas pada area timur lereng Gunung Lamongan. Penelitian ini dilakukan dengan melibatkan analisis *power spectrum*, *upward continuation*, *horizontal derivative*, *second vertical derivative*, dan pemodelan 3 dimensi diharapkan dapat memberikan gambaran terkait keberadaan struktur geologi dan kondisi bawah permukaan di area timur Gunung Lamongan.

1.2 Rumusan Masalah

Berdasarkan latar belakang diatas, permasalahan yang dibahas pada penelitian tugas akhir ini adalah sebagai berikut:

1. Bagaimana struktur geologi di area timur lereng Gunung Lamongan menggunakan metode gayaberat satelit (GGMPlus)?
2. Bagaimana kondisi bawah permukaan di area timur lereng Gunung Lamongan berdasarkan hasil pemodelan inversi 3 dimensi data anomali gayaberat satelit (GGMPlus)?

1.3 Batasan Masalah

Batasan masalah pada penelitian tugas akhir ini adalah sebagai berikut :

1. Penelitian ini tidak mencakup pemetaan geologi dan pengambilan sampel batuan secara langsung pada area penelitian
2. Tidak menggunakan metode geofisika lainnya sebagai pembanding metode gayaberat satelit (GGMPlus)
3. Interpretasi model bawah permukaan dilakukan secara kualitatif, sehingga hanya menggambarkan keberadaan anomali dari perbedaan densitas

1.4 Tujuan

Untuk menjawab rumusan masalah, maka tujuan penelitian tugas akhir ini adalah sebagai berikut:

1. Menganalisis struktur geologi di area timur Gunung Lamongan menggunakan metode gayaberat satelit (GGMPlus)
2. Menganalisis kondisi bawah permukaan di area timur lereng Gunung Lamongan berdasarkan hasil pemodelan inversi 3 dimensi data anomali gayaberat satelit (GGMPlus)

1.5 Manfaat

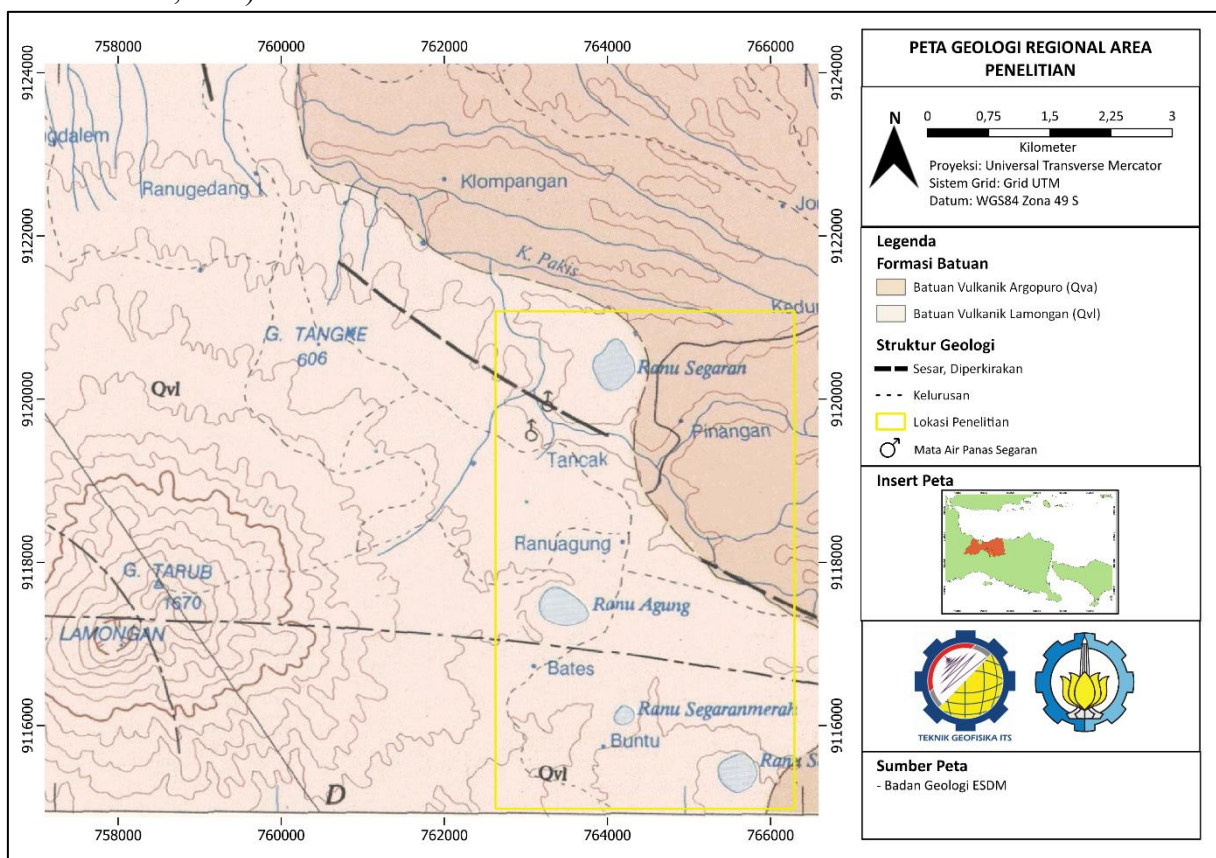
Penelitian tugas akhir ini dapat dimanfaatkan sebagai studi pendahuluan terkait keberadaan struktur geologi dan kondisi bawah permukaan di area timur Gunung Lamongan, sehingga dapat mendukung dalam proses identifikasi potensi sistem panas bumi di Kompleks Gunung Api Lamongan.

BAB 2 TINJAUAN PUSTAKA

2.1 Penelitian Terdahulu

2.1.1 Kondisi Permukaan

Lamongan Volcanic Field (LVF) berada diantara kompleks vulkanik Tengger-Semeru dan Iyang-Argapura yang merupakan hasil dari aktivitas vulkanik yang berlangsung sejak zaman Pleistosen hingga Holosen (Suwarti & Suharsono, 1992). Lamongan merupakan *stratovulkano* basaltik dengan orientasi linear barat laut-tenggara (NW-SE) (Gurusinga et al., 2023). Kelurusan sesar yang memiliki orientasi timur laut terlihat pada endapan yang sangat tererosi dari kompleks Iyang-Argopuro yang berada ditimur Gunung Lamongan (Carn, 1999). Dapur magma pada gunung lamongan berada pada kedalaman dangkal sebesar 4,5 km dari puncak bangunan (Chaussard & Amelung, 2012). Bagian utama dari LVF terdiri dari 3 *vent* : Tarub, Tjupu dan Lamongan yang disebut sebagai LTT. Tarub yang tererosi membentuk bagian tertua disebelah timur LTT, dan terpisah dari *stratocone* oleh sebuah depresi yang sejajar dengan arah barat laut-tenggara (NW-SE) yang kemungkinan terkait dengan sesar (Carn, 1999, 2000). Peta Geologi Lembar Probolinggo dengan skala 1 : 100.000 menunjukkan bahwa area timur gunung lamongan terdapat sesar yang berorientasi barat laut-tenggara (NW-SE) (**Gambar 2.1**) (Suwarti & Suharsono, 1992).

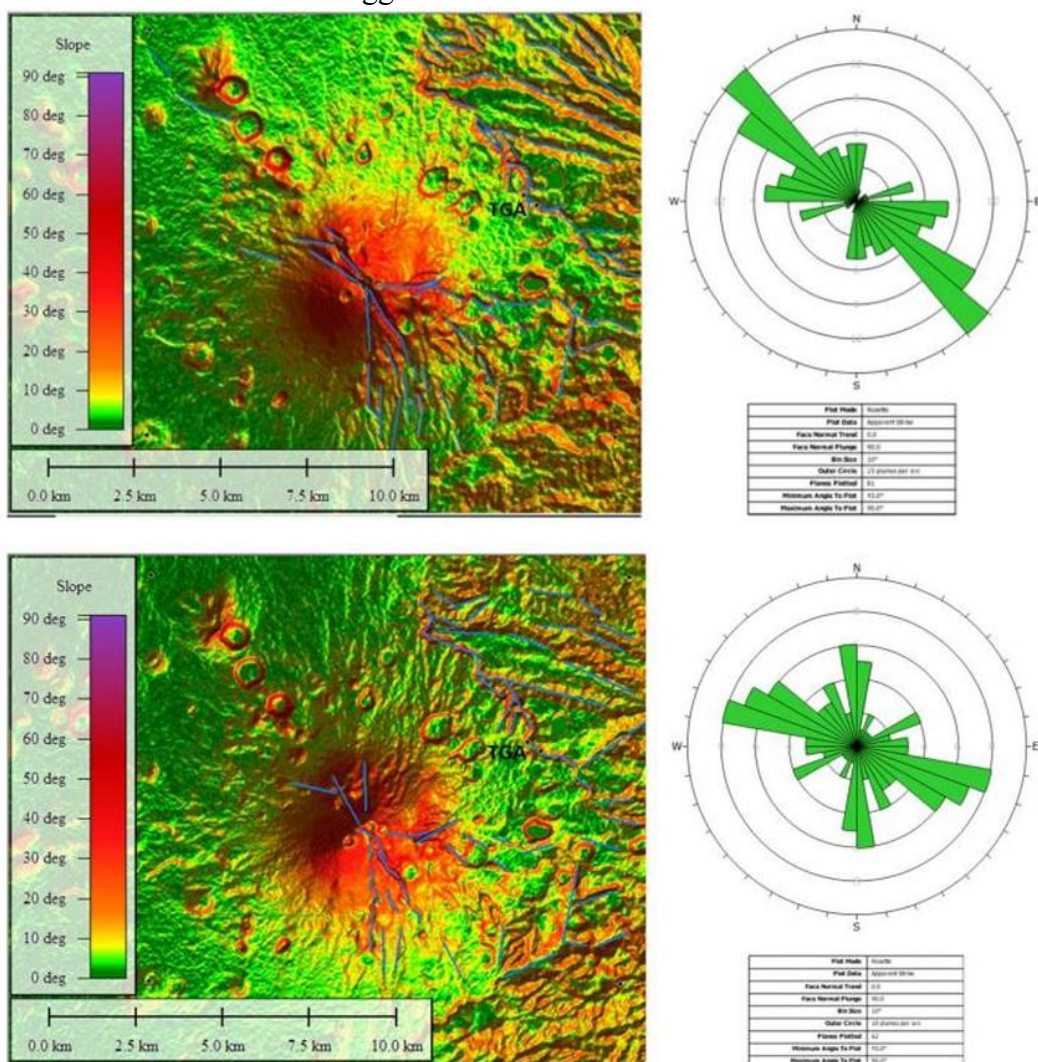


Gambar 2. 1 Peta Geologi Lembar Probolinggo (Suharsono & Suwarti, 1992)

Kendali utama terhadap gaya letusan kemungkinan disebabkan keberadaan substrat berpori berupa endapan piroklastik dari aliran massa dari Kompleks Iyang-Argopuro yang menebal diarah timur LVF (Carn, 2000). Batuan pada area timur Gunung Lamongan hasil uji coba laboratorium pada sampel batuan tergolong dalam basalt yang berasal dari berbagai aktivitas

efusif Gunung Lamongan dan tersusun atas plagioklas disertai dengan sedikit olivine dan piroksen. Litologi batuan pada area timur Gunung Lamongan tersusun atas batuan piroklastik yang berada dibawah lava basaltik. Batuan piroklastik tersebut kemungkinan berasal dari letusan sebelumnya Gunung Argopuro dan basalt yang berada diatasnya merupakan produk aktivitas efusif dari Gunung Lamongan (Deon et al., 2015). Area timur gunung lamongan juga tersusun atas batuan piroklastik berupa tuff halus-lapili yang lebih muda dibandingkan batuan lava andesit-basalt (Suwandi & Suharsono, 1992).

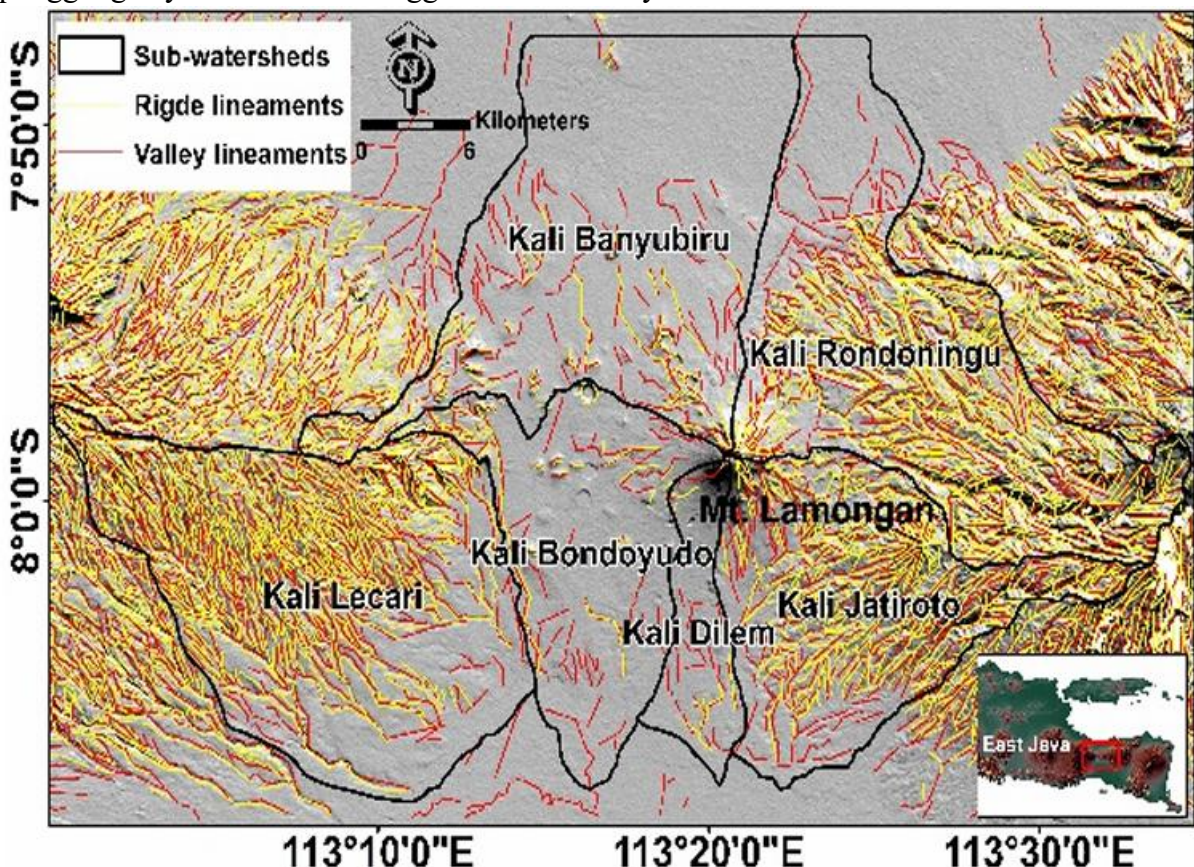
Siombone et al. (2022) melakukan analisis geologi permukaan berupa sesar atau rekahan melalui penarikan kelurusinan (*lineament*) pada 2 azimuth berbeda yaitu 45° dan 135° . Penarikan tersebut dilakukan pada peta DEM SRTM yang kemudian dikomperasikan dengan diagram *rosset* (**Gambar 2.2**). Hasil penarikan tersebut menunjukkan bahwa arah kelurusinan (*lineament*) didominasi oleh arah barat laut-tenggara.



Gambar 2. 2 Analisis kelurusinan (*lineament*) dan plot hasil kelurusinan pada diagram *roset* di Kompleks Gunung Lamongan (Siombone, Susilo & Maryanto, 2022)

Nugroho et al. (2020) menggunakan analisis morfometri pada data *Digital Elevation Model Shuttle Radar Topography Mission (DEM SRTM)* dengan resolusi spasial 30 meter untuk memetakan pola kelurusinan (*lineament*) punggungan bukit dan lembah pada Kompleks Gunung

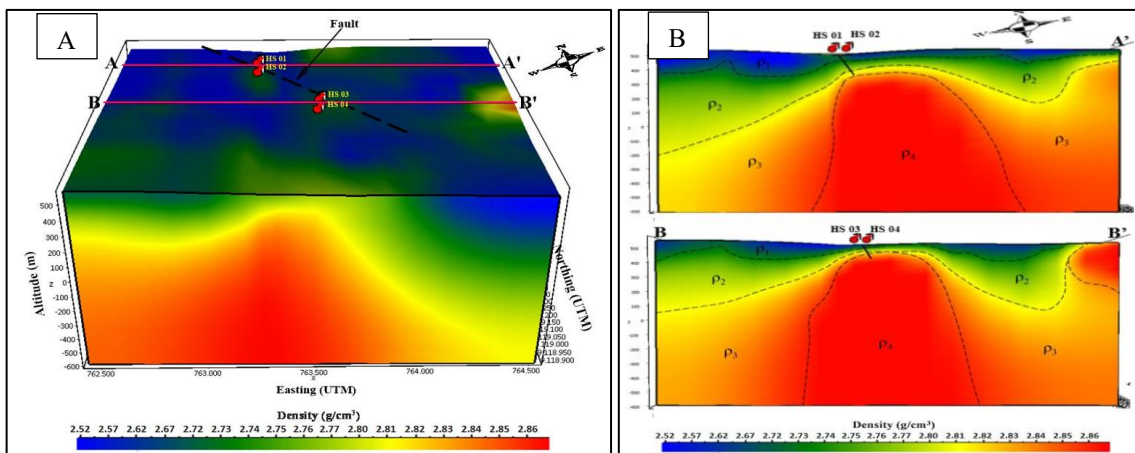
Api Lamongan (**Gambar 2.3**). Hasilnya menunjukkan bahwa arah relatif lineament pada punggungan yaitu barat laut-tenggara dan barat daya-timur laut.



Gambar 2. 3 Analisis kelurusan (*lineament*) lembah (garis merah) dan punggungan bukit (garis kuning) di Kompleks Gunung Lamongan (Nugroho et al., 2020)

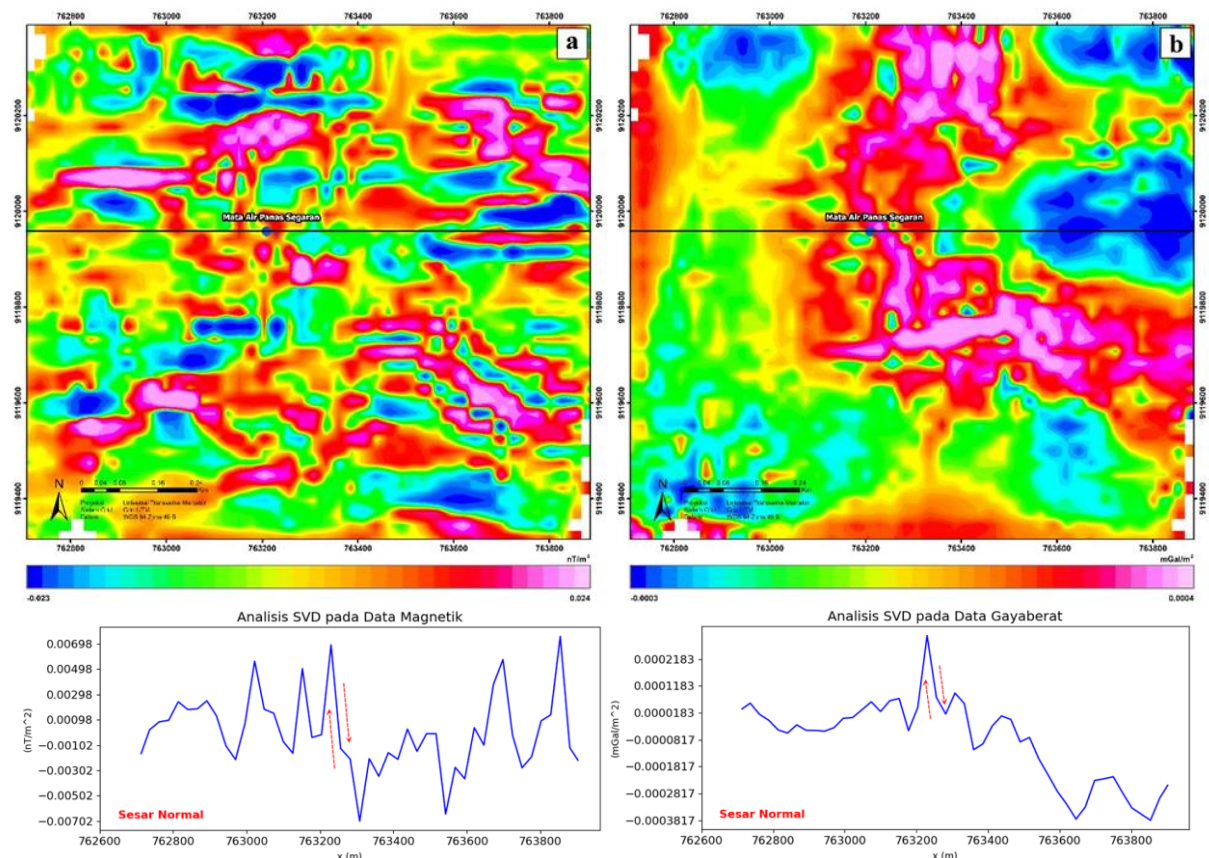
2.1.2 Kondisi Bawah Permukaan

Siombone et al. (2021) melakukan pemodelan inversi untuk menggambarkan kondisi bawah permukaan menggunakan data gayaberat lapangan. Proses inversi dilakukan pada data anomali residual gayaberat. Anomali regional dan residual gayaberat diperoleh dengan *radially averaged power spectrum* dan *moving average*. Kedalaman masing masing anomali diperoleh sebesar 348 meter dan 42 meter. Hasil model bawah permukaan menunjukkan adanya empat lapisan batuan yang memiliki nilai densitas yang berbeda dan struktur geologi berupa sesar di sekitar mata air panas. Lapisan pertama diduga merupakan lapisan tuf lapili yang merupakan produk letusan Gunung Api Lamongan dengan nilai densitas antara 2,52 – 2,67 gr/cm³. Lapisan kedua diduga merupakan lapisan *tuffaceous breccia* dengan nilai densitas antara 2,72 – 2,77 gr/cm³ yang berada pada kedalaman 50 – 200 meter. Lapisan ketiga diduga merupakan lapisan breksi vulkanik dengan nilai densitas 2,80 – 2,83 gr/cm³. Lapisan keempat diduga sebagai intrusi batuan basalt dengan nilai densitas antara 2,84 – 2,86 gr/cm³ (**Gambar 2.4**).



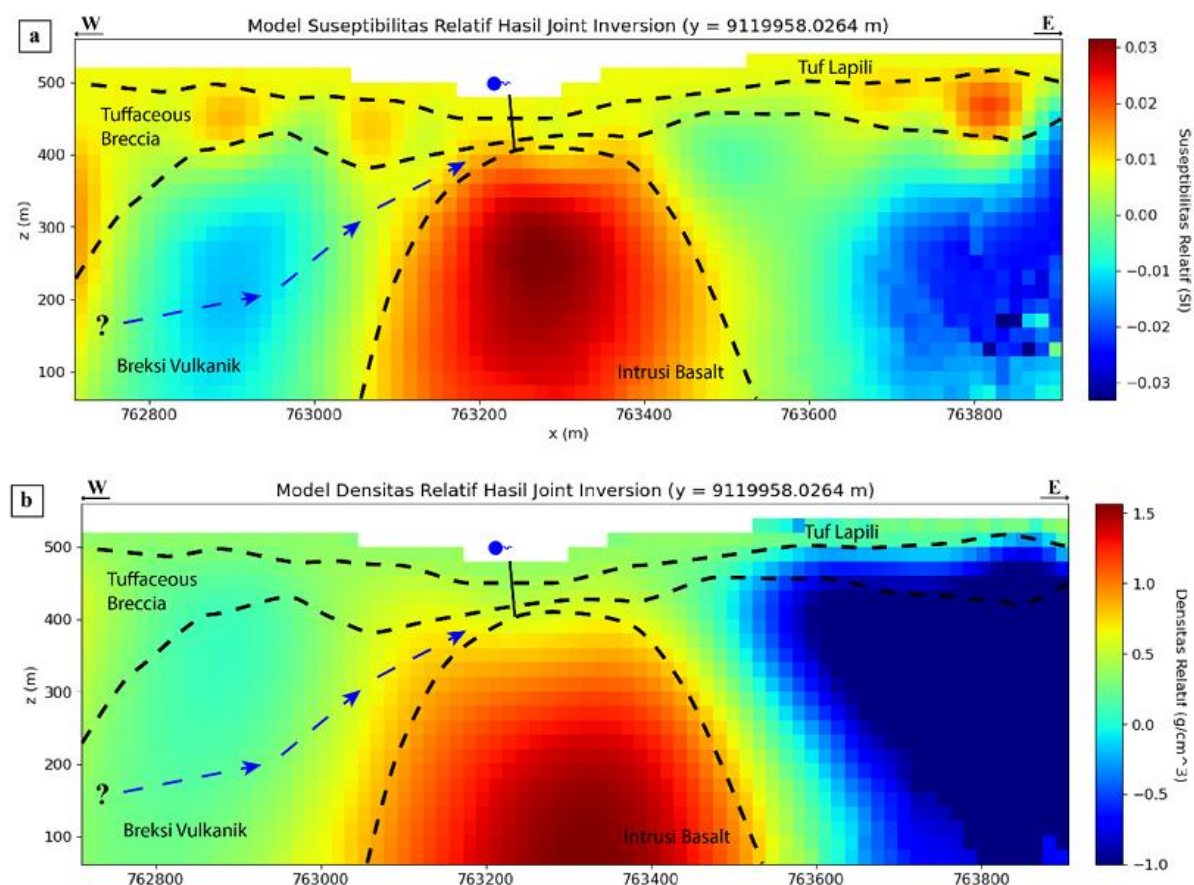
Gambar 2. 4 a) Hasil inversi 3 dimensi anomali gayaberat pada anomali residual gayaberat lapangan b) Sayatan melintang A-A' dan B-B' pada model inversi 3 dimensi

Ulumuddin, F. (2024) melakukan analisis struktur geologi dan kondisi bawah permukaan di sekitar Mata Air Panas Segaran dengan mengintegrasikan data magnetik dan gayaberat satelit melalui *cross-gradient sequential joint inversion*. Anomali regional dan residual gayaberat diperoleh dengan *radially averaged power spectrum*. Kedalaman masing masing anomali diperoleh sebesar 200 meter dan 74 meter. Analisis struktur menggunakan turunan vertikal kedua data magnetik dan gayaberat satelit pada pola persebaran anomali di permukaan hasil inversi cross-gradient sequential joint inversion. Sayatan melintang pada peta turunan vertikal kedua menunjukkan jenis struktur geologi berupa sesar turun (**Gambar 2.5**).



Gambar 2. 5 Analisis *second vertical derivative* dan sayatan melintang berpotongan sesar pada data a) magnetik dan b) gayaberat satelit

Selain itu, pemodelan bawah permukaan dilakukan pada anomali residual untuk menggambarkan kondisi bawah permukaan dengan kedalaman dangkal. Hasil model bawah permukaan menunjukkan adanya nilai suseptibilitas dan densitas yang berbeda pada model bawah permukaan. Lapisan dengan rentang nilai suseptibilitas relatif -0,03 - -0,01 SI dan nilai densitas relatif -1 – 0 gr/cm³ diduga sebagai breksi vulkanik. Lapisan diatasnya dengan rentang nilai suseptibilitas relatif 0,015 – 0,025 SI dan nilai densitas relatif 0,5 – 0,1 gr/cm³ diduga sebagai *tuffaceous breccia*. Lapisan termuda dengan rentang nilai suseptibilitas relatif 0,005 – 0,01 SI dan nilai densitas relatif 0,2 – 0,4 gr/cm³ diduga sebagai tuf lapilli. Terdapat lapisan berupa intrusi batuan basalt dengan nilai suseptibilitas 1,62 x 10-1 SI dan nilai densitas 4 gr/cm³ (**Gambar 2.6**).



Gambar 2. 6 Model bawah permukaan pada data a) suseptibilitas dan b) densitas hasil *cross-gradient sequential joint inversion*

2.2 Teori Dasar

2.2.1 Teori dasar gayaberat

Metode gayaberat didasarkan oleh hukum Newton yang menyatakan bahwa terdapat gaya Tarik (F) antar dua partikel dengan massa m_1 dan m_2 yang dipisahkan oleh jarak (\vec{r}). Jika diasumsikan bahwa bumi berbentuk bola, maka gaya yang diberikan oleh bumi pada benda berbentuk bola dengan massa (m) yang terletak di permukaan bumi dinyatakan dalam persamaan

$$\vec{F}_{12}(\vec{r}) = -G \frac{m_1(\vec{r}_1)m_2(\vec{r}_2)}{|\vec{r}|^2} \hat{r} \quad (2.1)$$

dimana G adalah konstanta gravitasi sebesar $6.67 \times 10^{-11} Nm^2/kg^2$, M adalah massa bumi, dan R adalah jari-jari bumi. Parameter yang terukur dalam metode gayaberat adalah medan gayaberat atau percepatan gayaberat. Percepatan gayaberat merupakan besaran dari gayaberat dalam hukum II Newton per satuan massa. Jika didefinisikan g sebagai percepatan gayaberat, maka ketika percepatan hanya disebabkan oleh gaya tarik gravitasi bumi, dapat dinyatakan dalam persamaan

$$g(\vec{r}) = \frac{\vec{F}_{12}(\vec{r})}{m_2(\vec{r}_2)} = -G \frac{m_1(\vec{r}_1)}{|\vec{r}|^2} \hat{r} \quad (2.2)$$

Percepatan gayaberat (g) adalah medan potensial dengan arah vertical yang selalu menuju pusat bumi. Percepatan gayaberat yang disebabkan oleh distribusi benda dengan massa tertentu di bawah permukaan, memiliki arah yang bervariasi terhadap sumbu vertikal. Arah percepatan gayaberat bergantung pada kedudukan atau posisi pengamatan terhadap benda anomali. Di permukaan bumi, perubahan percepatan gayaberat dapat diukur melalui pengukuran percepatan gayaberat. Benda anomali yang terdapat di bawah permukaan menyebabkan adanya perubahan percepatan gayaberat yang biasa disebut sebagai anomali gayaberat (Δg). Nilai anomali gayaberat jauh lebih kecil dari percepatan gravitasi bumi ($\Delta g < g$). Dimensi g adalah L/T^2 , yang dinyatakan dalam m/s^2 (dalam satuan SI) atau cm/s^2 (dalam satuan CGS). Dalam pengukuran geofisika, satuan normal untuk percepatan gravitasi adalah Gal, yang setara dengan $1 cm/s^2$. Karena variasi dalam percepatan gravitasi (g) sangat kecil, sering menggunakan milliGal (mGal) untuk keperluan eksplorasi, dimana $1 \text{ mGal} = 0.001 \text{ Gal}$ (Burger et al., 2023).

2.2.2 Densitas batuan

Hubungan antara percepatan gayaberat dengan densitas batuan adalah berbanding lurus (persamaan 2.4). Semakin tinggi nilai densitas suatu batuan, maka nilai percepatan gayaberat di area tersebut semakin tinggi, dan juga sebaliknya semakin rendah nilai densitas suatu batuan, maka nilai percepatan gayaberat di area tersebut semakin rendah. Survei gayaberat sensitif terhadap variasi densitas batuan, baik itu batuan yang dipermukaan maupun dibawah permukaan. Densitas batuan bervariasi tergantung pada material penyusunnya dan tingkat konsolidasi. Faktor-faktor yang dapat mempengaruhi densitas batuan diantaranya komposisi, umur, kedalaman, proses tektonik, fluida dalam pori (Reynolds, 1997).

Batuan sedimen umumnya memiliki densitas antara $1,92 \text{ g/cm}^3$ - $2,5 \text{ g/cm}^3$. Batuan beku umumnya memiliki densitas antara $2,53 \text{ g/cm}^3$ - $2,79 \text{ g/cm}^3$. Batuan metamorf umumnya memiliki densitas $2,6 \text{ g/cm}^3$ - $2,74 \text{ g/cm}^3$. Mineral logam umumnya memiliki densitas $2,45 \text{ g/cm}^3$ - $7,32 \text{ g/cm}^3$. Mineral sulfida umumnya memiliki densitas $3,75 \text{ g/cm}^3$ - $8,1 \text{ g/cm}^3$ dan mineral bukan logam umumnya memiliki densitas $1,19 \text{ g/cm}^3$ - $4,47 \text{ g/cm}^3$ (Telford, Geldart & Sheriff, 1990). Nilai densitas batuan menurut Telford yang terdapat di wilayah penelitian disajikan pada **Tabel 2.1**

Tabel 2. 1 Nilai densitas batuan yang ada di wilayah penelitian (Telford, Geldart & Sheriff, 2004; Deer, Howie & Zussman, 2013)

| Jenis Batuan/Mineral | Nilai Densitas | |
|----------------------|-----------------|-------------------|
| | Rentang (g/cm3) | Rata-rata (g/cm3) |
| Olivin | 3,22-3,5 | 3,4 |
| Bassal | 2,70-3,30 | 2,99 |
| Andesit | 2,4- 2,8 | 2,61 |
| Lava | 2,80-3,00 | 2,90 |
| Amfibol | 2,9 -3,04 | 2,96 |
| Piroklastik | 1,2 – 2,6 | 2,2 |

2.2.3 Geoid dan Elipsoid Referensi

Setiap tempat dipermukaan bumi memiliki nilai gayaberat yang bervariasi, sehingga permukaan yang memiliki nilai energi potensial yang sama (permukaan akuipotensial) menjadi halus tetapi tidak rata. Salah satu permukaan ekuipotensial yang penting adalah geoid, yaitu permukaan laut yang tidak dipengaruhi arus laut, cuaca dan pasang surut. Bentuk geoid dipengaruhi oleh massa dibawahnya. Bentuk geoid akan menonjol diatas area dengan massa lebih besar (pegunungan) dan cekung di atas area dengan massa lebih kecil (lembah). Setiap titik gayaberat harus tegak lurus terhadap permukaan geoid, sehingga dapat mendefenisikan arah vertikal dan horizontal di setiap titik.

Bentuk geoid berfluktuasi, sehingga tidak praktis untuk representasi geodetik, maka digunakan ellipsoid halus yang menjadi *best-fit* untuk geoid. Elipsoid ini dikenal sebagai elipsoid referensi atau *spheroid reference* yang merupakan bentuk geometris ideal yang digunakan sebagai dasar sistem koordinat geografis. Pada tahun 1980, *International Association of Geodesy (IAG)* mengadopsi nilai elipsoid referensi yang mengarah pada medan referensi saat ini yaitu *World Geodetic System 1984 (WGS84)* yang dituliskan dalam persamaan (2.3) (Blakely, 1996) :

$$g_\phi = 978032,67714 \left[\frac{1 + 0,00193185138639 \sin^2(\lambda)}{\sqrt{1 - 0,00669437999013 \sin^2(\lambda)}} \right] \quad (2.3)$$

Koreksi lintang (*latitude correction*) menggunakan dihitung dengan menggunakan **persamaan 2.3**, dengan g_ϕ adalah gravitasi normal atau gravitasi teoritis dan λ adalah sudut lintang geosentrisk (Blakely, 1996).

2.2.4 Global Gravity Model plus (GGMPlus)

GGMPlus merupakan gambaran gayaberat beresolusi tinggi yang didasarkan pada tiga komponen utama, yaitu gayaberat satelit GOCE/GRACE (yang memiliki skala spasial sekitar ~10.000 hingga ~100 km dan ketinggian orbit adalah 485 km-300 km), EGM2008 (yang memiliki skala spasial sekitar ~100 hingga ~10 km) dan gayaberat topografi yaitu efek gayaberat yang dihasilkan dari model medan permukaan yang telah difilter menggunakan *high pass filter* (yang memiliki skala spasial sekitar ~10 km hingga ~250 m).

Gabungan dari ketiga komponen tersebut menghasilkan model resolusi tinggi yang disebut GGMPlus (Global Gravity Model Plus). Model GGMPlus digitung dengan metode yang

konsisten secara global dan dapat menghasilkan resolusi hingga 200 meter. Namun, model yang dihasilkan tergantung pada ketersediaan data pengukuran gayaberat lapangan disuatu wilayah. Ketersediaan data gayaberat lapangan yang sedikit menyebabkan akurasi model yang menurun sekitar 8 – 23 mGal terutama di wilayah Asia, Afrika dan Amerika Selatan (Hirt et al., 2012).

2.2.5 Koreksi Data Gayaberat Satelit

2.2.5.1 Koreksi Udara Bebas (*Free Air Correction*)

Koreksi udara bebas adalah koreksi yang secara langsung menghitung penurunan percepatan gayaberat akibat jarak dari pusat bumi tanpa memperhitungkan kepadatan material antara elevasi pengukuran dan ellipsoid (Lowrie, William, & Andreas Fichtner. 2007). Persamaan (2.4) yang digunakan untuk menghitung koreksi udara bebas (Featherstone, 1995).

$$g_{UB}(x, y, z) = \frac{2g_\phi}{a} (1 + f + m - 2f \sin^2 \phi) H - \frac{3g_\phi}{a^2} H^2 \quad (2.4)$$

dengan $g_{FA}(x, y, z)$ adalah nilai koreksi udara bebas, f adalah kelebihan ($\frac{a-b}{a}$), m adalah parameter geodetik ($\frac{\omega^2 a^2 b^2}{GM}$), a adalah sumbu semi mayor (6378137,0 m), b adalah sumbu semi minor (6356752,3142 m), ω adalah kelebihan angular bumi ($7292115,0 \times 10^{-11}$ rad/s), GM adalah konstanta gayaberat geosentrisk (3986004,418 m^3/s^2), ϕ adalah sudut lintang geodetik dan H adalah ketinggian diatas bidang geoid (m). Nilai percepatan gayaberat yang terkoreksi udara bebas dinyatakan dalam persamaan (2.5).

$$g_{TUB}(x, y, z) = g_{obs}(x, y, z) - g_\phi(x, y, z) + g_{UB}(x, y, z) \quad (2.5)$$

dengan $g_{TUB}(x, y, z)$ adalah nilai percepatan gayaberat yang terkoreksi udara bebas, $g_{obs}(x, y, z)$ adalah nilai percepatan gayaberat obeservasi, $g_\phi(x, y, z)$ adalah nilai percepatan gayaberat lintang atau gayaberat normal.

2.2.5.2 Koreksi Bouguer (*Bouguer Correction*)

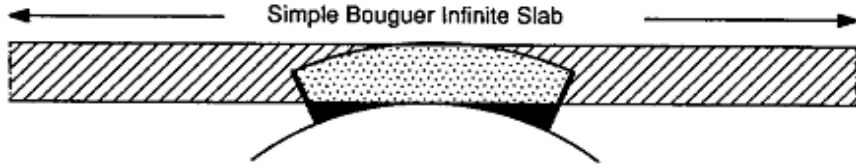
Koreksi Bouguer adalah koreksi yang menghitung percepatan gravitasi dari massa antara lokasi pengamatan dengan tingkat datum survei (Hinze, von Frese & Saad, 2013). Pengukuran bouguer digunakan untuk memperhitungkan semua faktor yang menyebabkan variasi densitas. Massa batuan diasumsikan berbentuk *infinite slab* dengan ketebalan h dan densitas rata-rata ρ (Blakely, 1996). Koreksi dalam bentuk *infinite slab* dikenal juga dengan Bullard A yang dapat dituliskan dalam bentuk persamaan (2.9) (LaFehr, 1991).

$$g_{B(A)}(x, y, z) = 2\pi\rho Gh = 0,04192\rho H \quad (2.6)$$

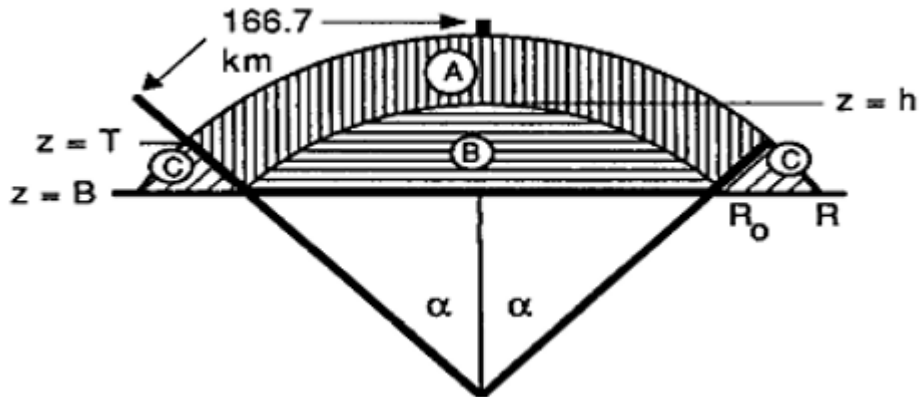
dengan $g_{B(A)}(x, y, z)$ adalah nilai koreksi Bullard A, ρ adalah densitas batuan bouguer (kg/m^3), G adalah konstantas gayaberat ($6,67 \times 10^{-11} m^3/kgs^2$) dan H adalah ketinggian diatas bidang geoid (m)

Koreksi tambahan diperlukan untuk mengkonversi *infinite slab* (**Gambar 2.7**) pada perhitungan Bullard A kedalam bentuk *spherical cap* (**Gambar 2.8**). Koreksi tersebut disebut Bullard B atau *curvature* yang dituliskan dalam bentuk persamaan (2.7) (LaFehr, 1991).

$$g_{B(B)}(x, y, z) = 2\pi\rho G(\mu h - \lambda R) \quad (2.7)$$



Gambar 2. 7 Infinite Slab pada koreksi Bouguer Bullard A (Lafer, 1991b)



Gambar 2. 8 Spherical cap pada koreksi Bullard B (Lafer, 1991b)

dimana

$$\begin{aligned} \mu &= \left(\frac{1}{3} \eta^2 - \eta \right); \quad \eta = \frac{h}{R}; \\ \lambda &= \frac{1}{3} \left\{ (d + f\delta + \delta^2)[(f - \delta)^2 + k]^{\frac{1}{2}} + p + m \log_e \frac{n}{f - \delta + [(f - \delta)^2 + k]^{1/2}} \right\}; \\ \delta &= \frac{R_0}{R}; \quad d = 3 \cos^2 \alpha - 2; \quad f = \cos \alpha; \\ k &= \sin^2 \alpha; \quad p = -6 \cos^2 \alpha \sin \frac{\alpha}{2} + 4 \sin^3 \frac{\alpha}{2}; \\ m &= -3 \sin^2 \alpha \cos \alpha; \quad n = 2 \left(\sin \frac{\alpha}{2} - \sin^2 \frac{\alpha}{2} \right) \end{aligned}$$

dimana $g_{B(B)}(x, y, z)$ adalah nilai anomali Bouguer Bullard B, R adalah jari-jari satelit ke bumi, h merupakan ketinggian stasiun yang diukur dari jari-jari normal permukaan laut (R_0), μ dan λ merupakan koefisien curvatur.

Densitas batuan memiliki pengaruh dalam penentuan nilai koreksi *bouguer*. Penentuan nilai densitas batuan dapat diasumsikan melalui metode Parasnus. Metode Parasnus digunakan untuk menentukan nilai densitas batuan dari suatu himpunan data dengan menganggap anomali Bouguer ($g_{B(A)}(x, y, z)$) sebagai kesalahan acak dengan nilai rata-rata nol. Nilai tersebut dapat ditentukan dengan memplot $g_{TUB}(x, y, z)$ dengan $(2\pi GH + 2\pi G(\mu h - \lambda R) - 2GA^2 \left[\frac{r_2 - r_1 + \sqrt{r_1^2 + z^2} - \sqrt{r_2^2 + z^2}}{(r_2^2 - r_1^2)} \right]$, yang dimana $g_T(x, y, z)$ merupakan percepatan gravitasi yang terkoreksi medan.

2.2.5.3 Koreksi Medan (*Terrain Correction*)

Koreksi Medan adalah gaya tarik gayaberat di titik gayaberat yang dihasilkan oleh semua bukit diatas lapisan *bouguer* dan kekurangan massa di lembah yang ditempati oleh lapisan tersebut. Koreksi ini diperoleh dengan menentukan massa bukit dan defisiensi massa lembah menggunakan informasi topografi serta densitas Bouguer. Koreksi Terrain memperhitungkan massa diatas titik gayaberat yang dimana massa tersebut tidak diperhitungkan dalam koreksi bouger (Dentith & Mudge, 2014). Perhitungan koreksi terrain dapat dihitung dengan menggunakan persamaan (2.8) (Kane, 1962).

$$g_{TC} = 2G\rho A^2 \left[\frac{r2 - r1 + \sqrt{r1^2 + z^2} - \sqrt{r2^2 + z^2}}{(r2^2 - r1^2)} \right] \quad (2.8)$$

Dimana, A merupakan panjang sisi horizontal prisma yang digunakan, r2 merupakan radius luar (m), r1 merupakan radius dalam (m), dan z adalah perbedaan ketinggian rata-rata kompartmen dan titik pengukuran.

2.2.6 Analisa Spektrum (*Power Spectrum*)

Analisis spektrum digunakan untuk memahami distribusi frekuensi spasial dari anomali bawah permukaan. Fitur kedalaman sumber atau struktur geologi dapat diidentifikasi dari pola frekuensi yang dihasilkan. Analisis spektrum dilakukan dengan mengubah fungsi data dari domain spasial (bergantung pada posisi x,y) menjadi domain bilangan gelombang (bergantung pada frekuensi) menggunakan Fast Fourier Transform (FFT) (Blakely, 1996).

Energi spektrum adalah representasi dua dimensi yang menunjukkan besar energi yang terkandung dalam setiap bilangan gelombang. Spektrum daya (*power spectrum*) menggambarkan bagaimana energi spektrum anomali tersebar terhadap frekuensi (f) atau bilangan gelombang (k). Bentuk spektrum daya sumber gayaberat yang tersebar secara acak, mengikuti fungsi eksponensial yang menurun seiring dengan meningkatnya bilangan gelombang. Hal tersebut ditunjukkan melalui persamaan (2.9) (Hinze et al, 2013).

$$PS(k) = Ce^{-4\pi z f} = Ce^{-2zk} \quad (2.9)$$

Energi *Power Spectrum* (*PS*) akan berkurang secara eksponensial, tergantung pada kedalaman rata-rata (z) dari sumber. Jika sumber anomali semakin dalam, maka penurunan energi terhadap bilangan gelombang (k) akan semakin tajam. Persamaan 2.9, jika menggunakan logarima natural maka akan berubah bentuk menjadi persamaan garis lurus yang dituliskan dalam persamaan (2.10) (Hinze et al, 2013).

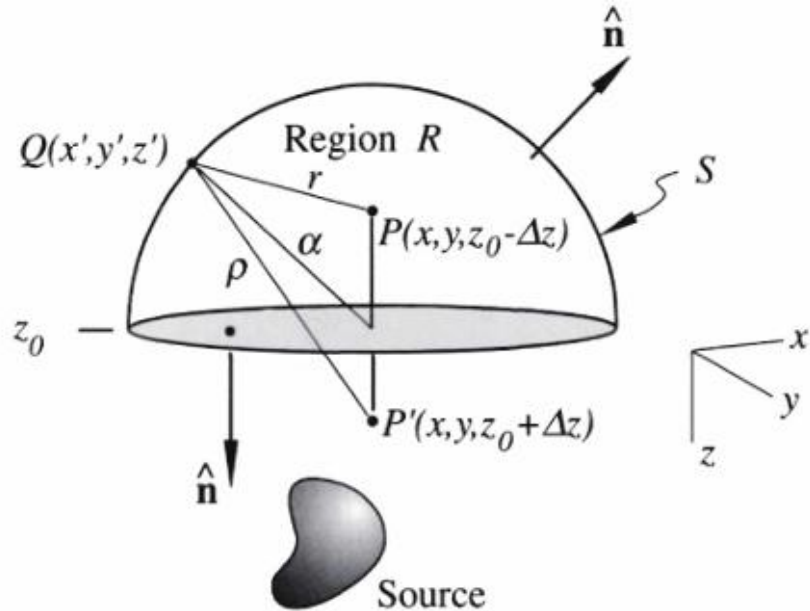
$$\ln[PS(k)] = \ln[C] - 4\pi z f = \ln[C] - 2zk \quad (2.10)$$

dengan f adalah frekuensi yang merupakan hasil dari sepersatuhan panjang gelombang ($1/\lambda$) dengan satuan berupa cycle/unit distance, k adalah fungsi bilangan gelombang $k = 2\pi f = 2\pi/\lambda$ dinyatakan dalam radian/unit distance, dengan dan C adalah konstanta. Kedalaman rata-rata sumber dapat dihitung melalui *slope* grafik terhadap frekuensi yang dituliskan dalam persamaan (2.11) (Hinze et al, 2013).

$$z(f) = |slope|/4\pi \quad (2.11)$$

2.2.7 Pemisahan Anomali

Pada data gayaberat, anomali gayaberat dengan panjang gelombang besar yang disebabkan oleh fitur geologi yang dalam disebut sebagai anomali regional. Anomali dengan panjang gelombang yang lebih pendek yang berasal dari fitur geologi yang lebih dangkal disebut dengan anomaly residual (Reynolds, 1997). Metode kontinuasi keatas (*upward continuation*) merupakan metode matematis yang digunakan untuk mengubah percepatan potensial yang diukur pada suatu permukaan menjadi percepatan yang akan diukur pada permukaan lain yang lebih jauh dari semua sumber. Prinsip utama dari *upward continuation* adalah suatu nilai potensial (U) dapat dihitung di sembarang titik (P dan P') dalam suatu permukaan (S) yang mengelilingi wilayah (R) tersebut (**Gambar 2.9**).



Gambar 2.9 Ilustrasi *upward continuation* (Blakely, 1996)

Persamaan (2.12) digunakan untuk menghitung nilai potensial disuatu titik diatas permukaan datar atau horizontal (Blakely, 1996).

$$U(x, y, z_0 - \Delta z) = \frac{\Delta z}{2\pi} \int_{-\infty}^{\infty} \int_{-\infty}^{\infty} \frac{U(x', y', z_0)}{[(x - x')^2 + (y - y')^2 + \Delta z^2]^{3/2}} \partial x' \partial y' \quad (2.12)$$

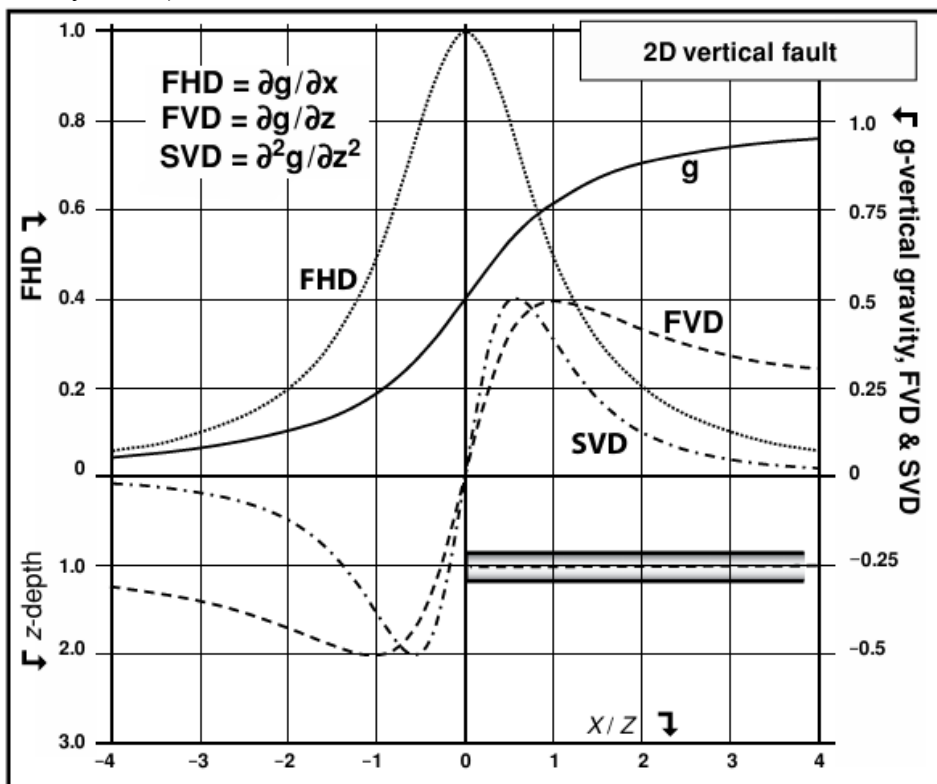
dimana $\Delta z > 0$, dengan $U(x, y, z_0 - \Delta z)$ adalah nilai potensial hasil kontinuasi, $U(x', y', z_0)$ merupakan nilai potensial observasi, dan Δz adalah ketinggian pengangkatan. Penggunaan persamaan dapat disederhanakan dengan menggunakan domain Fourier. Pada domain Fourier, *upward continuation* dilakukan dengan mengalikan spektrum Fourier dari data dengan faktor eksponensial tertentu yang merepresentasikan perubahan ketinggian tanpa perlu melakukan integrasi secara langsung, yang dinyatakan dalam persamaan (2.13) (Blakely, 1996).

$$F[U_U] = F[U]e^{-\Delta z|k|} \quad (2.13)$$

dimana $F[U_U]$ merupakan transformasi Fourier dari *upward continuation* dan k merupakan bilangan gelombang.

2.2.8 Analisis Struktural

Filter turunan digunakan untuk memperkuat nilai anomali gayaberat yang memiliki bilangan gelombang tinggi dan panjang gelombang pendek, dan untuk mengidentifikasi konfigurasi sumber. Filter turunan vertikal digunakan untuk meningkatkan keterlihatan anomali yang berasal dari sumber yang dangkal, sedangkan filter turunan horizontal terutama digunakan untuk menentukan tepi dari sumber anomali yang berskala luas. Karakteristik dari turunan-turunan profil anomali gayaberat yang berasal dari suatu anomali bawah permukaan (**Gambar 2.10**). Kurva turunan horizontal dari suatu anomali kontak vertikal mencapai maksimum, dan kurva turunan vertikal akan menunjukkan kontur nol ketika berasosiasi dengan anomali kontak vertikal (Blakely, 1996).



Gambar 2. 10 Ilustrasi profil anomali gayaberat (g), *First Horizontal Derivative* (FHD), dan *Second Vertical Derivative* (SVD) pada anomali patahan vertikal (Blakely, 1996)

Persamaan (2.14) digunakan untuk menghitung turunan horizontal dari suatu anomali gayaberat.

$$HD = \sqrt{\left(\frac{\partial g}{\partial x}\right)^2 + \left(\frac{\partial g}{\partial y}\right)^2} \quad (2.14)$$

dimana $\frac{\partial g}{\partial x}$ dan $\frac{\partial g}{\partial y}$ adalah turunan pertama nilai gayaberat pada masing masing sumbu x dan y.

Persamaan (2.15) digunakan untuk menghitung turunan vertical kedua dari suatu anomali gayaberat.

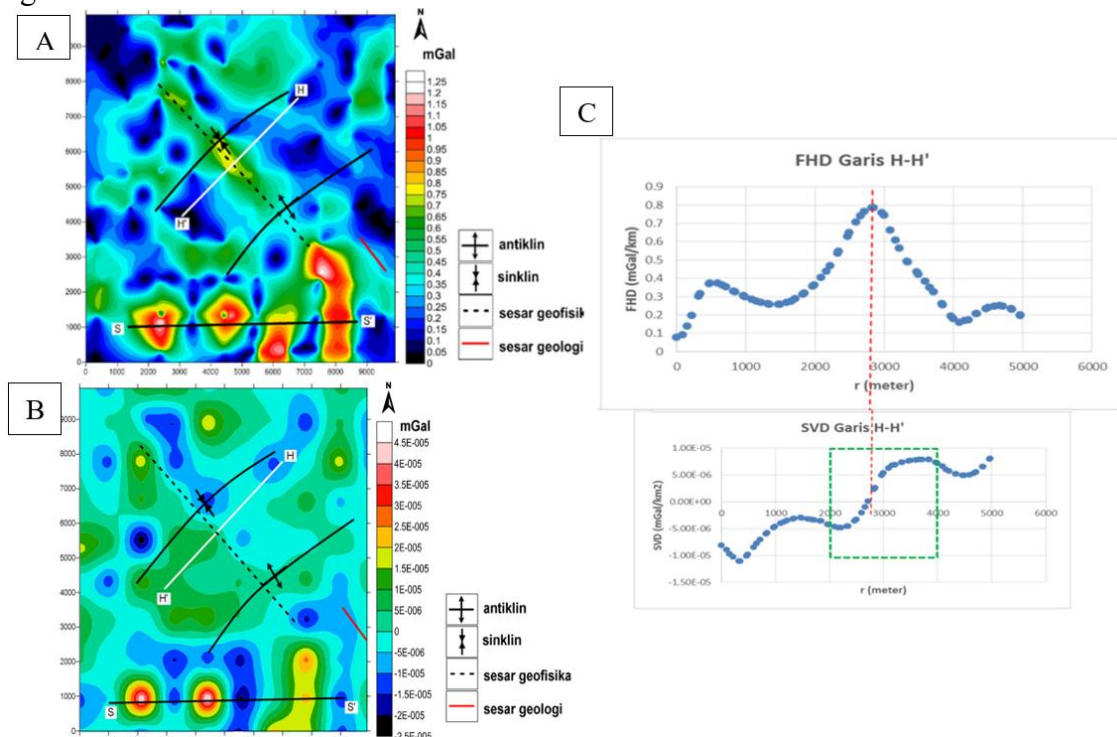
$$SVD = \frac{\partial^2 g}{\partial z^2} = -\left(\frac{\partial^2 g}{\partial x^2} + \frac{\partial^2 g}{\partial y^2}\right) \quad (2.15)$$

dimana $\frac{\partial^2 g}{\partial x^2}$, $\frac{\partial^2 g}{\partial y^2}$, $\frac{\partial^2 g}{\partial z^2}$ merupakan turunan kedua nilai gayaberat pada masing masing sumbu x, y dan z. Pendekatan matematis yang digunakan untuk mengekstrak turunan vertikal kedua dari nilai rata-rata pada berbagai jarak dari titik pengukuran telah banyak dikembangkan seperti Elkins (1951), Rosenbach (1952), dan Henderson dan Zeits (1949). Pada penelitian ini mengaplikasikan pendekatan matematis yang dikembangkan oleh Elkins (1951), dengan menggunakan operator matriks 5 x 5 (Tabel 2.2).

Tabel 2. 2 Tabel operator Elkins (1945) sebagai filter SVD

| | | | | |
|---------|---------|---------|---------|---------|
| 0 | -0.0833 | 0 | -0.0833 | 0 |
| -0.0833 | -0.0667 | -0.0334 | -0.0667 | -0.0833 |
| 0 | -0.0334 | 1.0668 | -0.0334 | 0 |
| -0.0833 | -0.0667 | -0.0334 | -0.0667 | -0.0833 |
| 0 | -0.0833 | 0 | -0.0833 | 0 |

Rosid & Siregar, (2017) melakukan penelitian terkait analisis struktur menggunakan sayatan pada kurva turunan horizontal dan turunan vertikal kedua (**Gambar 2.11**). Peta kontur turunan horizontal dan turunan vertikal kedua disayat sepanjang arah timur laut – barat daya yang ditunjukkan oleh garis H-H'. Hasilnya menunjukkan kurva turunan horizontal menunjukkan nilai maksimum dan titik nol pada kontur turunan vertikal kedua yang mengindikasikan keberadaan sesar.



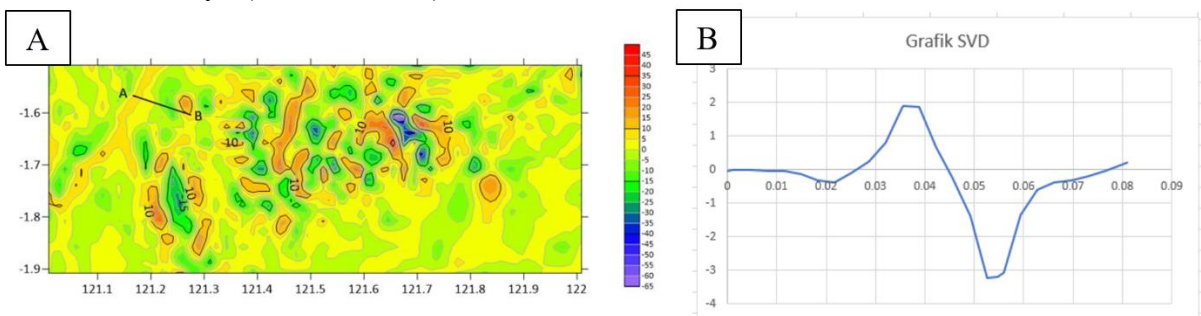
Gambar 2. 11 Analisis struktur menggunakan pada a) peta anomali turunan horizontal, b) peta anomali turunan vertikal kedua dalam bentuk c) kurva 1 dimensi turunan horizontal dan turunan vertikal kedua (Rosid and Siregar, 2017)

Fitriani et al. (2020) melakukan analisis terhadap anomali turunan vertikal kedua untuk menentukan jenis sesar. Sesar normal (*normal fault*) dapat diketahui melalui perbedaan nilai maksimum turunan vertikal kedua, dimana nilai maksimumnya lebih besar dibandingkan nilai

minimumnya. Sedangkan sesar naik (*reverse fault*) dapat diketahui melalui ketika nilai maksimum turunan vertikal kedua lebih kecil dari nilai minimumnya. Hal ini dinyatakan dalam persamaan (2.16).

$$\begin{aligned} \text{Sesar Normal} &= \left(\frac{\partial^2 g}{\partial z^2} \right)_{maks} > \left| \left(\frac{\partial^2 g}{\partial z^2} \right) \right|_{min} \\ \text{Sesar Naik} &= \left(\frac{\partial^2 g}{\partial z^2} \right)_{maks} < \left| \left(\frac{\partial^2 g}{\partial z^2} \right) \right|_{min} \end{aligned} \quad (2.16)$$

Hasilnya menunjukkan analisis turunan vertikal kedua dengan operator matriks elkins dapat menunjukkan jenis sesar naik, dimana nilai maksimum turunan vertikal kedua lebih kecil dari nilai minimumnya (**Gambar 2.12**).



Gambar 2. 12 Analisis jenis sesar pada a) peta turunan vertikal kedua dalam bentuk b) kurva 1 dimensi peta turunan vertikal kedua pada sayatan A-B (Fitriani et al., 2020)

2.2.9 Pemodelan 3 Dimensi

Model merupakan representatif kondisi geologi yang berada di bawah permukaan oleh benda anomali dengan nilai fisis dan geometri tertentu. Pemodelan adalah proses mengevaluasi model dan parameter model berdasarkan data yang diamati di permukaan bumi. Dalam pemodelan geofisika, dikenal tiga jenis model, yaitu model 2D, model 2.5D dan model 3D. Selain itu, pemodelan juga terbagi menjadi dua, yaitu pemodelan ke depan (forward modelling) dan pemodelan inversi (inverse modelling). Pemodelan inversi data gravitasi pada penelitian dilakukan secara 3D. Pada model 3D, memiliki sumbu X, Y, dan Z atau dapat dikatakan model yang memiliki komponen ruang atau volume. Secara visual, objek yang ditampilkan pada model 3D dapat dilihat dari arah mana saja.

Singular Value Decomposition merupakan salah satu inversi yang tepat untuk analisis sinyal pada matiks real ataupun matriks kompleks. Penelitian ini menggunakan metode inversi non linier khususnya dengan metode *singular value decomposition* dan inversi Occam. Analisis dengan *singular value decomposition* menghasilkan solusi dari persamaan meskipun matriks koefisien yang terbentuk bukan matriks yang tidak mempunyai invers. Metode *singular value decomposition* mempunyai kelebihan dapat menentukan solusi sistem persamaan linier walaupun sistem persamaan linear tidak mempunyai pemecahan. Solusi sistem persamaan linear yang diperoleh merupakan solusi pendekatan terbaik yang dirumuskan dalam persamaan (2.17).

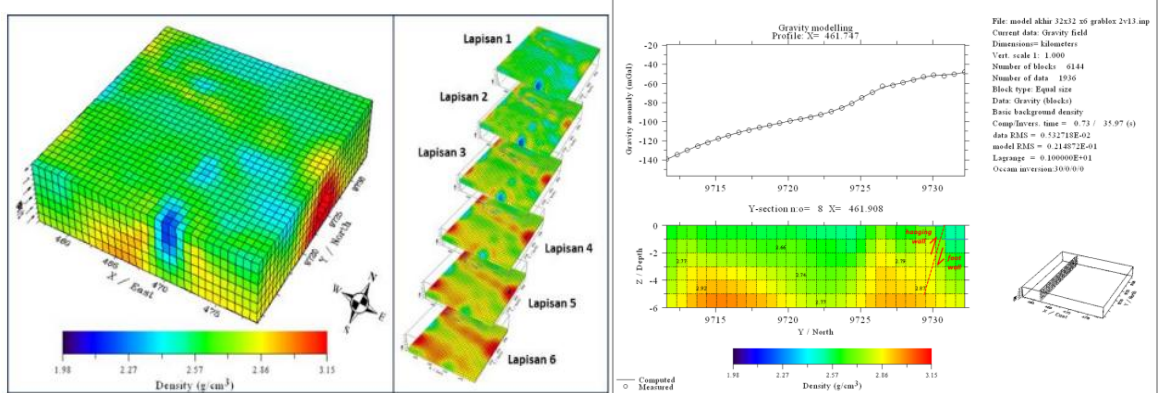
$$A = USV^T \quad (2.17)$$

dimana A merupakan matriks asal, U merupakan matriks singular kiri yang juga singular vector dari matriks A , S merupakan matriks diagonal yang menyimpan singular value, dan V^T merupakan transpose dari matriks singular kanan yang merupakan *singular vector* dari matriks A . Metode inversi occam dilakukan untuk mendapatkan hasil yang maksimal antara data hasil pengukuran dan data hasil perhitungan sehingga dapat memperkecil nilai kesalahan antara hasil pengukuran dan hasil perhitungan yang dirumuskan dalam persamaan (2.18).

$$U = \|\delta m\|^2 + \mu^{-1}\{\|Wd - WGm\|^2 - X^2\} \quad (2.18)$$

dimana $\|\delta m\|^2$ merupakan kekasaran (roughness), μ^{-1} merupakan Lagrange multiplier, $\|Wd - WGm\|^2$ merupakan *misfit* dan X^2 adalah error. Metode inversi Occam bertujuan untuk memperkecil tingkat kekasaran dari model yang telah diproses. Metode inversi Occam dapat memberikan nilai lebih jika dibandingkan dengan menggunakan metode *Singular Value Decomposition*

Sudrajad et al. (2024) melakukan pemodelan 3 dimensi menggunakan inversi Occam untuk mengetahui kondisi bawah permukaan dalam mengidentifikasi struktur geologi. Hasilnya menunjukkan jika model 3 dimensi struktur bawah permukaan menggunakan inversi Occam memiliki kesesuaian dengan kondisi geologi dengan tingkat presisi model yang baik yang ditandai dengan error data sebesar 0,53%. Struktur geologi yang ditemukan diwilayah penelitian merupakan jenis sesar normal dengan orientasi barat-timur (**Gambar 2.13**)

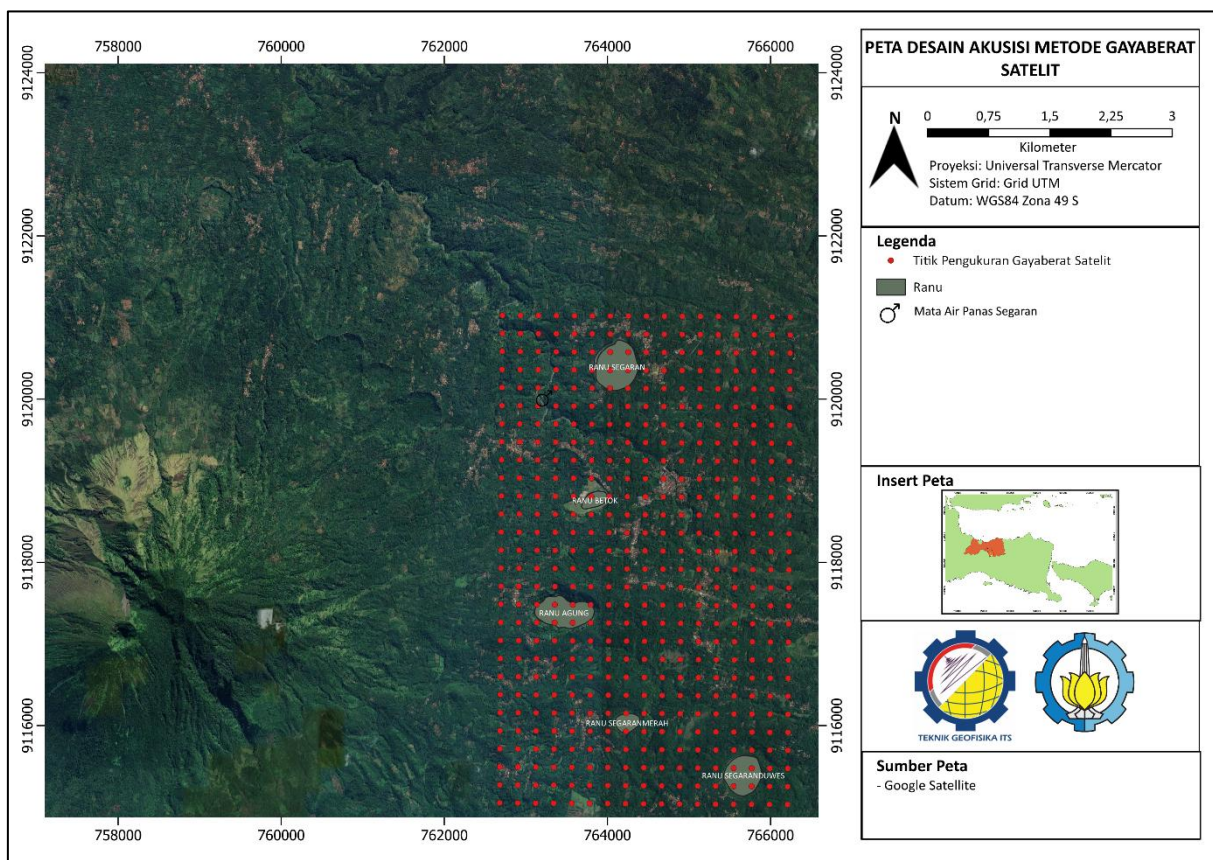


Gambar 2. 13 Analisis kondisi bawah permukaan menggunakan a) model 3 dimensi dan b) sayatan melintang utara-selatan berdasarkan model 3 dimensi (Sudrajad et al., 2024)

BAB 3 METODOLOGI

3.1 Lokasi dan Data Penelitian

Secara administratif, lokasi penelitian berada pada Kecamatan Tiris, Kabupaten Probolinggo. Area penelitian mencakup beberapa Desa di Kecamatan Tiris diantaranya : Desa Segaran, Desa Ranugedang, Desa Ranuagung, Desa Tiris, Desa Andungsari, Desa Tlogosari, dan Desa Tlogoargo. Pada lokasi yang sama digunakan juga gayaberat satelit yang memiliki ukuran 3 km x 6 km dengan jarak antar titik pengukuran 200 m pada 477 titik pengukuran. Gayaberat satelit yang digunakan merupakan gayaberat satelit GGMPplus yang memiliki resolusi hingga 200 meter, dan akurasi model sekitar 8 – 23 mGal.



Gambar 3. 1 Peta desain akusisi gayaberat satelit (GGMPlus) pada lokasi penelitian

3.2 Peralatan Penelitian

Penelitian dilakukan dengan menggunakan data sekunder gayaberat satelit (GGMPlus) yang diperoleh dari website <https://ddfe.curtin.edu.au/models/GGMplus/>. Adapun peralatan yang digunakan dalam pengerjaan penelitian ini ditampilkan dalam **Tabel 3.1**.

Tabel 3. 1 Peralatan dalam pengolahan data gayaberat

| No | Alat | Keterangan |
|----|--------------------|--|
| 1 | Matlab R2025a | Pengambilan data gayaberat satelit (GGMPlus) |
| 2 | Software gayaberat | Pengolahan data gayaberat satelit |

| | | |
|----|-----------------------------|--|
| 3 | <i>Software</i> pemetaan | Pengambilan area radius terrain |
| 4 | QGIS 3.28.7 | Pengolahan seluruh peta |
| 5 | <i>Software</i> interpolasi | Analisis <i>gridding</i> dan variogram |
| 6 | <i>Software</i> kelurusian | Pembuatan diagram rose kelurusian (<i>lineament</i>) |
| 7 | Grablox 6.4 | Pemodelan 3 dimensi |
| 10 | Bloxer 6.4 | Visualisasi hasil pemodelan 3 dimensi |

3.3 Alur Penelitian

A. Kajian Literatur

Kajian literatur dilakukan dengan tujuan mempelajari terkait kondisi geologi regional lokasi penelitian, dan penerapan eksplorasi gayaberat dalam mengidentifikasi struktur geologi dengan mengumpulkan bahan pustaka berupa buku, jurnal ilmiah, dan karya tulis. Tujuan lain dilakukan kajian literatur agar meminimalisir kurangnya pengetahuan dasar objek penelitian ketika melakukan pengambilan data, pengolahan dan interpretasi.

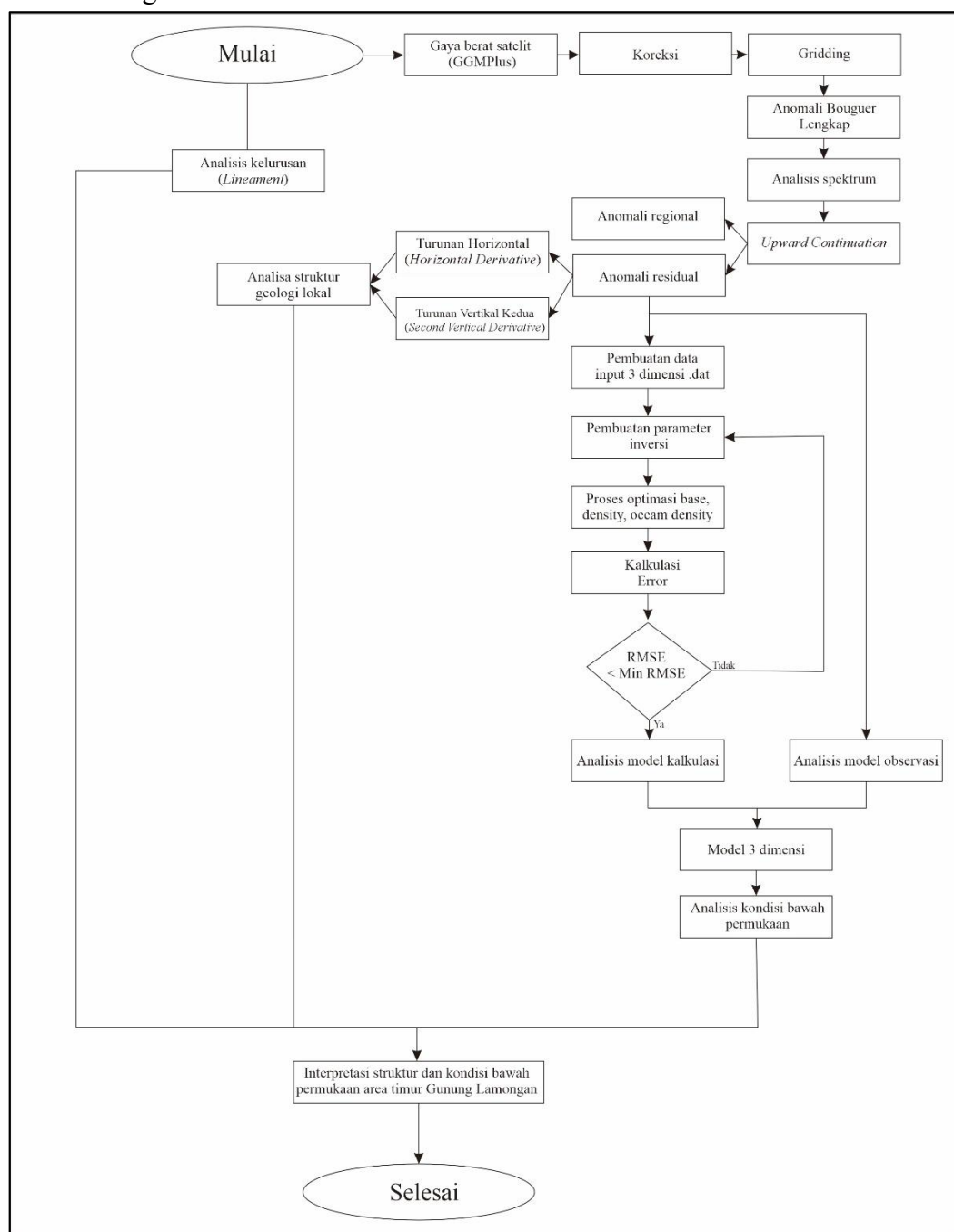
B. Pengolahan Data Gayaberat

Langkah pertama untuk pengolahan data gayaberat satelit adalah mengunduh data dari website <https://ddfe.curtin.edu.au/models/GGMplus/>. Data tersebut terdiri dari koordinat UTM X, koordinat UTM Y, geoid, dan nilai gayaberat satelit. Setelah memperoleh data raw selanjutnya melakukan koreksi data. Output akhir dari koreksi data adalah mendapatkan nilai anomali Bouguer lengkap. Nilai anomali Bouguer lengkap selanjutnya dilakukan proses *gridding* menggunakan *software gridding*. Setelah melalui tahapan *gridding*, dilakukan analisis sinyal untuk mengetahui estimasi kedalaman anomali regional dan anomali residual. Langkah berikutnya adalah pemisahan anomali regional dan residual menggunakan filter kontinuasi keatas (*upward continuation*). Anomali residual yang diperoleh dari proses pemisahan anomali, selanjutnya dianalisis kuantitatif menggunakan turunan horizontal (*horizontal derivative*) dan turunan vertikal kedua (*second vertical derivative*).

Analisis *lineament* dilakukan pada data DEM (*Digital Elevation Model*) yang diperoleh dari situs <https://tanahair.indonesia.go.id/portal-web/> pada daerah penelitian dengan resolusi 8 m, kemudian diolah menggunakan perangkat lunak QGIS 3.28.7 secara manual. Penarikan kelurusian dilakukan secara manual dengan menggunakan *azimuth* 0°, 45°, 180°, dan 225°, dengan nilai *altitude* 45 meter. Penarikan dilakukan dengan mengubah data DEM yang berupa elevasi menjadi *hillshade* untuk memudahkan melihat kelurusian dari empat arah. Besar azimuth pada setiap kelurusian kemudian diplot pada diagram rose untuk mengidentifikasi tren orientasi *azimuth* pada area Tiris.

Terakhir adalah melakukan pemodelan 3D menggunakan perangkat lunak Grablox 6.4 dan Bloxer 6.4. Tahapan pertama yang dilakukan adalah membuat data input dari peta anomali Bouguer residual dalam bentuk .dat file. Kemudian, membuat parameter yang digunakan dalam pemodelan 3 dimensi pada perangkat lunak Grablox 6.4. Parameter tersebut mencakup luasan area penelitian (x dan y), kedalaman (z) yang digunakan, ukuran blok model (dx, dy, dz) dan dimensi blok model masing masing sumbu x, y dan z. Langkah selanjutnya adalah melakukan 3 jenis optimasi secara bertahap. Optimasi yang dimaksud mencakup optimasi *base*, optimasi

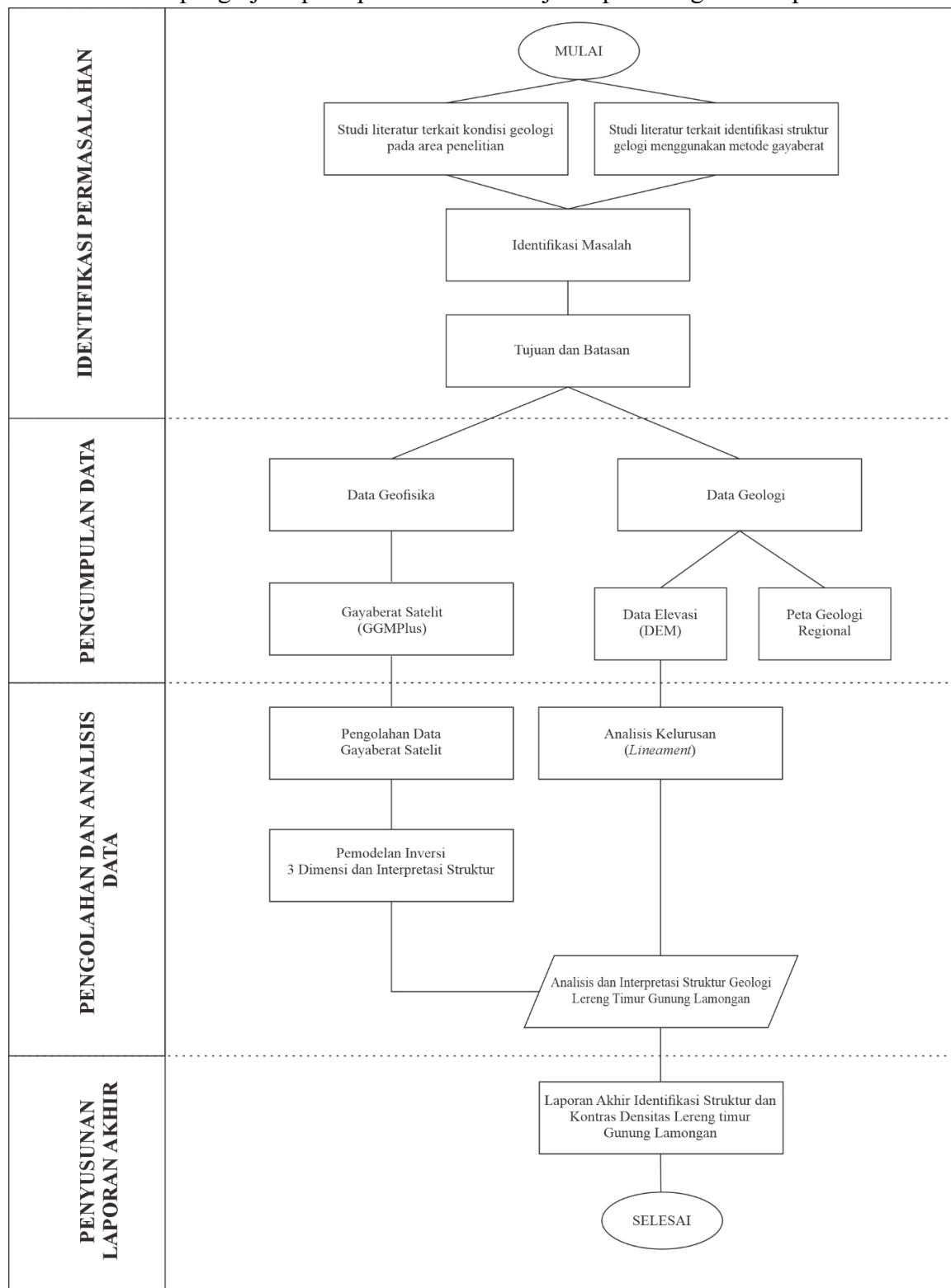
density, dan optimasi *occum density*. Pada tahapan terakhir dari proses optimasi akan menampilkan bentukan model awal sebagai data pengukuran (data input berupa peta anomali residual), model perhitungan, dan model selisih antara data pengukuran dan data perhitungan. Langkah selanjutnya adalah menentukan model yang akan dianalisis dengan melihat nilai RMS (*Root Mean Square*) *error* pada data dan model. Jika RMS *error* memiliki nilai yang kecil, maka data dan model dapat dipercaya dan akan digunakan untuk proses analisis. Jika RMS *error* memiliki nilai yang besar, maka harus dikembalikan ke proses pembuatan parameter gayaberat yang sesuai. Visualisasi model dalam bentuk 3 dimensi dan sayatan melintang sumbu x, y dan z menggunakan perangkat lunak *Bloxer 6.4*. Alur pengolahan disajikan dalam gambar **Gambar 3.2** sebagai berikut.



Gambar 3. 2 Alur pengolahan data gayaberat

3.4 Diagram Penelitian

Secara umum alur pengerjaan pada penelitian ini disajikan pada diagram alir pada **Gambar 3.3**



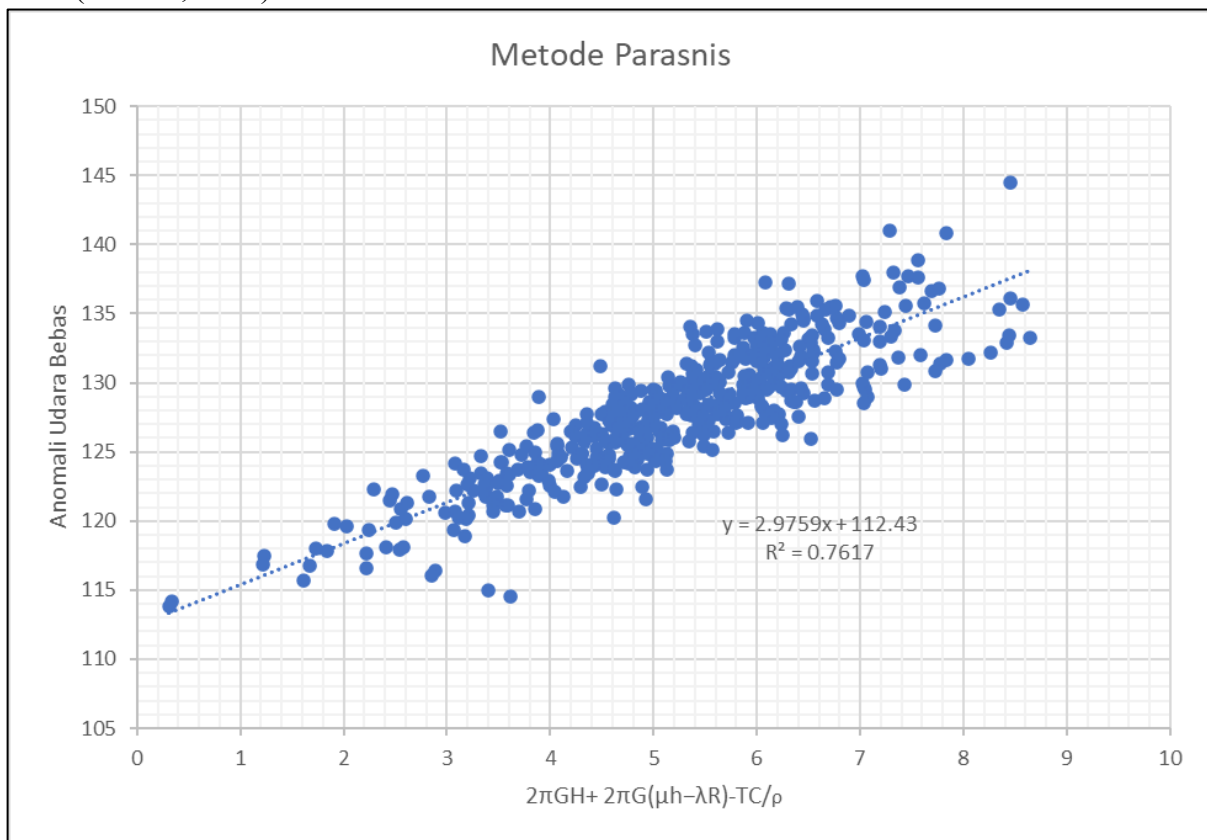
Gambar 3. 3 Diagram Alir Penelitian

BAB 4 HASIL DAN PEMBAHASAN

4.1 Hasil Penelitian

4.1.1 Estimasi Densitas

Estimasi densitas dilakukan guna memperoleh nilai densitas yang mendekati nilai sebenarnya. Area penelitian didominasi oleh batuan beku yang umumnya memiliki rentang densitas antara $2,0 \text{ gr/cm}^3$ hingga $3,1 \text{ gr/cm}^3$ (Telford, Geldart & Sheriff, 1990). Rentang ini dijadikan acuan dalam proses estimasi densitas pada area penelitian. Estimasi densitas dilakukan menggunakan metode Parasnus (Parasnus, 1986; Parasnus & Cook, 1951), di mana nilai $(2\pi GH + 2\pi G(\mu h - \lambda R) - \frac{TC}{\rho})$ dibandingkan terhadap nilai anomali udara bebas dan diplot dalam bentuk grafik. Gradien dari grafik tersebut mencerminkan estimasi nilai densitas di area penelitian (Parasnus, 1951). Berdasarkan **Gambar 4.1**, diperoleh nilai gradien sebesar 2,9759 dengan koefisien determinasi (R^2) sebesar 0,7617. Dengan demikian, estimasi densitas area penelitian adalah sebesar $2,9759 \text{ gr/cm}^3$, yang masih berada dalam kisaran densitas batuan beku (Telford, 1994).

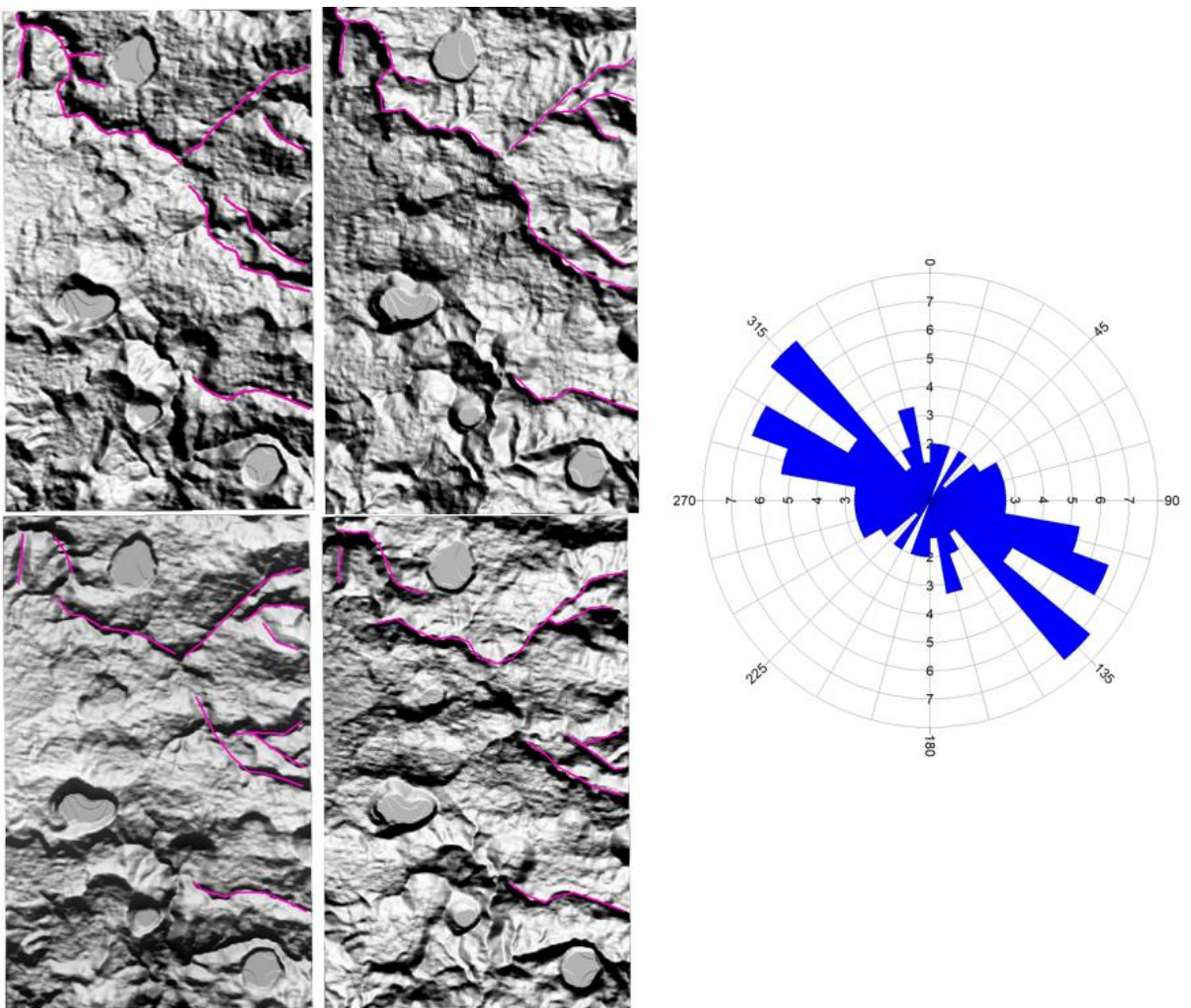


Gambar 4. 1 Estimasi nilai densitas menggunakan metode Parasnus pada Gayaberat Satelit

4.1.2 Kelurusan (*Lineament*)

Penarikan kelurusan menggunakan data *open source* berupa data DEM (*Digital Elevation Model*) atau elevasi dengan resolusi 9 m yang didapat dari DEMNAS BIG. DEMNAS menjadi peta dasar yang digunakan untuk menarik fitur-fitur kelurusan yang teramat di daerah penelitian. Penarikan kelurusan dilakukan secara manual menggunakan Metode Yamaguchi (1985), dimana metode ini didasarkan pada skala gambar (S) dan resolusi (R) yang optimal

untuk mendeteksi kelurusan ($0,1 \text{ mm} = R \times S$). Berdasarkan metode tersebut, maka penarikan dilakukan pada skala 1 : 90.000. Data DEM diproses dalam bentuk peta *hillshade* (**Gambar 4.2**) dengan penyinaran (azimuth) dari empat arah berbeda (0° , 45° , 180° , dan 225°) dan altitude 45 derajat dan faktor z sebesar 5. Hasil penarikan terhadap peta DEM area penelitian, diidentifikasi jumlah kelurusan sebanyak 76 kelurusan. Orientasi kelurusan dapat dilihat melalui diagram rose (**Gambar 4.2**) yang menunjukkan bahwa arah tegasan utama area penelitian memiliki arah dominan 135° SE (*southeast*) atau 315° NW (*northwest*). Arah dominan kelurusan menginterpretasikan pola arah struktur regional yang mengontrol pada daerah tersebut.



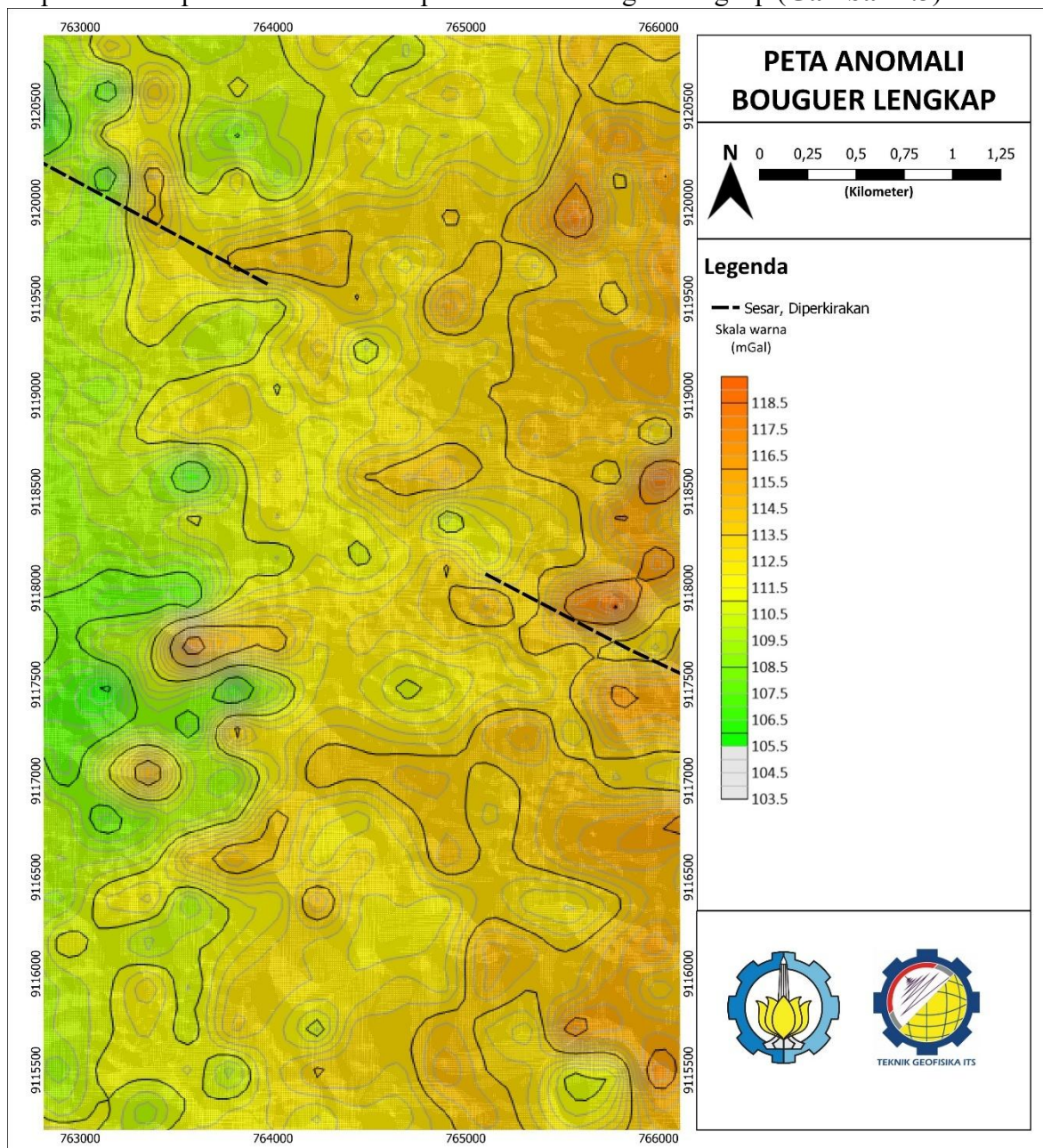
Gambar 4. 2 Penarikan kelurusan dan plot kelurusan pada diagram roset

4.1.3 Anomali Bouguer

Peta anomali Bouguer lengkap merupakan hasil dari serangkaian koreksi data yang dilakukan terhadap 477 titik pengukuran. Koreksi yang diterapkan dalam penelitian ini meliputi: koreksi lintang, koreksi udara bebas, koreksi bouguer, dan koreksi medan. Penentuan jarak terjauh (*outer*) dan jarak terdekat (*inner*) yang digunakan dalam koreksi medan didasarkan pada zona berdasarkan tabel koreksi medan yang diusulkan oleh Hammer (1939). Area penelitian memiliki ketinggian elevasi rata-rata sebesar 532 meter, dimana nilai tersebut masuk dalam zona F pada tabel koreksi tersebut dengan rentang nilai ketinggian 390 – 895 meter.

Dengan demikian pada penelitian ini menggunakan nilai jarak terjauh (*outer*) sebesar 895 meter dan jarak terdekat (*inner*) sebesar 390 meter. Anomali bouguer lengkap dihitung dengan $CBA = g_{obs} - g\emptyset + g_{TUB}(x, y, z) - (g_{B(A)}(x, y, z) + g_{B(B)}(x, y, z)) + terrain correction$.

Proses interpolasi data menggunakan metode Krigging. Titik titik pada *grid nodes* dihitung menggunakan *point Krigging*. Proses interpolasi Krigging dianalisis melalui variogram sferikal dengan ukuran *grid cell* pada proses interpolasi sebesar 52 meter. Hasil dari proses interpolasi ditampilkan dalam bentuk peta anomali Bouguer lengkap (**Gambar 4.3**).

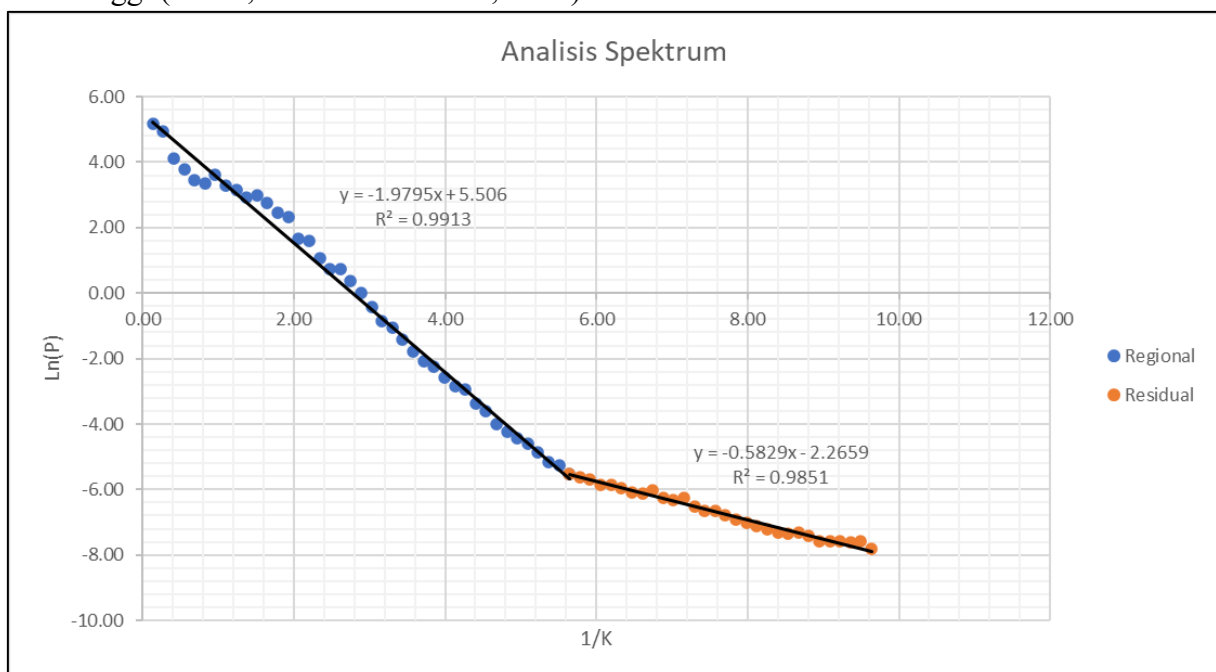


Gambar 4. 3 Peta anomali bouguer lengkap

Peta anomali Bouguer lengkap satelit menunjukkan rentang nilai anomali gayaberat satelit sebesar 103,5 – 118,5 mGal. Anomali gayaberat rendah berada pada sisi barat lokasi penelitian dengan rentang nilai 103,5 – 110,5 mGal. Sementara itu, anomali tinggi berada pada sisi timur

lokasi penelitian dengan rentang nilai 111,5 – 118,5 mGal. Pola anomali tinggi pada sisi timur dan menurun ke sisi barat.

Selanjutnya, data anomali Bouguer lengkap dianalisis lebih lanjut untuk mengidentifikasi keberadaan anomali regional yang bersifat dalam dan anomali residual yang bersifat dangkal. Pemisahan kedua komponen anomali ini dilakukan menggunakan metode *power spectrum*. Kurva hasil analisis spektrum data anomali Bouguer lengkap ditampilkan pada **Gambar 4.4**. Estimasi kedalaman dilakukan dengan menghitung kemiringan (gradien) dari grafik log power spektral ($\ln A$ mplitudo) terhadap frekuensi atau bilangan gelombang (k). Pada grafik spektrum, anomali regional ditunjukkan oleh sinyal dengan frekuensi rendah dan memiliki kemiringan yang curam, anomali residual ditunjukkan oleh sinyal dengan frekuensi lebih tinggi (Hinze, von Frese & Saad, 2013).

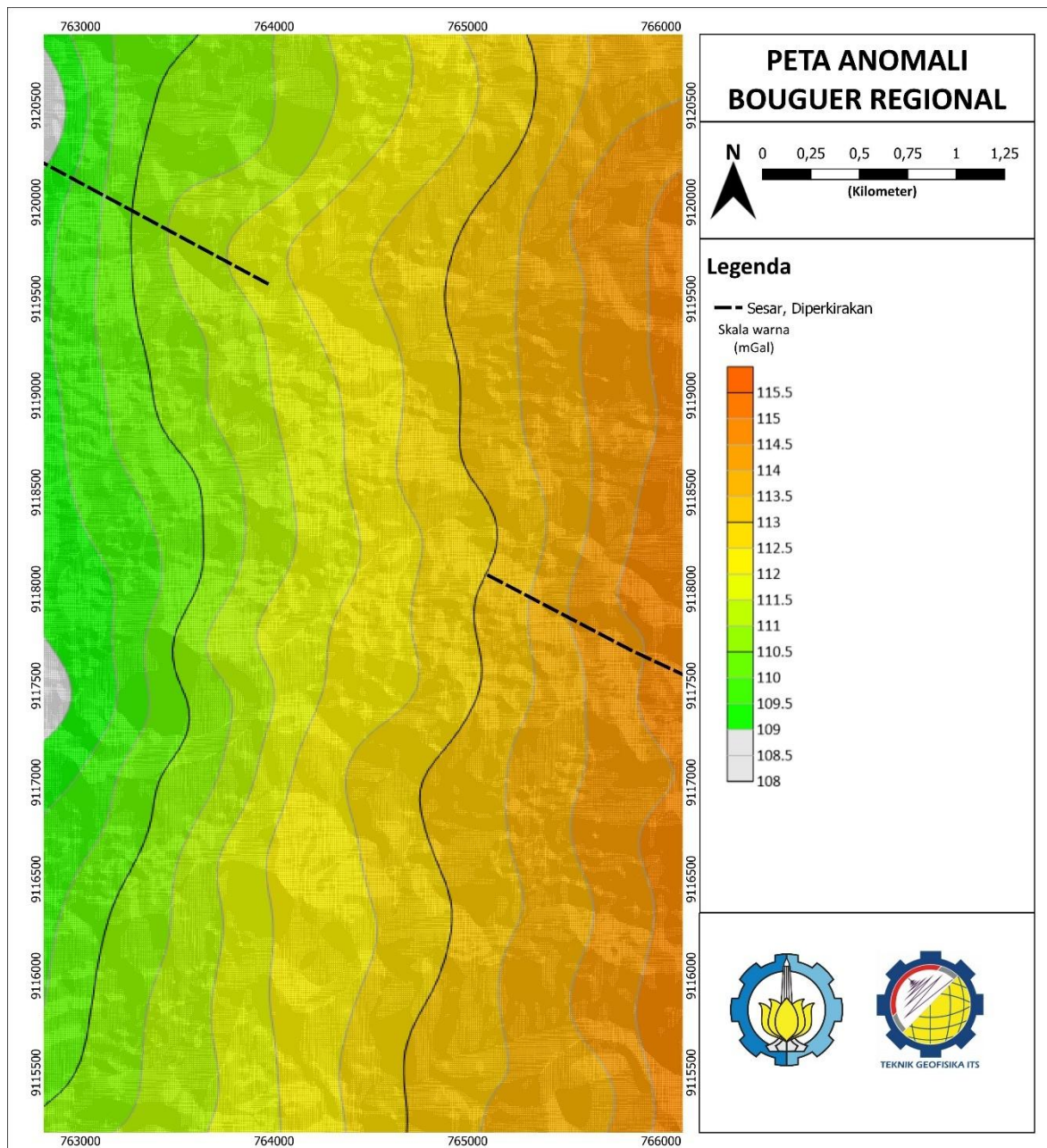


Gambar 4. 4 Analisis Spektrum pada gayaberat Satelit

Hasil analisis spektrum menunjukkan bahwa gradien untuk komponen regional yang ditampilkan dalam kurva berwarna biru adalah sebesar $-1,9795$, dan gradien untuk komponen residual yang ditunjukkan oleh kurva berwarna jingga sebesar $-0,5829$. Penentuan estimasi kedalaman anomali dilakukan dengan membagi nilai mutlak gradien dengan 4π (Persamaan 2.11). Estimasi kedalaman pada anomali regional dapat mencapai $0,157$ km atau 157 m dan anomali residual dapat mencapai $0,046$ km atau 46 m. Nilai kedalaman yang diperoleh sesuai dengan penelitian sebelumnya yang dilakukan oleh Siombone, Maryanto & Wiyono, 2021 dan Ulumuddin et al., 2024 , dimana kedalaman residual kurang dari 100 m.

Pemisahan anomali regional dan residual dilakukan dengan menggunakan filter kontinuasi ke atas (*Upward Continuation*). Filter ini digunakan untuk memuat peta anomali Bouguer regional dengan menghilangkan pengaruh dari sumber sumber dangkal. Level pengangkatan yang dipilih berdasarkan analisis spektrum untuk anomali yang dalam yaitu sebesar 314 m. Besar nilai pengangkatan dalam menggunakan filter ini dilakukan dengan mengalikan dua kali kedalaman regional yang ditentukan dari analisis spektral sebelumnya (Arellano et al., 2021). Peta anomali Bouguer regional (**Gambar 4.5**) mencerminkan sebaran densitas batuan di bawah permukaan bumi, dalam satuan miliGal (mGal). Peta anomali

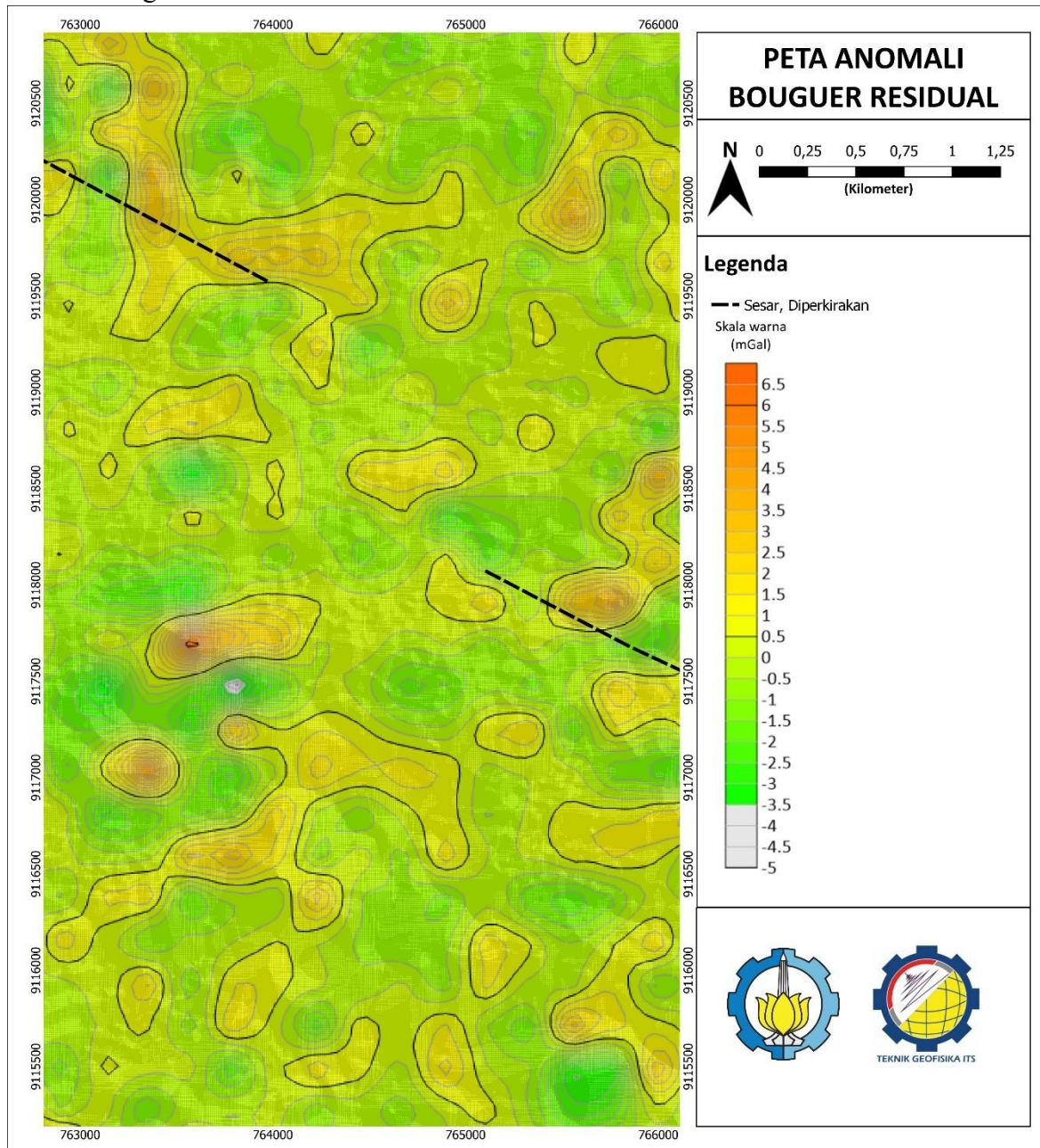
Bouguer regional satelit menunjukkan pola anomali tinggi pada sisi timur dan menurun ke sisi barat yang berada pada rentang nilai sebesar 108 – 115,5 mGal. Anomali gayaberat rendah berada pada sisi barat lokasi penelitian dengan rentang nilai 107,5 – 111,5 mGal. Sementara itu, anomali tinggi berada pada sisi timur lokasi penelitian dengan rentang nilai 112 – 115,5 mGal.



Gambar 4. 5 Peta anomali Bouguer regional

Peta anomali Bouguer residual diperoleh dengan mengurangkan peta anomali Bouguer lengkap dengan peta anomali Bouguer regional guna menekankan pengaruh fitur geologi yang berada pada kedalaman dangkal di bawah permukaan bumi. Peta anomali residual (**Gambar 4.6**) menunjukkan pola anomali yang lebih kompleks dibandingkan anomali regional. Hal ini disebabkan efek dari objek anomali yang terletak pada kedalaman dangkal yang sangat bervariasi (Safira et al., 2024). Anomali residual dapat menentukan keberadaan struktur geologi

dengan melihat kedekatan antara area anomali tinggi dan rendah. Zona tersebut dapat berkaitan dengan sesar atau rekahan.



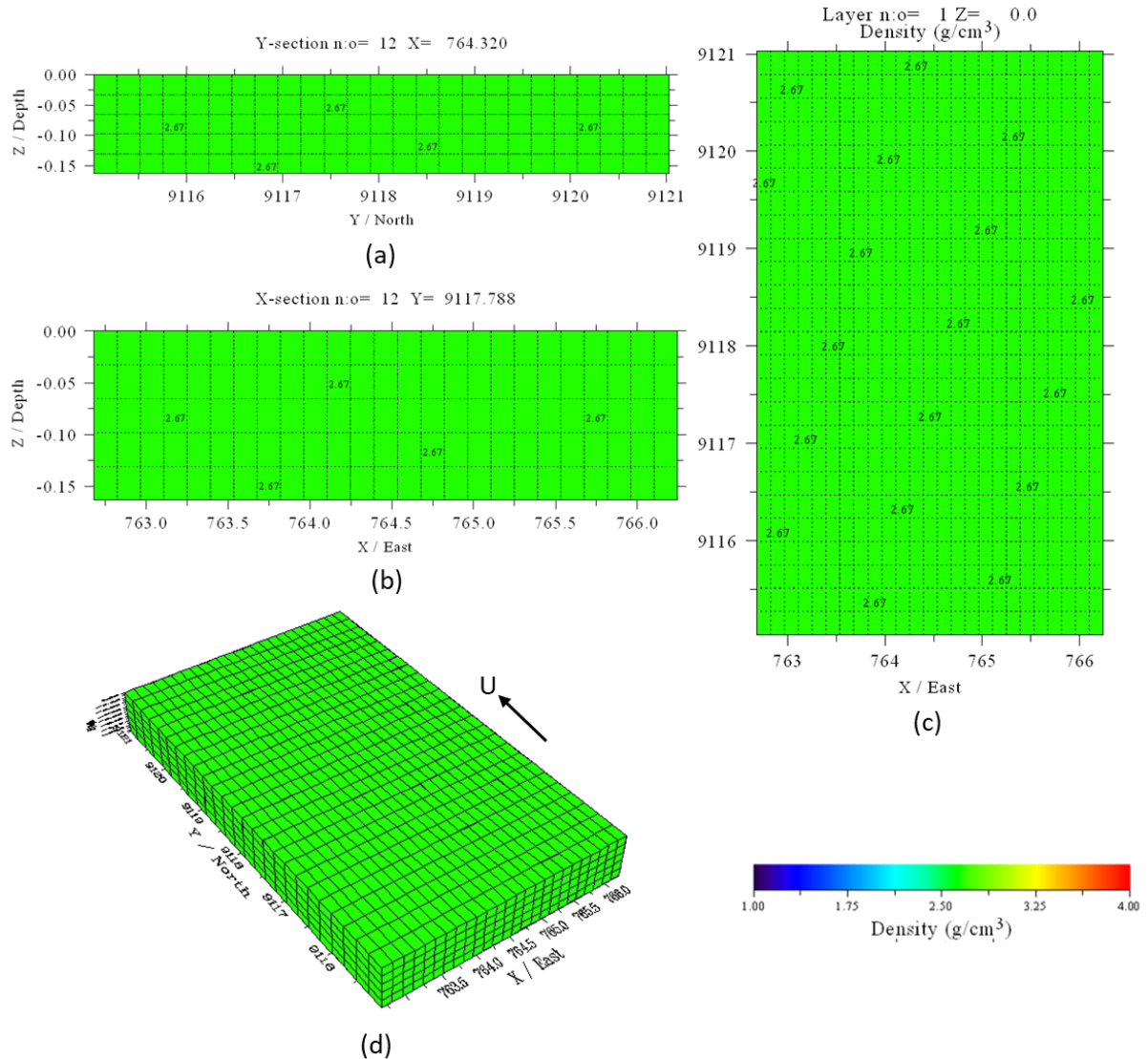
Gambar 4. 6 Peta anomali bouguer residual satelit

Peta anomali Bouguer residual menunjukkan rentang nilai anomali sebesar $-5 - 6,5$ mGal. Anomali gayaberat rendah berada pada rentang $-5 - 0,0$ mGal, sedangkan anomali gayaberat tinggi berada pada rentang $0,5 - 6,5$ mGal.

4.1.4 Model Bawah Permukaan Hasil Inversi

Pemodelan awal menggunakan perangkat lunak Grablox 1.6. Data yang dimodelkan berasal dari data anomali bouguer residual di lokasi penelitian. Model awal (**Gambar 4.7**) yang digunakan pada penelitian ini terdiri dari 3125 blok kecil yang membentuk satu blok besar yaitu 25 blok pada semua lapisan nx , 25 blok pada semua lapisan ny dan 5 blok pada semua lapisan nz . Jumlah blok kecil tersebut didasarkan atas ukuran spasi geometri yang digunakan yaitu

sebesar 0,052 km. Ukuran model untuk wilayah penelitian yaitu 3 km ke arah timur-barat (sumbu x), dan 6 km ke arah utara-selatan (sumbu y), sementara kedalaman model mencapai 0,15 km ke arah sumbu vertikal (sumbu z). Penentuan kedalaman model berdasarkan estimasi kedalaman anomali residual pada analisis spektrum. Densitas yang digunakan untuk estimasi sebesar $2,9 \text{ g/cm}^3$ yang diperoleh melalui estimasi densitas oleh metode Parasnis. Model awal ini kemudian akan digunakan pada proses inversi.

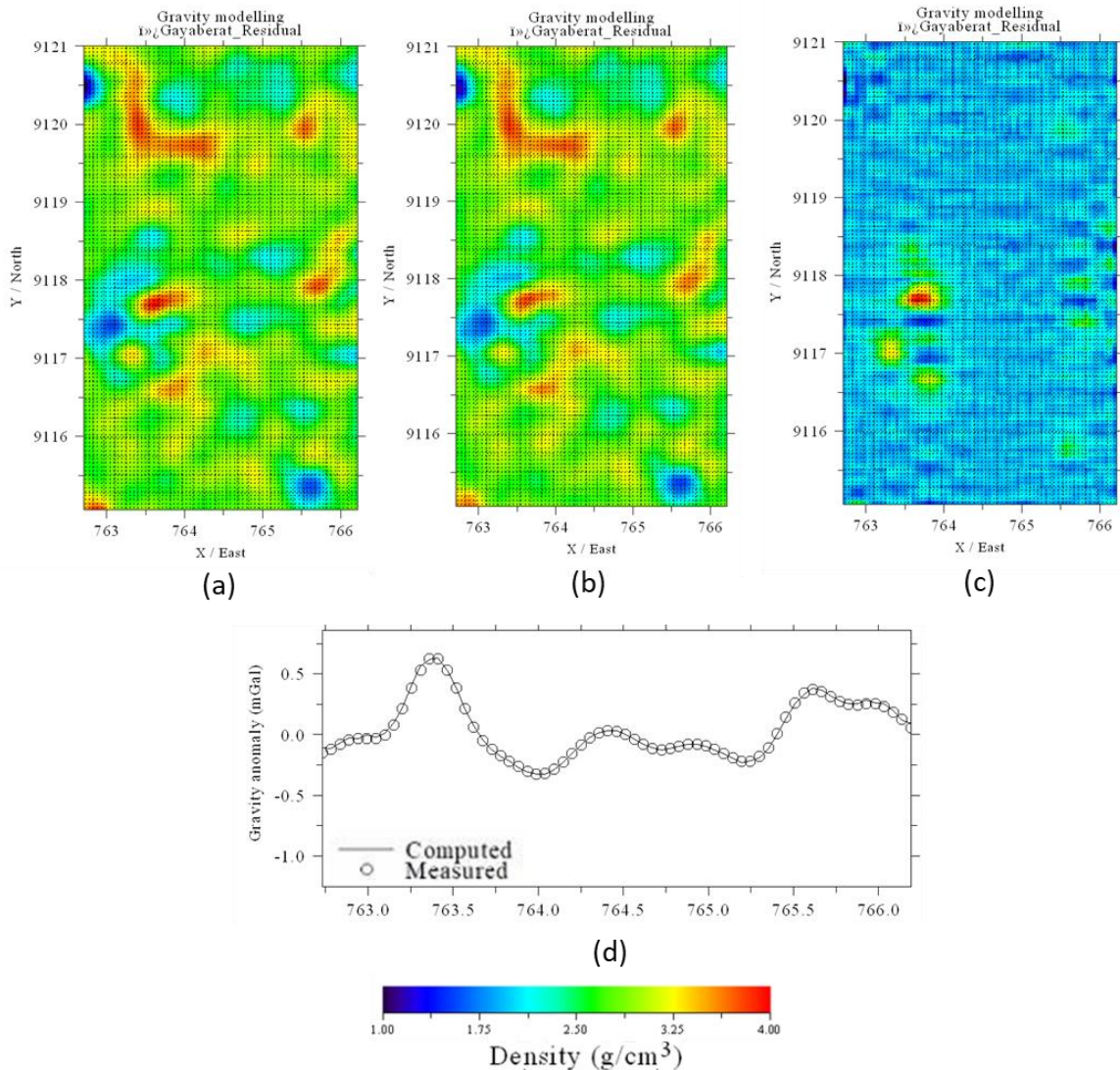


Gambar 4. 7 Model awal inversi gayaberat satelit a) sayatan tegak lurus sumbu x yang mewakili 25 sayatan b) sayatan tegak lurus sumbu y yang mewakili 25 sayatan c) sayatan tegak lurus sumbu z yang mewakili 5 sayatan d) tampilan 3 dimensi model awal

Model awal yang telah terbentuk, akan dilakukan proses komputasi. Proses komputasi yang dilakukan pada pemodelan inversi yaitu optimasi *base*, *density*, dan *occum density*. Proses optimasi dilakukan menggunakan metode *singular value decomposition* dan optimasi *Occam's* yang dilakukan secara berurutan. Jika hasil optimasi menggunakan metode *singular value decomposition* menunjukkan ketidaksesuaian antara data densitas hasil komputasi dengan data hasil pengukuran, maka dilakukan optimasi lanjutan menggunakan pendekatan *occum's* untuk meminimalkan perbedaan, sehingga diperoleh kecocokan model yang lebih baik. Pada proses

komputasi, nilai error akan dihitung pada setiap tahap optimasi. Proses optimasi secara bertahap akan mengurangi nilai error. Nilai error (RMS error) yang minimum menunjukkan kesesuaian data pengukuran dan hasil perhitungan, sehingga model yang diperoleh dari proses optimasi tersebut dianggap menjadi model yang paling optimum.

Pada pemodelan ini menggunakan 1 iterasi pada setiap proses optimasi. Proses optimasi yang dilakukan secara bertahap, dibutuhkan waktu inversi yang berbeda-beda. Pada optimasi base dibutuhkan waktu selama 0,93 detik, optimasi densitas selama 51,73 menit, dan optimasi *occam* selama 14,55 detik. Dengan demikian, total waktu yang dibutuhkan untuk menjalankan proses inversi selama 51,73 menit 15,48 detik. Nilai error (RMS error) model yang dihasilkan sebesar 0,0956 atau 9,56%. dan nilai error (RMS error) data sebesar 0,0132 atau 1,32%. Nilai error yang kecil menunjukkan model densitas yang dihasilkan dapat diinterpretasi. Hasil akhir optimasi model ditunjukkan pada **Gambar 4.8**.

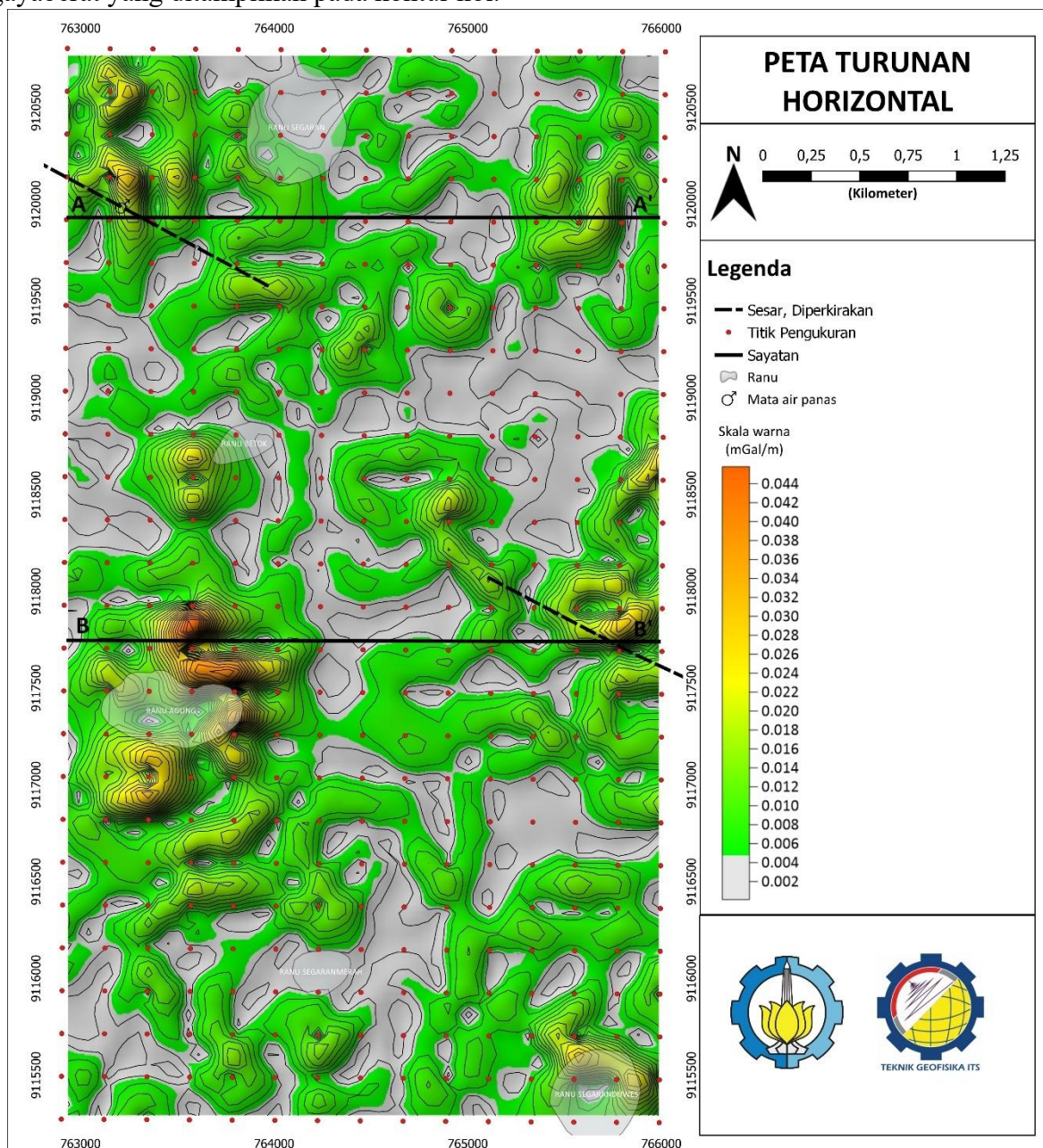


Gambar 4.8 Hasil komputasi dasar a) data pengukuran b) data perhitungan c) perbedaan data hasil perhitungan dengan data hasil pengukuran dan d) kurva perbandingan

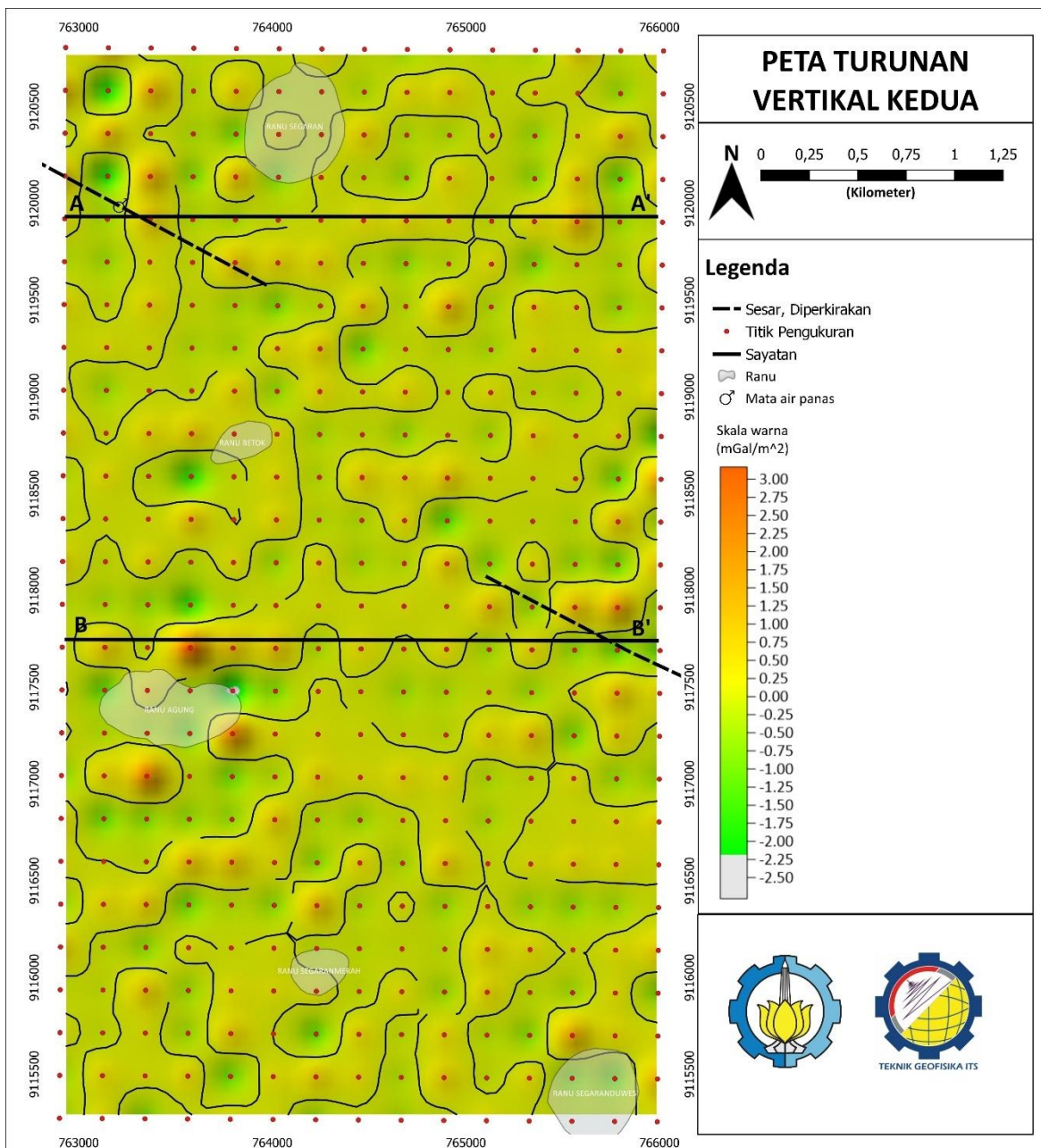
4.2 Pembahasan

Metode gayaberat merupakan salah satu metode geofisika yang dapat diterapkan dalam penyelidikan sumber daya di suatu wilayah panas bumi. Metode gayaberat dapat digunakan

untuk memetakan arah, lokasi, dan geometri struktur bawah permukaan (Omollo & Nishijima, 2023). Delineasi sesar dalam penelitian ini dianalisis dengan mengorelasikan peta geologi (**Gambar 2.1**) dengan hasil analisis turunan yang dilakukan terhadap data gayaberat satelit. Analisis turunan yang digunakan dalam mengidentifikasi sumber-sumber dangkal untuk menyoroti anomali yang berkaitan dengan struktur seperti sesar adalah turunan horizontal dan turunan vertikal kedua. Analisis ini meningkatkan keberadaan zona sesar karena adanya kontras yang mencolok pada nilai anomali (Hofi et al., 2024). Dalam analisis turunan horizontal (**Gambar 4.9**), area yang menunjukkan nilai gayaberat yang tinggi (warna hijau) menandakan zona dengan kontras batuan yang signifikan. Sebaliknya, analisis turunan vertikal kedua (**Gambar 4.10**) digunakan untuk mengidentifikasi struktur sesar berdasarkan variasi anomali gayaberat yang ditampilkan pada kontur nol.



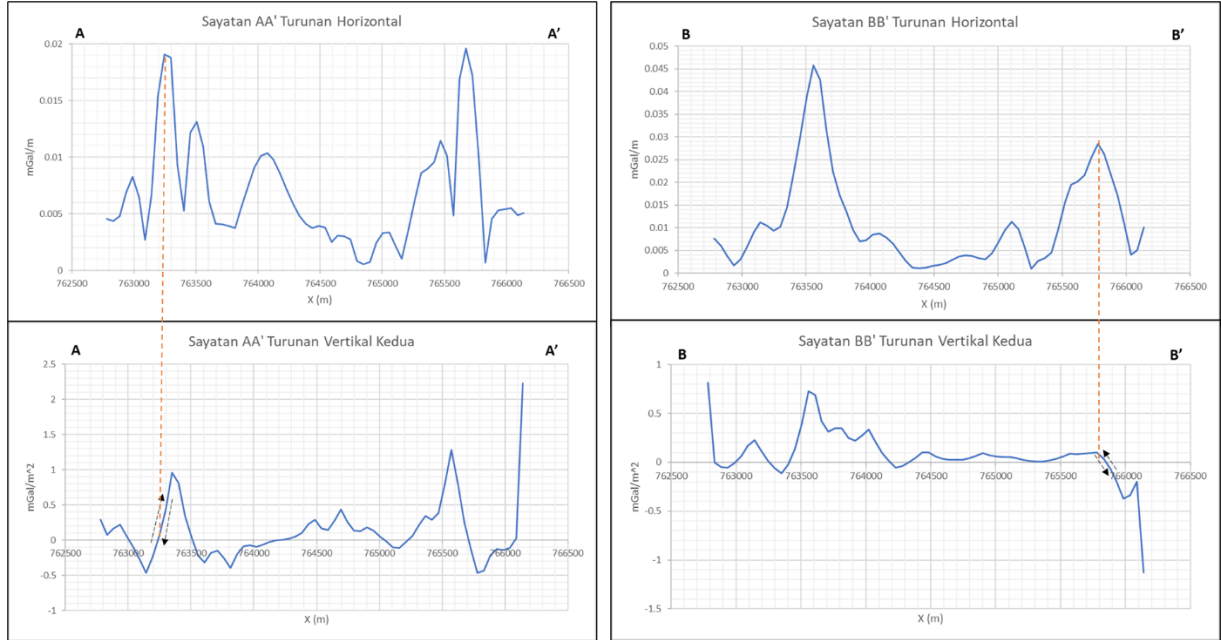
Gambar 4. 9 Peta turunan horizontal dengan sayatan melintang barat timur AA', BB'



Gambar 4. 10 Peta turunan vertikal kedua dengan sayatan melintang barat timur AA', BB'

Interpretasi terhadap anomali residual dilakukan dengan membandingkan nilai puncak pada turunan horizontal dan pola kontras pada turunan vertikal kedua untuk menggambarkan geometri struktur sesar. Pada peta turunan gayaberat satelit, dua struktur sesar pada peta geologi (**Gambar 2.1**) berhasil diidentifikasi keberadaannya. Kedua sesar memiliki orientasi barat laut-tenggara (Carn, 2000; Carn & Pyle, 2001; Nugroho et al., 2020; Siombone, Susilo & Maryanto, 2022). Arah orientasi kedua sesar sesuai dengan penarikan kelurusaan (**Gambar 4.2**) yang dimana diperoleh arah tegasan utama berada pada arah dominan 135° SE (*southeast*) atau 315° NW (*northwest*). Hasil penarikan yang dilakukan pada penelitian ini, sesuai dengan penelitian yang dilakukan sebelumnya oleh Nugroho et al., 2020; Siombone, Susilo & Maryanto, 2022 yaitu berarah barat laut – tenggara.

Penampang melintang (A-A' dan B-B') dilakukan untuk memperkuat keberadaan kedua sesar. Prosedur penarikan garis batas disesuaikan dengan inversi pada perangkat lunak *grablox* 1.6, yang menghasilkan model densitas yang hanya memiliki perpotongan dua arah saja sehingga arah penampang yang dianalisis mengikuti arah sayatan pada perangkat lunak. Pemetaan garis batas turunan horizontal (**Gambar 4.9**) dan turunan vertical kedua (**Gambar 4.10**) mengasilkan dua representasi kurva yang mendukung keberadaan struktur sesar tersebut yang dijelaskan dalam **Gambar 4.11**.

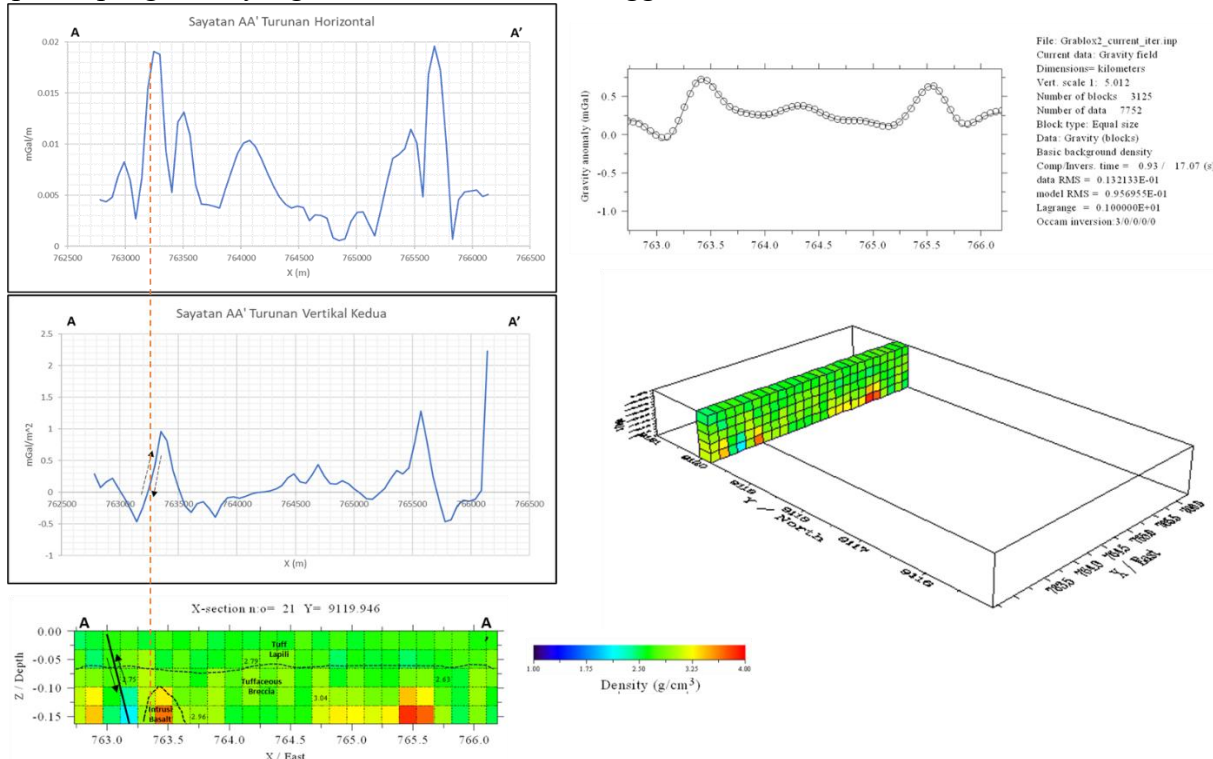


Gambar 4. 11 Kurva sayatan A-A' dan B-B' pada data gayaberat satelit

Kurva hasil sayatan yang memotong kedua sesar (**Gambar 4.11**) menunjukkan bahwa kurva horizontal akan mencapai nilai maksimum, dan kurva turunan vertikal kedua turun hingga nol ketika melintasi batas kontas densitas yang signifikan. Kedua kurva hasil sayatan tersebut berkorelasi dengan keberadaan kedua sesar. Pada sayatan A-A' nilai turunan horizontal tinggi dan turunan vertikal kedua bernilai nol berpotongan dengan sesar yang berada di barat laut area penelitian pada koordinat x dan y (763246,83 ; 9119946). Berdasarkan persamaan 2.16, sesar tersebut merupakan sesar normal, dikarenakan nilai turunan vertikal kedua maksimum nya lebih besar dibandingkan dengan nilai turunan vertikal kedua minimum. Pada sayatan B-B' nilai turunan horizontal tinggi dan turunan vertikal kedua bernilai nol berpotongan dengan sesar yang berada di timur area penelitian pada koordinat x dan y (764951,51 ; 9117788). Jenis sesar tersebut merupakan sesar naik, dikarenakan nilai turunan vertikal kedua maksimum nya lebih kecil dibandingkan dengan nilai turunan vertikal kedua minimum nya. Keberadaan sesar turun pada area barat laut area penelitian dikonfirmasi oleh penelitian sebelumnya (Siombone, Maryanto & Wiyono, 2021; Ulumuddin et al., 2024).

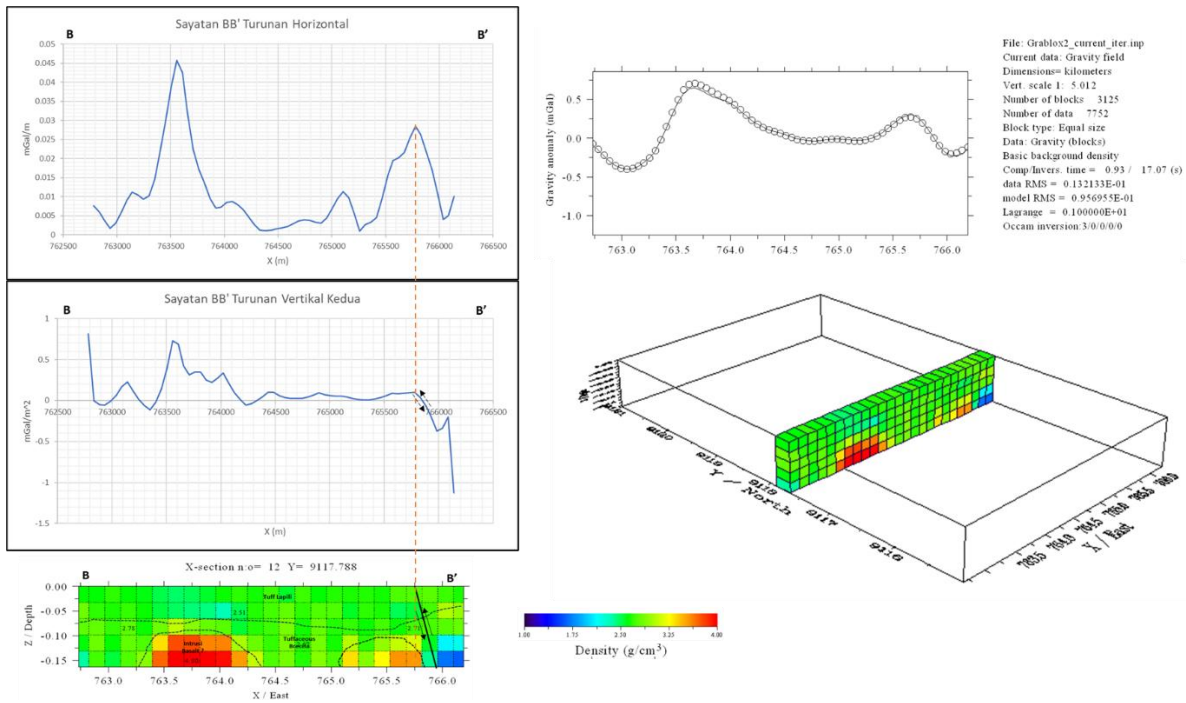
Berdasarkan keberadaan kedua sesar, maka dibuat model 3 dimensi struktur bawah permukaan menggunakan data anomali Bouguer residual. Model 3 dimensi diperoleh melalui hasil inversi, terutama pada area yang menjadi dugaan sesar. Proses inversi pada perangkat lunak *grablox* 1.6, menghasilkan model densitas yang hanya memiliki perpotongan dua arah saja sehingga arah penampang yang dianalisis mengikuti arah sayatan pada perangkat lunak. Model awal yang telah dibuat membagi sumbu x, y dan z masing-masing menjadi 25, 25 dan 5 blok, sehingga model akhir yang dihasilkan memuat penampang sayatan 2 dimensi masing-

masing 25 sayatan sumbu x, 25 sayatan sumbu y dan 5 sayatan sumbu z. Total penampang 2 dimensi yang dihasilkan sebanyak 55 penampang. Akan tetapi, tidak semua penampang diinterpretasi, melainkan hanya beberapa saja yang dianggap dapat mewakili kondisi bawah permukaan daerah penelitian. Penampang 2 dimensi yang diinterpretasi disesuaikan dengan sayatan yang dilakukan sebelumnya pada peta turunan horizontal dan turunan vertikal kedua. Penampang tersebut kemudian dikorelasikan dengan kurva turunan horizontal dan turunan vertikal kedua untuk memperjelas visualisasi target sesar. **Gambar 4.12** merupakan penampang A-A' yang memiliki kedalaman hingga 150 meter.



Gambar 4.12 Model bawah permukaan dari sayatan A-A'

Interpretasi model yang dihasilkan diduga sebagai batuan tuff lapilli yang memiliki rentang densitas $2,50 - 2,87 \text{ g/cm}^3$, *tuffaceous breccia* yang memiliki rentang densitas $2,90 - 3,25 \text{ g/cm}^3$, dan batuan intrusi basalt berada pada rentang densitas $3,62 - 4,00 \text{ g/cm}^3$. Klasifikasi batuan tersebut disesuaikan dengan penelitian yang dilakukan oleh Siombone, Maryanto and Wiyono, 2021; Ulumuddin et al., 2024 (**Gambar 2.4** dan **Gambar 2.6**). Keberadaan sesar berada pada kontras anomali yang memiliki densitas rendah dan anomali yang memiliki densitas tinggi. Keberadaan sesar tersebut sesuai dengan batas kontak sesar yang ditunjukkan oleh kurva turunan horizontal maksimum dan kurva turunan vertikal kedua. **Gambar 4.13** merupakan penampang B-B' yang memiliki kedalaman hingga 150 meter.



Gambar 4. 13 Model bawah permukaan dari sayatan B-B'

Interpretasi yang sama dilakukan pada penampang B-B' dimana model yang dihasilkan diduga sebagai batuan tuff lapilli yang memiliki rentang densitas $2,50 - 2,87 \text{ g/cm}^3$, *tuffaceous breccia* yang memiliki rentang densitas $2,90 - 3,25 \text{ g/cm}^3$, dan batuan intrusi basalt berada pada rentang densitas $3,62 - 4,00 \text{ g/cm}^3$. Keberadaan sesar berada pada kontas anomali yang memiliki densitas rendah dan anomali yang memiliki densitas tinggi. Keberadaan sesar tersebut sesuai dengan batas kontak sesar yang ditunjukkan oleh kurva turunan horizontal maksimum dan kurva turunan vertikal kedua.

BAB 5 PENUTUP

5.1 Kesimpulan

Berdasarkan hasil analisis metode gayaberat yang dilakukan pada Lereng Timur Gunung Lamongan, dapat disimpulkan bahwa :

1. Analisis gayaberat satelit menunjukkan keberadaan struktur sesar bawah permukaan di area timur Gunung Lamongan. Kontras antara anomali tinggi dan anomali rendah yang terdapat dalam peta residual menggambarkan keberadaan kedua sesar. Analisis turunan horizontal dan turunan vertikal kedua mengkonfirmasi struktur sesar ini berupa sesar normal yang berada di barat laut area penelitian dan sesar naik yang berada di timur area penelitian. Analisis kelurusan menunjukkan bahwa orientasi kedua sesar didominasi oleh arah barat laut – Tenggara.
2. Pemodelan 3 dimensi menunjukkan pola anomali yang konsisten, dimana diduga adanya 3 jenis batuan bawah permukaan : tuff lapilli, tuffaceous *breccia*, dan intrusi basalt. Penentuan ini didasarkan pada perbandingan dengan penelitian sebelumnya yang pernah dilakukan.

5.2 Saran

Melalui hasil analisis dan interpretasi pada penelitian ini, proses dan hasil dapat dikembangkan lebih komprehensif untuk lebih mendetailkan kondisi aktual lapangan. Oleh karena itu, penulis menyarankan dalam penelitian berikutnya:

1. Melakukan pemetaan geologi secara mendetail pada seluruh area penelitian terutama analisa secara komprehensif terhadap keberadaan struktur, dan melakukan analisa terhadap sampel batuan untuk mengetahui litologi dan densitas batuan.
2. Melakukan pemodelan bawah permukaan pada area struktur dalam mendetailkan kondisi aktualnya dengan metode geofisika dengan penetrasi kedalaman dan resolusi yang baik.

DAFTAR PUSTAKA

- Aziz, K.N., Hartantyo, E. and Niasari, S.W. (2018) 'The Study of Fault Lineament Pattern of the Lamongan Volcanic Field Using Gravity Data', *Journal of Physics: Conference Series*, 1011(1). Available at: <https://doi.org/10.1088/1742-6596/1011/1/012025>.
- Blakely, R. J. (1996). *Potential theory in gravity and magnetic applications*. Cambridge university press.
- Burger, H. R., Sheehan, A. F., & Jones, C. H. (2023). *Introduction to Applied Geophysics: Exploring the Shallow Subsurface*. Cambridge: Cambridge University Press.
- Carn, S.A. (1999) 'Application of synthetic aperture radar (SAR) imagery to volcano mapping in the humid tropics: A case study in East Java, Indonesia', *Bulletin of Volcanology*, 61(1–2), pp. 92–105. Available at: <https://doi.org/10.1007/s004450050265>.
- Carn, S.A. (2000) 'The Lamongan volcanic field, East Java, Indonesia: Physical volcanology, historic activity and hazards', *Journal of Volcanology and Geothermal Research*, 95(1–4), pp. 81–108. Available at: [https://doi.org/10.1016/S0377-0273\(99\)00114-6](https://doi.org/10.1016/S0377-0273(99)00114-6).
- Carn, S.A. and Pyle, D.M. (2001) 'Petrology and geochemistry of the Lamongan volcanic field, East Java, Indonesia: Primitive Sunda arc magmas in an extensional tectonic setting?', *Journal of Petrology*, 42(9), pp. 1643–1683. Available at: <https://doi.org/10.1093/petrology/42.9.1643>.
- Chaussard, E. and Amelung, F. (2012) 'Precursory inflation of shallow magma reservoirs at west Sunda volcanoes detected by InSAR', *Geophysical Research Letters*, 39(21), pp. 6–11. Available at: <https://doi.org/10.1029/2012GL053817>.
- Deer, W.A., Howie, R.A. and Zussman, J. (2013) *An Introduction to the Rock-Forming Minerals, An Introduction to the Rock-Forming Minerals*. Available at: <https://doi.org/10.1180/dhz>.
- Dentith, M. and Mudge, S. (2014) *Geophysics for the mineral exploration geoscientist, AusIMM Bulletin*. Available at: <https://doi.org/10.1017/cbo9781139024358>.
- Deon, F., Förster, H. J., Brehme, M., Wiegand, B., Scheytt, T., Moeck, & Putriatni, D. J. (2015). Geochemical/hydrochemical evaluation of the geothermal potential of the Lamongan volcanic field (Eastern Java, Indonesia). *Geothermal Energy*, 3(1), 20.
- Fabio, A., Parinus, F., Leni, F., Hadi, A. I., & Zakariya, H. (2023). *Identification of the Manna Segment Sumatran Fault Using GGMplus Gravity Anomaly Data with the Second Vertical Derivative (SVD) Method*. 15(2), 123–136.
- Fitriani, D. S., Nur, S., Putri, A., & Putrajy, I. F. (2020). *Sesar Weluki Dengan Analisis First Horizontal Derivative Dan Second*. IX, 53–60.
- Gurusisinga, M. A., Ohba, T., Harijoko, A., & Hoshide, T. (2023). Characteristics of ash particles from the maar complex of Lamongan Volcanic Field (LVF), East Java, Indonesia: How textural features and magma composition control ash morphology. *Volcanica*, 6(2), 415–436. <https://doi.org/10.30909/vol.06.02.415436>

- Hinze, W.J., von Frese, R.R.B. and Saad, A.H. (2013) *Gravity and Magnetic Exploration: Principles, Practices and Exploration*.
- Hirt, C., Claessens, S., Fecher, T., Kuhn, M., Pail, R., & Rexer, M. (2012). *New ultra-high resolution picture of Earth's gravity field. Section 2*. <https://doi.org/10.1002/grl.50838>.
- Hofi, L. N., Maryanto, S., Susilo, A., Andinisari, R., & Wuryani, S. D. (2024). Fault Detection and Subsurface Model Based on Gravity Data in Pronojiwo, Lumajang, Indonesia. *Evergreen*, 11(3), 1666–1675. <https://doi.org/10.5109/7236820>
- Ilham, N., & Niasari, S. W. (2018). Identification the Geothermal System Using 1-D Audio magnetotelluric Inversion in Lamongan Volcano Field, East Java, Indonesia. *Journal of Physics: Conference Series*, 1011(1).
- Indrarini, F. and Setiawan, A. (2015) ‘Pemodelan Struktur Bawah Permukaan 3D Purwokerto dan Sekitarnya Berdasarkan Data Anomali Gravitasi Bouguer Lengkap’, 19(57), pp. 6–12.
- Nahli, K., Mulyana, F., Tsani, G. E., Alwan, M. A., Darojat, M. H., & Hendrawan, R. N. (2016). Identifying Non-Volcanic Geothermal Potential in Amohola, Southeast Sulawesi Province, by Applying the Fault and Fracture Density (FFD) Method. *IOP Conference Series: Earth and Environmental Science*, 42(1). <https://doi.org/10.1088/1755-1315/42/1/012015>
- Nugroho, A. R. B., Sukiyah, E., Syafri, I., & Isnaniawardhani, V. (2020). Identification of tectonic deformation using morphometrical analysis of lamongan volcano complex. *International Journal of GEOMATE*, 19(71), 55–60. <https://doi.org/10.21660/2020.71.18490>
- Omollo, P. and Nishijima, J. (2023) ‘Analysis and Interpretation of the gravity data to delineate subsurface structural geometry of the Olkaria geothermal reservoir, Kenya’, *Geothermics*, 110(January). Available at: <https://doi.org/10.1016/j.geothermics.2023.102663>.
- ParASNIS, D.S. (1951) ‘A study of rock density in the English Midlands.’, *Mon. Not. R. Astron. Soc. Geophys. Suppl.*, 6, pp. 252–271.
- Purnomo, B.J. and Pichler, T. (2014) ‘Geothermal systems on the island of Java, Indonesia’, *Journal of Volcanology and Geothermal Research*, 285, pp. 47–59. Available at: <https://doi.org/10.1016/j.jvolgeores.2014.08.004>.
- Puswanto, E., Farisan, A., Wibowo, D. A., Raharjo, P. D., Iqbal, P., Al'afif, M., & Fajar, M. H. M. (2022). Fault Bend Fold Related Thrust Fault Waturanda Formation as Representative of Tectonic Compression as an Asset Geological Heritage of GNKK, Indonesia. *2022 IEEE Asia-Pacific Conference on Geoscience, Electronics and Remote Sensing Technology: Understanding the Interaction of Land, Ocean, and Atmosphere: Smart City and Disaster Mitigation for Regional Resilience, AGERS 2022 - Proceeding*, December, 13–16. <https://doi.org/10.1109/AGERS56232.2022.10093295>
- Reynolds, J.M. (1997) *An introduction to applied and environmental geophysics, An introduction to applied and environmental geophysics*. Available at: <https://doi.org/10.1071/pvv2011n155other>.

- Rosid, M.S. and Siregar, H. (2017) ‘Determining fault structure using first horizontal derivative (FHD) and horizontal vertical diagonal maxima (HVDM) method: A comparative study’, *AIP Conference Proceedings*, 1862. Available at: <https://doi.org/10.1063/1.4991275>.
- Safira, A., Andita, Z. A., & Karyanto, K. (2024). Identifikasi Struktur Geologi Daerah Panas Bumi Way Panas Kecamatan Wonosobo Menggunakan Analisis First Horizontal Derivative dan Second Vertical Derivative Berdasarkan data Gaya Berat GGMPLUS. *Jurnal Pendidikan, Sains, Geologi, dan Geofisika (GeoScienceEd Journal)*, 5(1), 28-35.
- Siombone, S.H., Maryanto, S. and Wiyono, . (2021) ‘Bouguer Anomaly of Geothermal Reservoir at Tiris Area, Probolinggo, East Java, Indonesia’, *Journal of Geography, Environment and Earth Science International*, (January 2021), pp. 1–18. Available at: <https://doi.org/10.9734/jgeesi/2021/v25i930304>.
- Siombone, S.H., Susilo, A. and Maryanto, S. (2022) ‘Integration of Topex Satellite Gravity and DEM SRTM Imagery for Subsurface Structure Identification at Tiris Geothermal Area, Lamongan Volcano Complex, Probolinggo, East Java’, *Positron*, 12(2), p. 98. Available at: <https://doi.org/10.26418/positron.v12i2.56880>.
- Sudrajad, B., Sutarman, T., Sinaga, E. S., & Ngaderman, H. (2024). Identifikasi Patahan Seismo-Tektonik Jayapura Berdasarkan Pemodelan Inversi 3D Data Gravitasi. *JGE (Jurnal Geofisika Eksplorasi)*, 10(1), 47-64.
- Suharsono & Suwarti, T. (1992). Peta Geologi Lembar Probolinggo, Jawa. Pusat Penelitian dan Pengembangan Geologi.
- Telford, W.M., Geldart, L.P. and Sheriff, R.E. (1990) *Applied Geophysics: Second Edition, Cambridge University Press, Melbourne*.
- Ulumuddin, F., Fajar, M. H. M., Warnana, D. D., Rafi, M. E. D., & Rahayu, H. K. (2024). Geological Structure Identification in Geothermal Manifestation of Lamongan Volcano Complex: A Magnetic Data Analysis Approach. *Geoloski Analni Balkanskoga Poluostrva*, 85(2), 65–78. <https://doi.org/10.2298/GABP240321013U>
- White, D.E. and Brannock, W.W. (1950) ‘The sources of heat and water supply of thermal springs, with particular reference to Steamboat Springs, Nevada’, *Eos, Transactions American Geophysical Union*, 31(4), pp. 566–574. Available at: <https://doi.org/10.1029/TR031i004p00566>.

LAMPIRAN

Data Anomali Bouguer Lengkap Satelit

| Easting (m) | Northing (m) | Elevasi (m) | CBA (mGal) |
|-------------|--------------|-------------|-------------|
| 762678.6021 | 9115052.224 | 466 | 110.6744405 |
| 762899.1857 | 9115050.946 | 482 | 114.7222743 |
| 763119.7697 | 9115049.667 | 470 | 110.0514024 |
| 763340.354 | 9115048.387 | 522 | 111.9716974 |
| 763560.9386 | 9115047.106 | 541 | 112.5920926 |
| 763781.5235 | 9115045.823 | 531 | 111.0297875 |
| 764002.1087 | 9115044.54 | 503 | 112.1812519 |
| 764222.6943 | 9115043.256 | 453 | 112.3192999 |
| 764443.2801 | 9115041.97 | 419 | 112.7149666 |
| 764663.8663 | 9115040.684 | 459 | 113.1747532 |
| 764884.4528 | 9115039.396 | 475 | 113.1926033 |
| 765105.0396 | 9115038.107 | 487 | 113.4034682 |
| 765325.6266 | 9115036.817 | 516 | 114.2663021 |
| 765546.2141 | 9115035.527 | 531 | 113.0297892 |
| 765766.8018 | 9115034.235 | 568 | 114.7962521 |
| 765987.3898 | 9115032.942 | 569 | 113.7204781 |
| 766207.9782 | 9115031.648 | 578 | 116.3885071 |
| 762679.8834 | 9115273.512 | 484 | 111.5689252 |
| 762900.4681 | 9115272.234 | 480 | 110.1019714 |
| 763121.0532 | 9115270.956 | 490 | 111.2443516 |
| 763341.6386 | 9115269.676 | 506 | 109.32213 |
| 763562.2243 | 9115268.395 | 526 | 111.1368011 |
| 763782.8102 | 9115267.113 | 501 | 111.7009549 |
| 764003.3966 | 9115265.83 | 492 | 112.1528277 |
| 764223.9832 | 9115264.546 | 452 | 111.2632317 |
| 764444.5701 | 9115263.261 | 419 | 112.3631412 |
| 764665.1573 | 9115261.975 | 453 | 112.0274744 |
| 764885.7449 | 9115260.687 | 499 | 113.3424849 |
| 765106.3327 | 9115259.399 | 493 | 114.3070663 |
| 765326.9209 | 9115258.11 | 513 | 113.1117748 |
| 765547.5094 | 9115256.819 | 501 | 111.5009566 |
| 765768.0982 | 9115255.527 | 503 | 112.2894278 |
| 765988.6873 | 9115254.235 | 556 | 114.9237029 |
| 766209.2768 | 9115252.941 | 541 | 113.7302716 |
| 762681.1644 | 9115494.8 | 495 | 110.1137061 |
| 762901.7502 | 9115493.523 | 486 | 109.0655711 |
| 763122.3364 | 9115492.245 | 479 | 111.4759024 |
| 763342.9228 | 9115490.965 | 482 | 111.2586184 |
| 763563.5096 | 9115489.685 | 494 | 111.6694712 |
| 763784.0967 | 9115488.403 | 510 | 109.4772402 |

| | | | |
|-------------|-------------|-----|-------------|
| 764004.684 | 9115487.12 | 489 | 112.4182858 |
| 764225.2717 | 9115485.837 | 468 | 113.8292677 |
| 764445.8597 | 9115484.552 | 439 | 113.4862334 |
| 764666.4481 | 9115483.266 | 440 | 112.7204779 |
| 764887.0367 | 9115481.979 | 464 | 115.1823063 |
| 765107.6256 | 9115480.691 | 493 | 113.4952361 |
| 765328.2149 | 9115479.402 | 532 | 113.2603641 |
| 765548.8045 | 9115478.111 | 502 | 110.563362 |
| 765769.3943 | 9115476.82 | 502 | 110.983362 |
| 765989.9845 | 9115475.528 | 519 | 117.3253475 |
| 766210.575 | 9115474.234 | 502 | 114.5233637 |
| 762682.4451 | 9115716.089 | 537 | 109.5496802 |
| 762903.032 | 9115714.812 | 513 | 110.1981063 |
| 763123.6192 | 9115713.534 | 484 | 110.7052604 |
| 763344.2068 | 9115712.254 | 487 | 111.6079743 |
| 763564.7946 | 9115710.974 | 483 | 110.5010239 |
| 763785.3827 | 9115709.693 | 521 | 113.2819752 |
| 764005.9712 | 9115708.41 | 501 | 112.24729 |
| 764226.56 | 9115707.127 | 494 | 110.3276365 |
| 764447.1491 | 9115705.842 | 458 | 113.5150213 |
| 764667.7385 | 9115704.557 | 498 | 113.0545822 |
| 764888.3282 | 9115703.27 | 489 | 114.4164528 |
| 765108.9182 | 9115701.982 | 471 | 112.9201556 |
| 765329.5085 | 9115700.694 | 467 | 112.0231943 |
| 765550.0992 | 9115699.404 | 503 | 117.0157628 |
| 765770.6901 | 9115698.113 | 495 | 115.5818748 |
| 765991.2814 | 9115696.821 | 521 | 115.5219786 |
| 766211.873 | 9115695.527 | 536 | 115.0054547 |
| 762683.7255 | 9115937.377 | 543 | 109.4932213 |
| 762904.3135 | 9115936.1 | 512 | 110.0320331 |
| 763124.9018 | 9115934.822 | 498 | 110.7027414 |
| 763345.4904 | 9115933.543 | 504 | 112.6781556 |
| 763566.0793 | 9115932.264 | 489 | 110.3146121 |
| 763786.6685 | 9115930.983 | 514 | 112.6905027 |
| 764007.258 | 9115929.7 | 539 | 112.9163033 |
| 764227.8479 | 9115928.417 | 494 | 112.5157974 |
| 764448.4381 | 9115927.133 | 494 | 112.0857974 |
| 764669.0285 | 9115925.848 | 509 | 112.9093318 |
| 764889.6193 | 9115924.561 | 506 | 112.2066292 |
| 765110.2104 | 9115923.274 | 511 | 114.6778023 |
| 765330.8018 | 9115921.985 | 513 | 113.4662705 |
| 765551.3936 | 9115920.696 | 522 | 113.7343704 |
| 765771.9856 | 9115919.405 | 535 | 115.3493829 |
| 765992.5779 | 9115918.113 | 540 | 113.4405368 |

| | | | |
|-------------|-------------|-----|-------------|
| 766213.1706 | 9115916.821 | 557 | 114.4024272 |
| 762685.0056 | 9116158.665 | 557 | 108.9405782 |
| 762905.5946 | 9116157.389 | 541 | 111.5729179 |
| 763126.184 | 9116156.111 | 516 | 110.6871248 |
| 763346.7737 | 9116154.833 | 519 | 109.6298247 |
| 763567.3637 | 9116153.553 | 512 | 110.9201912 |
| 763787.954 | 9116152.272 | 500 | 111.5793715 |
| 764008.5446 | 9116150.991 | 530 | 112.5663817 |
| 764229.1355 | 9116149.708 | 496 | 112.262427 |
| 764449.7267 | 9116148.424 | 501 | 111.7836073 |
| 764670.3183 | 9116147.139 | 518 | 111.7855932 |
| 764890.9102 | 9116145.853 | 536 | 112.2517699 |
| 765111.5023 | 9116144.566 | 523 | 114.7867593 |
| 765332.0948 | 9116143.277 | 530 | 114.2763834 |
| 765552.6876 | 9116141.988 | 541 | 113.4229213 |
| 765773.2807 | 9116140.698 | 541 | 114.7929213 |
| 765993.8742 | 9116139.406 | 541 | 116.122923 |
| 766214.4679 | 9116138.114 | 535 | 113.7375409 |
| 762686.2853 | 9116379.953 | 554 | 109.5360465 |
| 762906.8754 | 9116378.677 | 543 | 109.2895293 |
| 763127.4659 | 9116377.4 | 547 | 111.6264466 |
| 763348.0566 | 9116376.122 | 551 | 112.2833617 |
| 763568.6477 | 9116374.842 | 528 | 109.3060703 |
| 763789.2391 | 9116373.562 | 514 | 111.1968111 |
| 764009.8308 | 9116372.281 | 544 | 111.3437605 |
| 764230.4228 | 9116370.998 | 563 | 114.8940947 |
| 764451.0151 | 9116369.714 | 528 | 111.8460703 |
| 764671.6077 | 9116368.43 | 488 | 112.1166849 |
| 764892.2007 | 9116367.144 | 491 | 111.5893969 |
| 765112.7939 | 9116365.857 | 525 | 113.193376 |
| 765333.3875 | 9116364.569 | 517 | 112.0095135 |
| 765553.9814 | 9116363.28 | 515 | 111.7210465 |
| 765774.5756 | 9116361.99 | 529 | 113.0303037 |
| 765995.1701 | 9116360.699 | 540 | 114.6368448 |
| 766215.7649 | 9116359.407 | 553 | 114.6518234 |
| 762687.5647 | 9116601.241 | 558 | 109.7811047 |
| 762908.1559 | 9116599.966 | 551 | 110.071509 |
| 763128.7475 | 9116598.689 | 545 | 109.8561356 |
| 763349.3393 | 9116597.411 | 542 | 110.4034486 |
| 763569.9314 | 9116596.132 | 551 | 113.5415107 |
| 763790.5239 | 9116594.852 | 551 | 114.7415107 |
| 764011.1167 | 9116593.571 | 565 | 113.5006951 |
| 764231.7097 | 9116592.288 | 536 | 111.4780674 |
| 764452.3031 | 9116591.005 | 507 | 112.9153184 |

| | | | |
|-------------|-------------|-----|-------------|
| 764672.8968 | 9116589.721 | 470 | 112.0085332 |
| 764893.4909 | 9116588.435 | 477 | 114.5282107 |
| 765114.0852 | 9116587.149 | 531 | 113.3369141 |
| 765334.6798 | 9116585.861 | 533 | 113.7453766 |
| 765555.2748 | 9116584.573 | 535 | 114.8038384 |
| 765775.8701 | 9116583.283 | 549 | 115.4030552 |
| 765996.4656 | 9116581.992 | 564 | 115.196472 |
| 766217.0615 | 9116580.7 | 582 | 113.3025273 |
| 762688.8438 | 9116822.53 | 567 | 109.7772888 |
| 762909.4361 | 9116821.254 | 561 | 109.9619293 |
| 763130.0287 | 9116819.978 | 557 | 107.46502 |
| 763350.6216 | 9116818.7 | 555 | 108.9165663 |
| 763571.2149 | 9116817.421 | 530 | 109.480824 |
| 763791.8084 | 9116816.141 | 521 | 110.3927347 |
| 764012.4022 | 9116814.861 | 549 | 114.0111963 |
| 764232.9964 | 9116813.579 | 507 | 112.1234615 |
| 764453.5909 | 9116812.296 | 510 | 111.6261653 |
| 764674.1856 | 9116811.012 | 474 | 113.0236359 |
| 764894.7807 | 9116809.727 | 471 | 113.9909166 |
| 765115.3761 | 9116808.44 | 530 | 112.7808257 |
| 765335.9719 | 9116807.153 | 535 | 113.8319814 |
| 765556.5679 | 9116805.865 | 544 | 114.7900525 |
| 765777.1642 | 9116804.575 | 561 | 115.1619327 |
| 765997.7609 | 9116803.285 | 583 | 115.9648939 |
| 766218.3579 | 9116801.993 | 565 | 117.7088413 |
| 762690.1226 | 9117043.818 | 611 | 110.6912381 |
| 762910.716 | 9117042.542 | 578 | 107.6019061 |
| 763131.3097 | 9117041.266 | 593 | 110.9452583 |
| 763351.9036 | 9117039.989 | 593 | 115.80526 |
| 763572.4979 | 9117038.711 | 563 | 110.1585231 |
| 763793.0926 | 9117037.431 | 539 | 108.8770401 |
| 764013.6875 | 9117036.151 | 538 | 111.6628099 |
| 764234.2827 | 9117034.869 | 531 | 114.193194 |
| 764454.8783 | 9117033.586 | 526 | 113.6520355 |
| 764675.4741 | 9117032.303 | 524 | 114.3335728 |
| 764896.0703 | 9117031.018 | 529 | 114.1147327 |
| 765116.6668 | 9117029.732 | 541 | 113.0155019 |
| 765337.2636 | 9117028.445 | 538 | 113.7128116 |
| 765557.8607 | 9117027.157 | 534 | 114.1658891 |
| 765778.4581 | 9117025.868 | 555 | 112.7747064 |
| 765999.0558 | 9117024.578 | 574 | 112.5850118 |
| 766219.6539 | 9117023.287 | 526 | 110.7720389 |
| 762691.4011 | 9117265.106 | 613 | 107.4678111 |
| 762911.9955 | 9117263.831 | 599 | 107.6987238 |

| | | | |
|-------------|-------------|-----|-------------|
| 763132.5903 | 9117262.555 | 581 | 107.922713 |
| 763353.1853 | 9117261.278 | 526 | 109.1201697 |
| 763573.7807 | 9117260 | 526 | 107.6501697 |
| 763794.3764 | 9117258.721 | 559 | 114.559749 |
| 764014.9724 | 9117257.441 | 563 | 112.1866571 |
| 764235.5687 | 9117256.159 | 542 | 113.1078641 |
| 764456.1653 | 9117254.877 | 538 | 113.060944 |
| 764676.7623 | 9117253.594 | 554 | 112.4286124 |
| 764897.3595 | 9117252.309 | 564 | 112.4808854 |
| 765117.9571 | 9117251.024 | 566 | 114.3493383 |
| 765338.5549 | 9117249.737 | 568 | 115.3177906 |
| 765559.1531 | 9117248.449 | 536 | 112.2224847 |
| 765779.7516 | 9117247.16 | 567 | 115.2435645 |
| 766000.3504 | 9117245.871 | 569 | 114.3820182 |
| 766220.9496 | 9117244.58 | 577 | 116.2358204 |
| 762692.6792 | 9117486.394 | 607 | 107.8506207 |
| 762913.2748 | 9117485.119 | 604 | 107.527959 |
| 763133.8706 | 9117483.844 | 573 | 105.5570448 |
| 763354.4667 | 9117482.567 | 526 | 110.1582994 |
| 763575.0632 | 9117481.289 | 527 | 109.5425314 |
| 763795.6599 | 9117480.01 | 525 | 105.7140673 |
| 764016.257 | 9117478.731 | 560 | 109.4621058 |
| 764236.8544 | 9117477.45 | 543 | 112.0602234 |
| 764457.4521 | 9117476.168 | 549 | 111.9655984 |
| 764678.0501 | 9117474.885 | 556 | 110.6551978 |
| 764898.6484 | 9117473.6 | 562 | 111.1605615 |
| 765119.2471 | 9117472.315 | 559 | 112.4078803 |
| 765339.846 | 9117471.029 | 557 | 112.1294254 |
| 765560.4453 | 9117469.741 | 556 | 113.6651978 |
| 765781.0448 | 9117468.453 | 557 | 116.5794254 |
| 766001.6447 | 9117467.163 | 547 | 116.0271441 |
| 766222.2449 | 9117465.873 | 548 | 115.651373 |
| 762693.9571 | 9117707.682 | 611 | 110.1256259 |
| 762914.5537 | 9117706.408 | 608 | 108.2729659 |
| 763135.1506 | 9117705.132 | 608 | 110.1729659 |
| 763355.7478 | 9117703.856 | 577 | 110.5320715 |
| 763576.3453 | 9117702.579 | 620 | 118.2735998 |
| 763796.9431 | 9117701.3 | 592 | 114.6354256 |
| 764017.5413 | 9117700.021 | 572 | 114.1809462 |
| 764238.1398 | 9117698.74 | 554 | 111.8048655 |
| 764458.7385 | 9117697.458 | 559 | 112.8060037 |
| 764679.3376 | 9117696.175 | 562 | 112.0786866 |
| 764899.937 | 9117694.892 | 562 | 112.8686866 |
| 765120.5367 | 9117693.607 | 553 | 112.1106391 |

| | | | |
|-------------|-------------|-----|-------------|
| 765341.1367 | 9117692.321 | 553 | 113.9306391 |
| 765561.7371 | 9117691.034 | 532 | 113.0118161 |
| 765782.3377 | 9117689.745 | 517 | 112.5383321 |
| 766002.9387 | 9117688.456 | 523 | 112.1337313 |
| 766223.54 | 9117687.166 | 552 | 116.4464126 |
| 762695.2346 | 9117928.97 | 593 | 108.3077669 |
| 762915.8322 | 9117927.696 | 592 | 108.1435444 |
| 763136.4302 | 9117926.421 | 584 | 107.6797596 |
| 763357.0285 | 9117925.145 | 592 | 107.6935461 |
| 763577.6271 | 9117923.868 | 576 | 107.3659673 |
| 763798.226 | 9117922.59 | 553 | 111.3787581 |
| 764018.8253 | 9117921.31 | 546 | 112.3491576 |
| 764239.4248 | 9117920.03 | 557 | 112.3856695 |
| 764460.0246 | 9117918.749 | 552 | 112.3345299 |
| 764680.6248 | 9117917.466 | 551 | 112.8703032 |
| 764901.2253 | 9117916.183 | 554 | 113.4229879 |
| 765121.8261 | 9117914.898 | 557 | 114.8356712 |
| 765342.4272 | 9117913.612 | 520 | 112.8391524 |
| 765563.0286 | 9117912.326 | 537 | 117.301091 |
| 765783.6303 | 9117911.038 | 553 | 119.0087598 |
| 766004.2323 | 9117909.749 | 538 | 113.6853231 |
| 766224.8347 | 9117908.459 | 554 | 112.4029896 |
| 762696.5118 | 9118150.258 | 587 | 109.4205461 |
| 762917.1105 | 9118148.984 | 582 | 109.9094281 |
| 763137.7096 | 9118147.71 | 574 | 108.7256318 |
| 763358.3089 | 9118146.434 | 578 | 109.5625328 |
| 763578.9086 | 9118145.157 | 563 | 109.1191486 |
| 763799.5086 | 9118143.879 | 550 | 110.9241893 |
| 764020.1089 | 9118142.6 | 543 | 110.3245858 |
| 764240.7095 | 9118141.32 | 550 | 111.6941893 |
| 764461.3104 | 9118140.039 | 536 | 110.7349752 |
| 764681.9117 | 9118138.757 | 524 | 111.7741994 |
| 764902.5132 | 9118137.474 | 536 | 113.6749769 |
| 765123.1151 | 9118136.19 | 508 | 110.9764637 |
| 765343.7173 | 9118134.904 | 500 | 113.2725821 |
| 765564.3197 | 9118133.618 | 512 | 113.0934011 |
| 765784.9225 | 9118132.33 | 520 | 113.8372689 |
| 766005.5257 | 9118131.042 | 541 | 117.0861297 |
| 766226.1291 | 9118129.752 | 561 | 115.6806983 |
| 762697.7886 | 9118371.546 | 574 | 108.9537436 |
| 762918.3885 | 9118370.273 | 568 | 109.2483904 |
| 763138.9886 | 9118368.998 | 575 | 109.6379686 |
| 763359.589 | 9118367.723 | 578 | 109.8006446 |
| 763580.1898 | 9118366.446 | 579 | 111.424869 |

| | | | |
|-------------|-------------|-----|-------------|
| 763800.7909 | 9118365.169 | 566 | 110.7799398 |
| 764021.3922 | 9118363.89 | 568 | 112.0583921 |
| 764241.9939 | 9118362.611 | 555 | 111.0434423 |
| 764462.5959 | 9118361.33 | 544 | 111.3169272 |
| 764683.1982 | 9118360.048 | 533 | 112.9203964 |
| 764903.8008 | 9118358.765 | 500 | 109.9806942 |
| 765124.4038 | 9118357.481 | 507 | 111.8603412 |
| 765345.007 | 9118356.196 | 510 | 112.5030448 |
| 765565.6106 | 9118354.91 | 515 | 113.1142147 |
| 765786.2145 | 9118353.623 | 538 | 116.3415497 |
| 766006.8187 | 9118352.334 | 533 | 114.6703981 |
| 766227.4232 | 9118351.045 | 529 | 111.7234729 |
| 762699.0652 | 9118592.834 | 565 | 109.0138192 |
| 762919.6661 | 9118591.561 | 551 | 109.0446355 |
| 763140.2673 | 9118590.287 | 558 | 110.5442309 |
| 763360.8688 | 9118589.012 | 559 | 109.5484582 |
| 763581.4706 | 9118587.736 | 529 | 106.4015771 |
| 763802.0728 | 9118586.458 | 547 | 110.4177223 |
| 764022.6752 | 9118585.18 | 556 | 112.0957775 |
| 764243.278 | 9118583.901 | 548 | 111.2919513 |
| 764463.8811 | 9118582.62 | 552 | 113.6488655 |
| 764684.4845 | 9118581.339 | 551 | 114.1246372 |
| 764905.0881 | 9118580.056 | 522 | 114.8819541 |
| 765125.6922 | 9118578.772 | 537 | 113.3354269 |
| 765346.2965 | 9118577.488 | 538 | 113.4596573 |
| 765566.9011 | 9118576.202 | 540 | 113.7081176 |
| 765787.5061 | 9118574.915 | 548 | 112.891953 |
| 766008.1113 | 9118573.627 | 585 | 118.8983234 |
| 766228.7169 | 9118572.338 | 541 | 114.6823492 |
| 762700.3414 | 9118814.122 | 559 | 108.4165612 |
| 762920.9434 | 9118812.849 | 550 | 110.24851 |
| 763141.5457 | 9118811.576 | 538 | 110.157757 |
| 763362.1483 | 9118810.301 | 539 | 111.6619872 |
| 763582.7512 | 9118809.025 | 521 | 112.4458229 |
| 763803.3544 | 9118807.748 | 510 | 111.9392541 |
| 764023.9579 | 9118806.47 | 526 | 111.9669848 |
| 764244.5618 | 9118805.191 | 530 | 110.9839117 |
| 764465.1659 | 9118803.911 | 518 | 111.8931241 |
| 764685.7704 | 9118802.63 | 505 | 111.8180806 |
| 764906.3751 | 9118801.347 | 486 | 113.1975904 |
| 765126.9802 | 9118800.064 | 517 | 112.7888925 |
| 765347.5856 | 9118798.779 | 525 | 114.6427544 |
| 765568.1913 | 9118797.494 | 536 | 114.0792995 |
| 765788.7973 | 9118796.207 | 544 | 114.2731395 |

| | | | |
|-------------|-------------|-----|-------------|
| 766009.4037 | 9118794.92 | 543 | 111.9289117 |
| 766230.0103 | 9118793.631 | 559 | 116.4365663 |
| 762701.6174 | 9119035.41 | 555 | 108.3977496 |
| 762922.2204 | 9119034.138 | 547 | 109.5139223 |
| 763142.8238 | 9119032.864 | 529 | 109.0377773 |
| 763363.4274 | 9119031.59 | 522 | 110.8081527 |
| 763584.0314 | 9119030.314 | 522 | 111.3081544 |
| 763804.6357 | 9119029.038 | 525 | 112.5008515 |
| 764025.2403 | 9119027.76 | 527 | 110.7293155 |
| 764245.8452 | 9119026.481 | 525 | 112.5608515 |
| 764466.4504 | 9119025.201 | 510 | 111.9573529 |
| 764687.0559 | 9119023.92 | 484 | 112.9872118 |
| 764907.6618 | 9119022.638 | 489 | 112.8284021 |
| 765128.268 | 9119021.355 | 515 | 113.6285244 |
| 765348.8744 | 9119020.071 | 521 | 113.5239234 |
| 765569.4812 | 9119018.786 | 525 | 113.6908532 |
| 765790.0883 | 9119017.5 | 539 | 114.6800892 |
| 766010.6957 | 9119016.212 | 552 | 115.4050705 |
| 766231.3034 | 9119014.924 | 553 | 114.3592987 |
| 762702.893 | 9119256.698 | 551 | 109.6689313 |
| 762923.4971 | 9119255.426 | 544 | 109.8793289 |
| 763144.1015 | 9119254.153 | 530 | 110.610103 |
| 763364.7062 | 9119252.879 | 522 | 111.016247 |
| 763585.3113 | 9119251.603 | 520 | 110.1577832 |
| 763805.9167 | 9119250.327 | 526 | 110.0631779 |
| 764026.5223 | 9119249.05 | 518 | 111.9893172 |
| 764247.1283 | 9119247.771 | 523 | 113.4304812 |
| 764467.7346 | 9119246.492 | 495 | 110.1019163 |
| 764688.3412 | 9119245.211 | 492 | 112.1092063 |
| 764908.9481 | 9119243.929 | 510 | 112.745449 |
| 765129.5554 | 9119242.647 | 517 | 112.7150857 |
| 765350.1629 | 9119241.363 | 531 | 114.1943378 |
| 765570.7708 | 9119240.078 | 545 | 114.4135617 |
| 765791.3789 | 9119238.792 | 570 | 115.1892482 |
| 766011.9874 | 9119237.505 | 586 | 115.306842 |
| 766232.5962 | 9119236.217 | 576 | 113.2446013 |
| 762704.1683 | 9119477.986 | 539 | 108.4862699 |
| 762924.7734 | 9119476.714 | 545 | 110.301648 |
| 763145.3789 | 9119475.441 | 535 | 110.2793482 |
| 763365.9848 | 9119474.168 | 523 | 112.0985694 |
| 763586.5909 | 9119472.893 | 528 | 111.0897315 |
| 763807.1973 | 9119471.617 | 515 | 110.504707 |
| 764027.8041 | 9119470.339 | 487 | 110.38611 |
| 764248.4111 | 9119469.061 | 496 | 112.5442428 |

| | | | |
|-------------|-------------|-----|-------------|
| 764469.0185 | 9119467.782 | 526 | 113.7212678 |
| 764689.6262 | 9119466.502 | 532 | 112.4466572 |
| 764910.2341 | 9119465.22 | 518 | 115.6774088 |
| 765130.8425 | 9119463.938 | 519 | 113.1516419 |
| 765351.4511 | 9119462.655 | 532 | 114.3166589 |
| 765572.06 | 9119461.37 | 554 | 114.1197089 |
| 765792.6693 | 9119460.084 | 569 | 113.0531121 |
| 766013.2788 | 9119458.798 | 584 | 114.7564846 |
| 766233.8887 | 9119457.51 | 598 | 117.0656013 |
| 762705.4432 | 9119699.274 | 537 | 109.8358947 |
| 762926.0495 | 9119698.002 | 524 | 108.9508872 |
| 763146.6561 | 9119696.73 | 501 | 109.1235065 |
| 763367.2629 | 9119695.456 | 489 | 111.9926689 |
| 763587.8701 | 9119694.182 | 491 | 112.1611433 |
| 763808.4776 | 9119692.906 | 520 | 114.2439586 |
| 764029.0855 | 9119691.629 | 527 | 114.3435851 |
| 764249.6936 | 9119690.351 | 517 | 114.6012594 |
| 764470.302 | 9119689.073 | 527 | 112.7835851 |
| 764690.9108 | 9119687.793 | 527 | 111.5935851 |
| 764911.5198 | 9119686.512 | 520 | 113.0139603 |
| 765132.1292 | 9119685.229 | 499 | 113.8650385 |
| 765352.7389 | 9119683.946 | 501 | 112.2035099 |
| 765573.3489 | 9119682.662 | 517 | 114.0012611 |
| 765793.9592 | 9119681.377 | 530 | 113.5962817 |
| 766014.5699 | 9119680.09 | 566 | 116.0985193 |
| 766235.1808 | 9119678.803 | 525 | 114.0251245 |
| 762706.7179 | 9119920.562 | 526 | 109.3274325 |
| 762927.3252 | 9119919.291 | 520 | 109.932038 |
| 763147.9328 | 9119918.018 | 498 | 109.3188803 |
| 763368.5408 | 9119916.745 | 510 | 113.9897022 |
| 763589.1491 | 9119915.471 | 535 | 111.6655146 |
| 763809.7577 | 9119914.195 | 541 | 111.4308978 |
| 764030.3665 | 9119912.919 | 535 | 112.1855163 |
| 764250.9757 | 9119911.642 | 534 | 113.0012855 |
| 764471.5853 | 9119910.363 | 530 | 113.564361 |
| 764692.1951 | 9119909.083 | 543 | 113.6693572 |
| 764912.8052 | 9119907.803 | 535 | 113.5955163 |
| 765133.4157 | 9119906.521 | 529 | 113.2101312 |
| 765354.0264 | 9119905.238 | 519 | 114.9478085 |
| 765574.6375 | 9119903.954 | 537 | 117.7839791 |
| 765795.2489 | 9119902.669 | 510 | 113.6397056 |
| 766015.8606 | 9119901.383 | 509 | 114.7754713 |
| 766236.4726 | 9119900.096 | 544 | 116.7135901 |
| 762707.9922 | 9120141.85 | 524 | 110.4170449 |

| | | | |
|-------------|-------------|-----|-------------|
| 762928.6006 | 9120140.579 | 522 | 110.72858 |
| 763149.2093 | 9120139.307 | 482 | 107.1291622 |
| 763369.8184 | 9120138.034 | 502 | 114.6639 |
| 763590.4277 | 9120136.76 | 504 | 109.9523706 |
| 763811.0373 | 9120135.485 | 522 | 111.9985817 |
| 764031.6473 | 9120134.209 | 514 | 109.1647166 |
| 764252.2576 | 9120132.932 | 528 | 111.7039745 |
| 764472.8682 | 9120131.653 | 538 | 111.9462842 |
| 764693.4791 | 9120130.374 | 552 | 111.2554936 |
| 764914.0903 | 9120129.094 | 560 | 113.4493149 |
| 765134.7018 | 9120127.812 | 554 | 112.6339515 |
| 765355.3136 | 9120126.53 | 549 | 112.27281 |
| 765575.9258 | 9120125.246 | 546 | 116.1101234 |
| 765796.5383 | 9120123.961 | 540 | 112.8247462 |
| 766017.151 | 9120122.675 | 559 | 116.3250894 |
| 766237.7641 | 9120121.389 | 564 | 113.2362255 |
| 762709.2662 | 9120363.137 | 493 | 104.3238475 |
| 762929.8757 | 9120361.867 | 530 | 108.2705081 |
| 763150.4855 | 9120360.595 | 517 | 112.1254876 |
| 763371.0956 | 9120359.323 | 474 | 111.8233234 |
| 763591.706 | 9120358.049 | 522 | 109.9666522 |
| 763812.3167 | 9120356.774 | 519 | 108.2639539 |
| 764032.9278 | 9120355.499 | 514 | 110.6327889 |
| 764253.5391 | 9120354.222 | 515 | 111.1370225 |
| 764474.1508 | 9120352.944 | 547 | 112.8624227 |
| 764694.7627 | 9120351.665 | 547 | 111.2524227 |
| 764915.375 | 9120350.385 | 569 | 111.4154247 |
| 765135.9876 | 9120349.103 | 575 | 112.0307784 |
| 765356.6005 | 9120347.821 | 582 | 111.4503493 |
| 765577.2137 | 9120346.538 | 558 | 114.1989341 |
| 765797.8273 | 9120345.253 | 552 | 116.1535674 |
| 766018.4411 | 9120343.968 | 538 | 114.324358 |
| 766239.0553 | 9120342.682 | 542 | 115.3712796 |
| 762710.5399 | 9120584.425 | 497 | 103.3388612 |
| 762931.1505 | 9120583.155 | 528 | 110.0701127 |
| 763151.7613 | 9120581.884 | 481 | 106.9810642 |
| 763372.3725 | 9120580.612 | 487 | 113.8264924 |
| 763592.984 | 9120579.338 | 511 | 110.6481532 |
| 763813.5958 | 9120578.064 | 520 | 111.3662546 |
| 764034.2079 | 9120576.788 | 514 | 110.3608567 |
| 764254.8203 | 9120575.512 | 515 | 110.9750903 |
| 764475.433 | 9120574.234 | 538 | 110.792424 |
| 764696.0461 | 9120572.955 | 546 | 112.0562613 |
| 764916.6594 | 9120571.676 | 554 | 112.8400894 |

| | | | |
|-------------|-------------|-----|-------------|
| 765137.2731 | 9120570.395 | 557 | 111.9127726 |
| 765357.8871 | 9120569.113 | 579 | 112.5057444 |
| 765578.5014 | 9120567.83 | 593 | 113.4648708 |
| 765799.116 | 9120566.546 | 592 | 112.7106484 |
| 766019.7309 | 9120565.261 | 586 | 113.2353111 |
| 766240.3461 | 9120563.974 | 584 | 111.6868642 |
| 762711.8133 | 9120805.713 | 467 | 109.2597752 |
| 762932.4249 | 9120804.443 | 456 | 109.8831212 |
| 763153.0368 | 9120803.172 | 484 | 112.6318425 |
| 763373.6491 | 9120801.9 | 517 | 110.7216188 |
| 763594.2616 | 9120800.627 | 524 | 110.1412481 |
| 763814.8745 | 9120799.353 | 529 | 110.4524076 |
| 764035.4877 | 9120798.078 | 541 | 110.9031773 |
| 764256.1012 | 9120796.802 | 542 | 112.307407 |
| 764476.715 | 9120795.524 | 542 | 111.157407 |
| 764697.3291 | 9120794.246 | 551 | 110.2354681 |
| 764917.9435 | 9120792.966 | 549 | 111.4770111 |
| 765138.5583 | 9120791.686 | 547 | 111.7085535 |
| 765359.1733 | 9120790.404 | 553 | 111.9339263 |
| 765579.7887 | 9120789.122 | 550 | 114.6912414 |
| 765800.4044 | 9120787.838 | 559 | 113.1992921 |
| 766021.0204 | 9120786.553 | 571 | 113.8000082 |
| 766241.6367 | 9120785.267 | 595 | 113.361378 |
| 762713.0863 | 9121027.001 | 464 | 110.6051124 |
| 762933.699 | 9121025.731 | 473 | 109.8832747 |
| 763154.312 | 9121024.461 | 519 | 109.748144 |
| 763374.9253 | 9121023.189 | 519 | 110.148144 |
| 763595.539 | 9121021.916 | 521 | 110.3066096 |
| 763816.1529 | 9121020.643 | 531 | 110.4689292 |
| 764036.7672 | 9121019.368 | 538 | 111.0785444 |
| 764257.3817 | 9121018.092 | 531 | 112.2489309 |
| 764477.9966 | 9121016.815 | 523 | 113.0750764 |
| 764698.6118 | 9121015.537 | 519 | 111.6281457 |
| 764919.2273 | 9121014.257 | 517 | 113.9096794 |
| 765139.8431 | 9121012.977 | 512 | 113.9285113 |
| 765360.4592 | 9121011.696 | 510 | 113.1800448 |
| 765581.0757 | 9121010.414 | 538 | 113.5485478 |
| 765801.6924 | 9121009.13 | 536 | 114.410087 |
| 766022.3095 | 9121007.846 | 552 | 114.0577568 |
| 766242.9269 | 9121006.56 | 563 | 113.8742584 |

BIODATA PENULIS



Jhon Christ Rivand Sijabat lahir di Pematangsiantar pada 18 Mei 2003. Penulis terakhir menempuh pendidikan di SMA Budi Mulia Pematangsiantar (2018 - 2021). Pada tahun 2021, penulis diterima menjadi mahasiswa Departemen Teknik Geofisika, Fakultas Teknik Sipil Perencanaan dan Kebumian, Institut Teknologi Sepuluh Nopember (ITS), Surabaya. Selama menempuh perkuliahan, penulis aktif berkontribusi dalam beberapa kegiatan. Pada tahun 2024 penulis menjadi staf ahli Departemen Kesejahteraan Mahasiswa Himpunan Mahasiswa Teknik Geofisika (HMTG). Pada tahun yang sama penulis menjabat sebagai Presiden Himpunan Ahli Geofisika Indonesia

Student Chapter Institut Teknologi Sepuluh Nopember (HAGI SC ITS). Penulis juga secara rutin mengikuti dan berkontribusi dalam berbagai webinar dan seminar yang relevan dengan geofisika dan ilmu kebumian. Semasa perkuliahan, penulis memiliki pengalaman magang beberapa instansi dan Perusahaan diantaranya CV Safari Alam Teknik, Pusat Survei Geologi dan PT. Aneka Tambang Tbk. Penulis menyambut dengan baik jika terdapat pertanyaan, kritik, dan masukan terkait tugas akhir ini. Apabila terdapat hal-hal yang ingin didiskusikan, dapat menghubungi penulis melalui email : sijabatchrist@gmail.com